

Statički proračun stambene zgrade

Puljiz, Matija

Undergraduate thesis / Završni rad

2018

Degree Grantor / Ustanova koja je dodijelila akademski / stručni stupanj:

University of Split, Faculty of Civil Engineering, Architecture and Geodesy / Sveučilište u Splitu, Fakultet građevinarstva, arhitekture i geodezije

Permanent link / Trajna poveznica: <https://urn.nsk.hr/urn:nbn:hr:123:159862>

Rights / Prava: [In copyright/Zaštićeno autorskim pravom.](#)

*Download date / Datum preuzimanja: **2024-04-25***

Repository / Repozitorij:



[FCEAG Repository - Repository of the Faculty of Civil Engineering, Architecture and Geodesy, University of Split](#)



**SVEUČILIŠTE U SPLITU
FAKULTET GRAĐEVINARSTVA, ARHITEKTURE I GEODEZIJE**

ZAVRŠNI RAD

Matija Puljiz

Split, 2018.

**SVEUČILIŠTE U SPLITU
FAKULTET GRAĐEVINARSTVA, ARHITEKTURE I GEODEZIJE**

Statički proračun stambene zgrade

Završni rad

Split, 2018.

Statički proračun stambene zgrade

Sažetak:

U radu je prikazan statički proračun stambene zgrade. Stambena zgrada sastoji se od prizemlja, dvije etaže i ravnog krova. Nosiva konstrukcija građevine izvedena je od armiranog betona. Projekt sadrži: tehnički opis, proračun nosivih konstrukcijskih elemenata, karakteristične građevinske nacrte i armaturne planove.

Ključne riječi:

Stambena zgrada, Statički proračun

Static calculation of apartment building

Abstract:

The static design of apartment building is presented in this work. The apartment building consist of two stories, ground floor and flat roof. Structure of building is made od reinforced concrete. The work include technical description of the structure, calcuation of the main structural elemenets as well as characteristic structural plans and reinforcement plans.

Keywords:

Apartment building, Static calculation

**SVEUČILIŠTE U SPLITU
FAKULTET GRAĐEVINARSTVA, ARHITEKTURE I GEODEZIJE**

Split, Matice hrvatske 15

**STUDIJ: PREDDIPLOMSKI SVEUČILIŠNI STUDIJ
GRAĐEVINARSTVA**

KANDIDAT: Matija Puljiz

BROJ INDEKSA: 4159

KATEDRA: Katedra za teoriju konstrukcija

PREDMET: Građevna statika 1

ZADATAK ZA ZAVRŠNI RAD

Tema:

Statički proračun stambene zgrade

Opis zadatka:

Na temelju zadane tlocrtne podloge, potrebno je izraditi 3-D proračunski model građevine u programu "SciaEngineer". Na temelju dobivenih rezultata proračunavaju se određeni nosivi elementi zgrade, te za proračunate elemente potrebno je napraviti armaturne planove.

Izrađeni projekt mora sadržavati:

- tehnički opis
- proračun
- građevne nacrte

Voditelj Završnog rada: Prof. dr. sc. Boris Trogrić

Neposredni voditelj završnog rada: Doc. dr. sc. Ivan Balić

U Splitu, srpanj 2018.

SADRŽAJ

1. TEHNIČKI OPIS	3
1.1 Opis i konstrukcijski sustav građevine	3
1.2 Geotehnički izvještaj.....	3
2. 3-D PRORAČUNSKI MODEL GRAĐEVINE	4
3. ANALIZA OPTEREĆENJA.....	5
3.1 Vlastita težina elemenata konstrukcije (G0).....	5
3.2 Etaže-ploče.....	5
3.2.1 Stalno djelovanje (G1).....	5
3.2.2 Promjenjivo djelovanje (Q).....	6
3.3 Etaže-balkoni.....	7
3.3.1 Stalno djelovanje (G1).....	7
3.3.2 Promjenjivo djelovanje (Q).....	8
3.4 Krov.....	8
3.4.1 Stalno djelovanje (G1)	8
3.4.2 Promjenjivo djelovanje (Q).....	9
3.5 Stubište.....	10
3.5.1 Stalno djelovanje (G1).....	10
3.5.2 Promjenjivo djelovanje (Q).....	10
4. PRIKAZ OSNOVNIH DJELOVANJA	11
4.1 Međukatna ploča	11
4.2 Krovna ploča	12
4.3 Stubište.....	13
5. KOMBINACIJE DJELOVANJA	14
6. PRORAČUN MEĐUKATNE PLOČE	15
6.1 Prikaz modela 1. i rezultata proračuna	17
6.2 Prikaz modela 2. i rezultata proračuna	21
6.2.1 Dimenzioniranje ploče na moment savijanja	28
6.2.2 Kontrola progiba međukatne ploče	29
7. PRORAČUN KROVNE PLOČE.....	30
7.1 Prikaz modela i rezultata	30
7.1.1 Dimenzioniranje na moment savijanja.....	37
7.2 Kontrola progiba i pukotina krovne ploče.....	38
7.2.1 Kontrola progiba	38
7.2.2 Kontrola pukotina.....	39
8. PRORAČUN GREDA	42
8.1 Međukatna greda	43
8.1.1 Prikaz rezultata proračuna	43
8.1.2 Dimenzioniranje ploče na moment savijanja.....	45

8.1.3 Dimenzioniranje na poprečnu silu.....	48
8.1.4 Kontrola progiba	50
8.2 Krovna greda	52
8.2.1 Prikaz rezultata proračuna.....	52
8.2.2 Kontrola progiba	54
8.2.3 Kontrola pukotina.....	55
9. PRORAČUN STUPOVA.....	57
10. PRORAČUN TEMELJA	59
11. GRAFIČKI PRILOZI.....	60
12. LITERATURA.....	61

1. TEHNIČKI OPIS

1.1 Opis i konstrukcijski sustav građevine

Na temelju arhitektonskih nacrtova u kojima spada tlocrt karakteristične etaže i dva presjeka, napravljen je 3-D proračunski model u programu "SciaEngineer" na kojem će biti izvršene sve analize vezane uz statički proračun građevine. Arhitektonski nacrti zgrade priloženi su u grafičkim prilozima.

Građevina je stambene namjene, a sastoji se od prizemlja i dva kata.

Glavni nosivi konstrukcijski sustav sastoji se od armirano betonskih zidova i stupova te međukatnih konstrukcija koje su takođe izrađene od armiranog betona, lijevane na licu mesta debljine $d=16$ cm. Stubišta su izvedena od armiranog betona debljine 16 cm kao i krovna ploča.

Vertikalna nosiva konstrukcija građevine su vanjski i unutarnji zidovi debljine 20 cm. Temeljenje je izvedeno na trakastim temeljima od armiranog betona ispod nosivih zidova i stupova širine 60 cm.

U proračunu su dane osnovne dimenzije armature za pojedine konstruktivne elemente, elementi koji se ne proračunavaju armiraju se konstruktivno.

Za sve betonske radove predviđen je beton klase C 25/30, te armatura B 500. Skidanje podupirača za ploče vrši se nakon postignute min. 80% čvrstoće.

Za temelje je uporabljena ista klasa betona C 25/30.

Svi računalni proračuni su izvršeni u programu "SciaEngineer", dok su ostali podaci i detalji relevantni za objekt dani su kroz projektna rješenja.

1.2 Geotehnički izvještaj

Matična stijena nalazi se oko 90 cm od površine terena, temeljenje građevine izvest će se na njoj. Nakon iskopapoterbno je ručno očistiti temeljnu plohu od ostataka razlomljenog materijala.

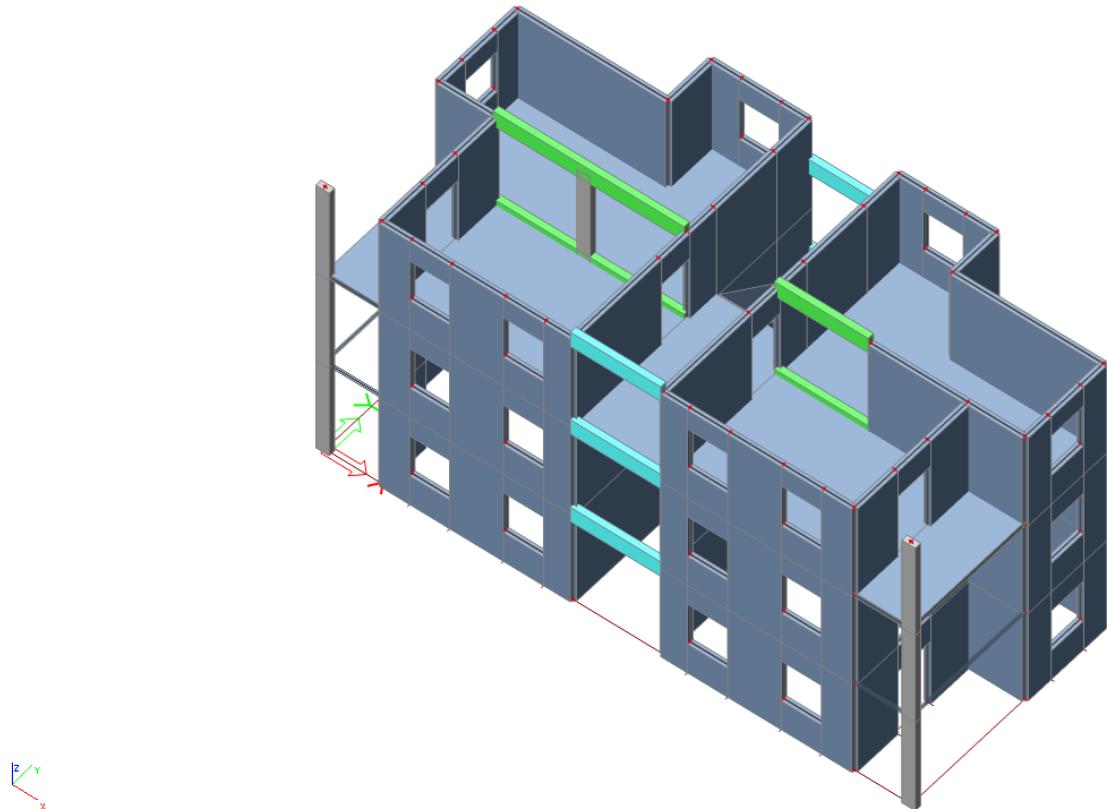
Zatim je potrebno neravnine i udubine popuniti i izravnati podložim betonom klase C 16/20 do projektirane kote temeljenja.

Ukoliko nađemo na kavernu veće dubine i manje širine, a nije moguće potpuno uklanjanje materijala, sanaciju je potrebno izvesti tako da se materijal ukloni do dubine 50 cm ispod kote temeljenja, a nastali prostor se zapuni podbetonom do projektirane kote.

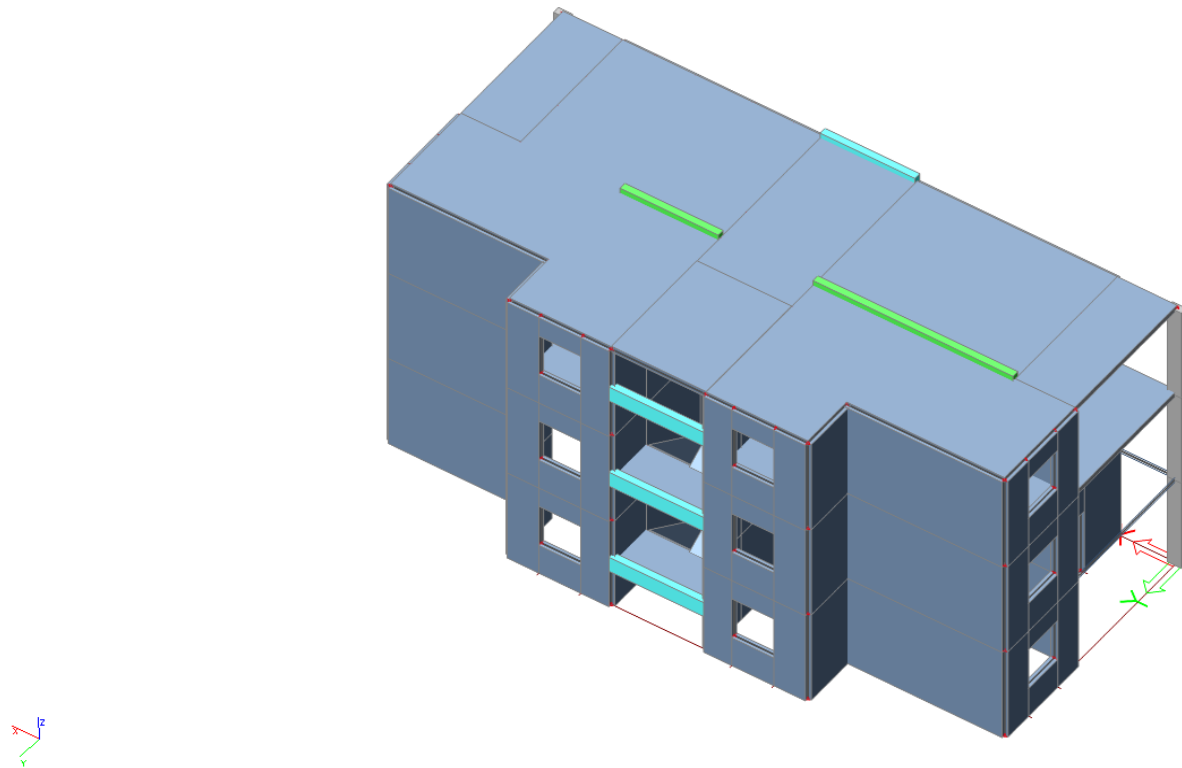
Dopuštena centrična naprezanja tla, na detaljno očišćenim naslagama matične stijene, uzeta su za osnovna opterećenja 400 kPa.

2. 3-D PRORAČUNKI MODEL GRAĐEVINE

Na slikama je prikazan proračunski model armirano betonske konstrukcije.



Slika 2.1 Proračunski model ab konstrukcije – pogled 1



Slika 2.2 Proračunski model ab konstrukcije – pogled 2

3. ANALIZA OPTEREĆENJA

Podaci o osnovnim djelovanjima

Osnovna opterećenja, na čiji utjecaj se dokazuje mehanička otpornost i stabilnost predmetne građevine, podijeljena su:

Oznaka osnovnog djelovanja	Opis djelovanja
G0	Stalno djelovanje - vlastita težina elemenata nosive konstrukcije.
G1	Stalno djelovanje - ostalo stalno djelovanje: pokrov, obloga (podovi, žbuke), stalna oprema itd., zidni paneli.
Qi	Promjenjivo - uporabno djelovanje: uporabno opterećenje, pokretna oprema.
W	Vjetar.
S	Snijeg.

Tablica 3.1 Podaci o osnovnim djelovanjima

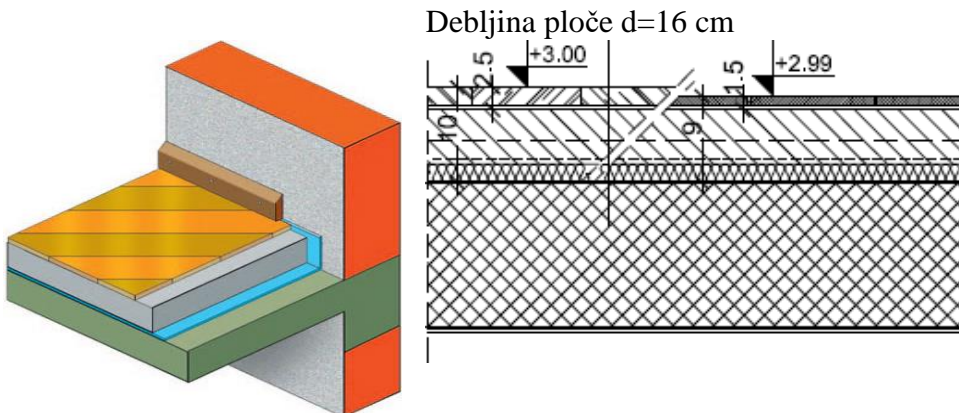
3.1 Vlastita težina elemenata konstrukcije (G0)

Stalno opterećenje uključeno je u proračun prema slijedećem:

- Specifična težina armiranog betona iznosi $g=25.0 \text{ kN/m}^3$.
- Stalno opterećenje od vlastite težine elemenata armirano betonske konstrukcije sadržano je u proračunskom modelu, sukladno dimenzijama poprečnih presjeka i zadanoj specifičnoj težini.

3.2 Etaže-ploče

3.2.1 Stalno djelovanje (G1)



Slika 3.1 Grafički prikaz slojeva međukatne konstrukcije stambenog prostora

	d(m)	$\gamma(\text{kN/m}^3)$	$d^*\gamma(\text{kN/m}^2)$
Parket ili keramičke pločice	0.025	9.6	0.24
Lagano armirani cementni namaz	0.055	22.0	1.21
PE folija	-	-	-
EPS termoizolacija	0.002	0.12	0.00024
Zaglađeni podgled stropa	0.005	15.0	0.075
dodatno stalno opterećenje	-	-	0.75

Tablica 3.2 Opterećenje na pločama

Ukupno stalno opterećenje $g = 2.3 \text{ kN/m}^2$

Napomena: U dodatno stalno opterećenje spadaju instalacije, ostali stalni teret. Opterećenje od slojeva poda ne uključuju vlastitu težinu AB ploče.

3.2.2 Promjenjivo djelovanje (Q)

Stupac	1	2	3	4	5
Redak	Kategorija	Namjena	Primjer	$q_k [\text{kN/m}^2]$	$Q_k^a [\text{kN}]$
1	A1	Nestambena potkovlja	Neprikladna za stanovanje no pristupačna potkovlja do 1,8 m svjetle visine	1,5	1
2	A	A2	Stropovi sa zadovoljavajućom poprečnom raspodjelom opterećenja ^b u stambenim zgradama i kućama, sobama s krevetima, bolnicama (spavaonicama), sobama u hotelima i prenoćištima i pripadajuće kuhinje i kupaonice	1,5	-
3		A3	A2, ali bez zadovoljavajuće poprečne raspodjele opterećenja	2,0 ^c	1

Tablica 3.3 Uporabna opterećenja stropova

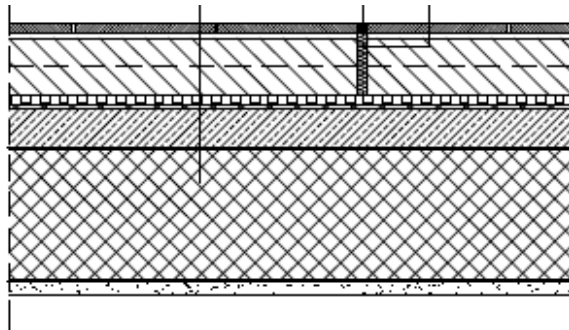
Iz tablice za uporabna opterećenja odabire se vrijednost promjenjivog djelovanja.

$$q=1.5 \text{ kN/m}^2$$

3.3 Etaže-balkoni

3.3.1 Stalno djelovanje (G1)

Debljina ploče d=16 cm



Slika 3.2 Grafički prikaz slojeva međukatne konstrukcije balkona

	d(m)	$\gamma(\text{kN/m}^3)$	$d \cdot \gamma(\text{kN/m}^2)$
Kermičke pločice u građevinskom ljepilu	0.015	18.0	0.27
Lagano armirani cementni namaz	0.05	22.0	1.1
Drenažna traka s čepićima prema dolje (PEHD)	-	-	-
Hidro izolacija	0.01	10.0	0.1
Zaglađeni cementni estrih	0.025	24.0	0.6
Završna fasadna žbuka	0.015	15.0	0.225

Tablica 3.4 Opterećenje na balkonima

Ukupno stalno opterećenje g= **2.3 kN/m²**

Napomena: Opterećenje od slojeva poda ne uključuju vlastitu težinu AB ploče.

3.3.2 Promjenjivo djelovanje (Q)

19	S ^g	S1	Stubišta i stubišni podesti	Stubišta i stubišni podesti u stambenim i uredskim zgradama i ambulantama, bez teške opreme	3	2
20		S2		Sva stubišta i stubišni podesti koji se ne mogu razvrstati u S1 ili S3	5	2
21		S3		Pristupi i stubišta koji vode do tribina bez nepomičnih sjedala, a služe kao izlazi za nuždu	7,5	3
22	P ^g		Pristupi, balkoni i sl.	Krovne terase, trijemovi, lođe, balkoni, izlazni podesti	4	2

Tablica 3.5 Uporabna opterećenja balkona

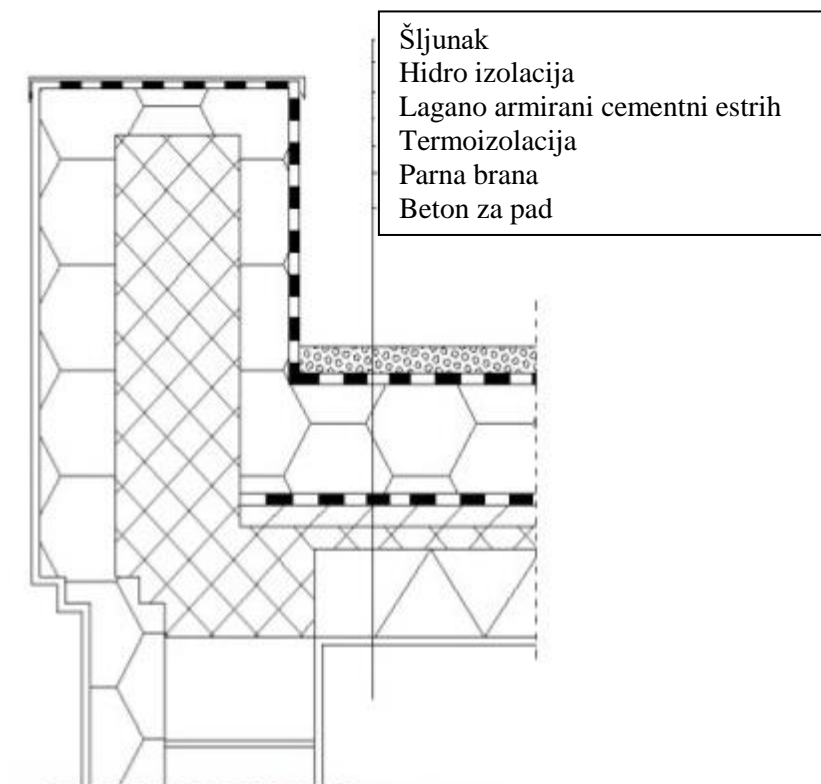
Iz tablice za uporabna opterećenja odabire se vrijednost promjenjivog djelovanja.

$$q=4.0 \text{ kN/m}^2$$

3.4 Krov

3.4.1 Stalno djelovanje (G1)

Debljina ploče d=16 cm



Slika 3.3 Grafički prikaz slojeva konstrukcije neprohodnog ravnog krova

	d(m)	$\gamma(\text{kN/m}^3)$	$d^*\gamma(\text{kN/m}^2)$
Šljunak	0.08	18.0	1.44
Hidro izolacija	0.003	10.0	0.03
Lagano armirani cementni estrih	0.04	22.0	0.88
Termoizolacija	0.06	0.2	0.012
Parna brana	-	-	-
Beton za pad	0.07	23.0	1.61

Tablica 3.6 Opterećenje na krovnu ploču

Ukupno stalno opterećenje $g = 4.0 \text{ kN/m}^2$

Napomena: Opterećenja od slojeva poda ne uključuju vlastitu težinu AB ploče.

3.4.2 Promjenjivo djelovanje (Q)

Krov		q_k^* [kN/m ²]	Ω_k [kN]
Kategorija H	nagib krova $\leq 20^\circ$	0,6	1,0
	nagib krova $\geq 40^\circ$	0,0	1,0

* Za nagibe između 20° i 40° vrijednost q_k može se odrediti linearom interpolacijom.

NAPOMENA 1: Opterećenje q_k djeluje na ploštinu A koja predstavlja cijelu ploštinu krova.

NAPOMENA 2: Svi nagibi krova mijere se u odnosu na horizontalu, a opterećenja djeluju vertikalno na horizontalnu projekciju krovne ploče.

Tablica 4.7 Uporabna opterećenja neprohodnih krovova

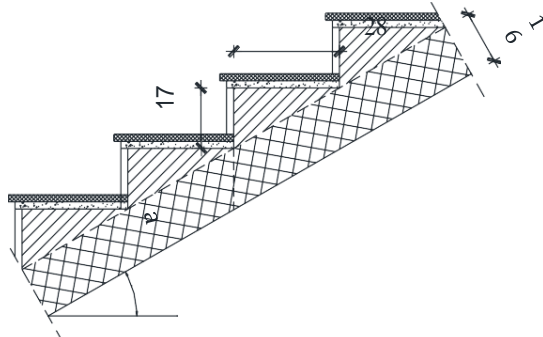
Iz tablice za uporabna opterećenja odabire se vrijednost promjenjivog djelovanja.

$$q = 0.6 \text{ kN/m}^2$$

3.5 Stubište

3.5.1 Stalno djelovanje (G1)

Debljina ploče $d=16$ cm



Slika 3.4 Grafički prikaz slojeva konstrukcije stubišta

	$d(m)$	$\gamma(kN/m^3)$	$d^*\gamma(kN/m^2)$
Završna obrada gazišta (kamena ploča)	0.02	28.0	0.56
Cementni namaz	0.01	20.0	0.20
Stuba	0.07	24.0	1.68

Tablica 3.8 Opterećenje na stubištu

Ukupno stalno opterećenje $g= 2.5 \text{ kN/m}^2$

Napomena: Opterećenja od slojeva poda ne uključuju vlastitu težinu AB ploče.

3.5.2 Promjenjivo djelovanje (Q)

19	S ^q	S1	Stubišta i stubišni podesti	Stubišta i stubišni podesti u stambenim i uredskim zgradama i ambulantama, bez teške opreme	3	2
20		S2		Sva stubišta i stubišni podesti koji se ne mogu razvrstati u S1 ili S3	5	2
21		S3		Pristupi i stubišta koji vode do tribina bez nepomičnih sjedala, a služe kao izlazi za nuždu	7,5	3
22	P ^q		Pristupi, balkoni i sl.	Krovne terase, trijemovi, lođe, balkoni, izlazni podesti	4	2

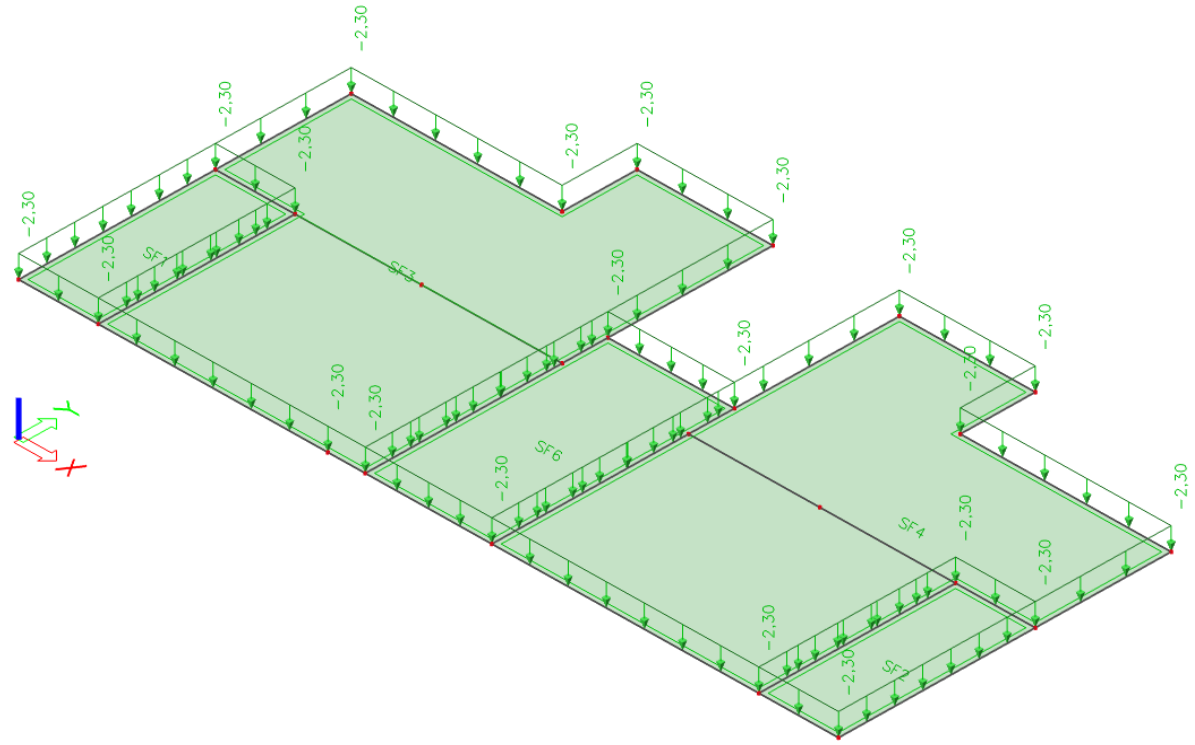
Tablica 3.9 Uporabna opterećenja stubišta i stubišnih podesta

Iz tablice za uporabna opterećenja odabire se vrijednost promjenjivog djelovanja.

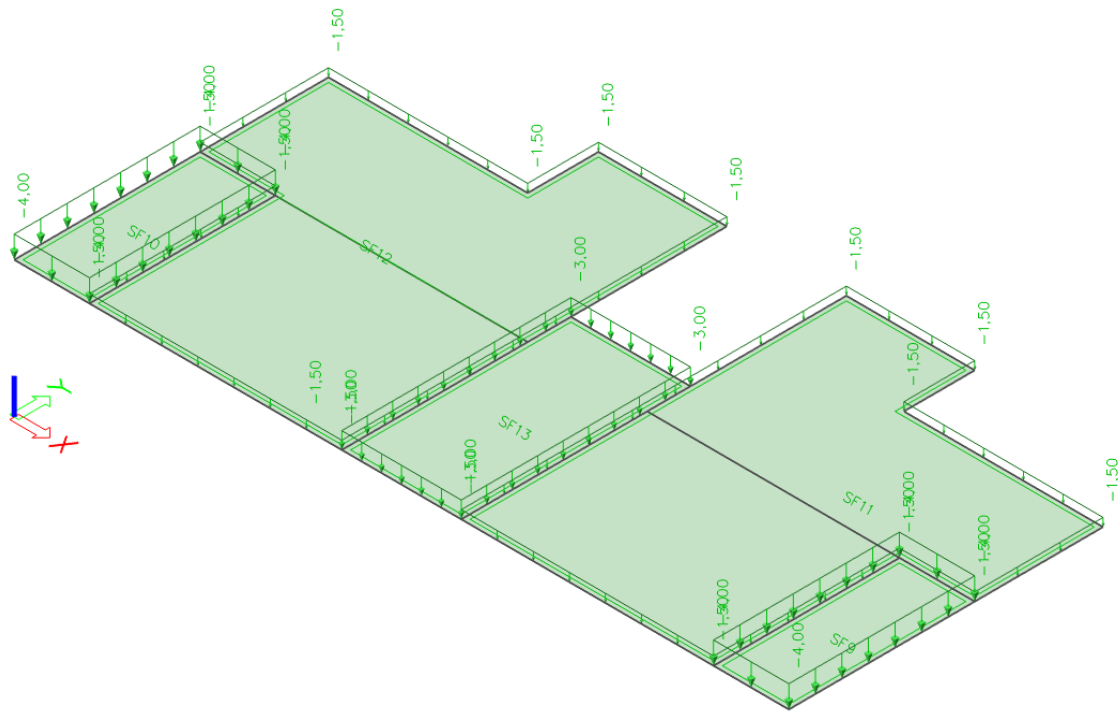
$$q=3.0 \text{ kN/m}^2$$

4. PRIKAZ OSNOVNIH DJELOVANJA

4.1 Međukatna ploča

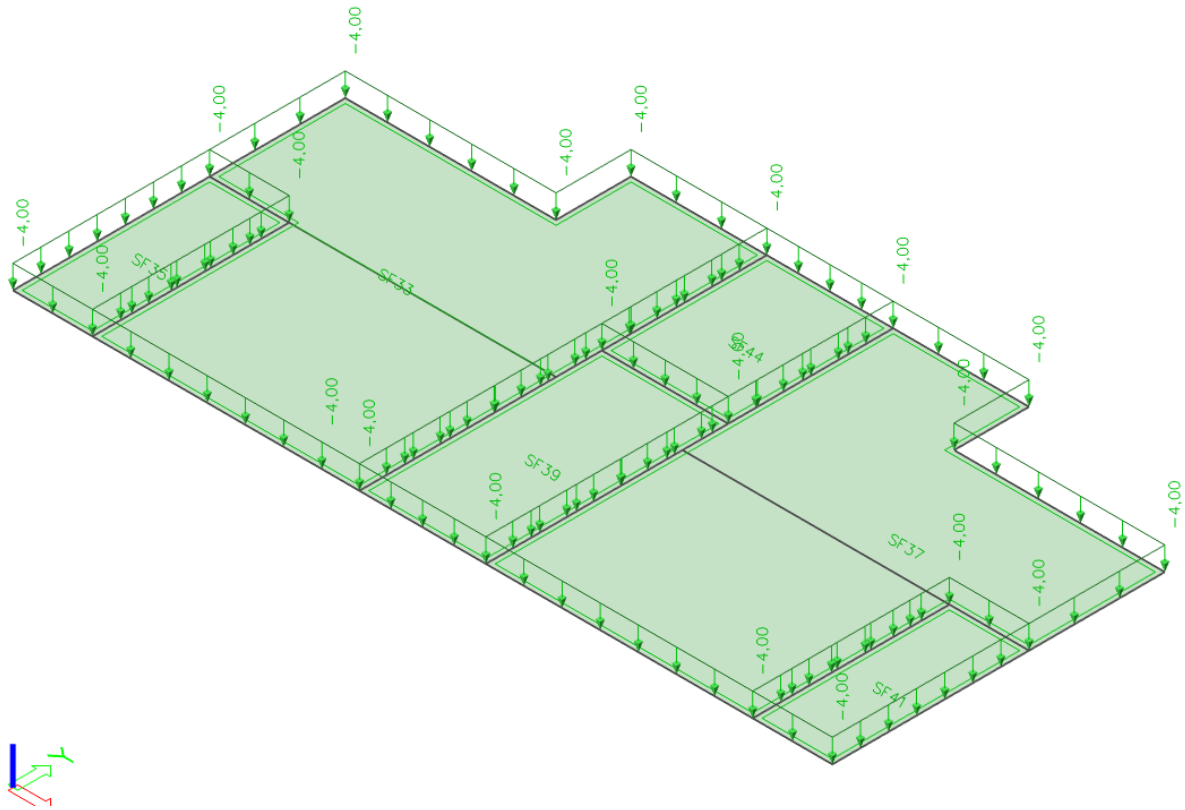


Slika 4.1 Dodatno stalno djelovanje $G1(kN/m^2)$

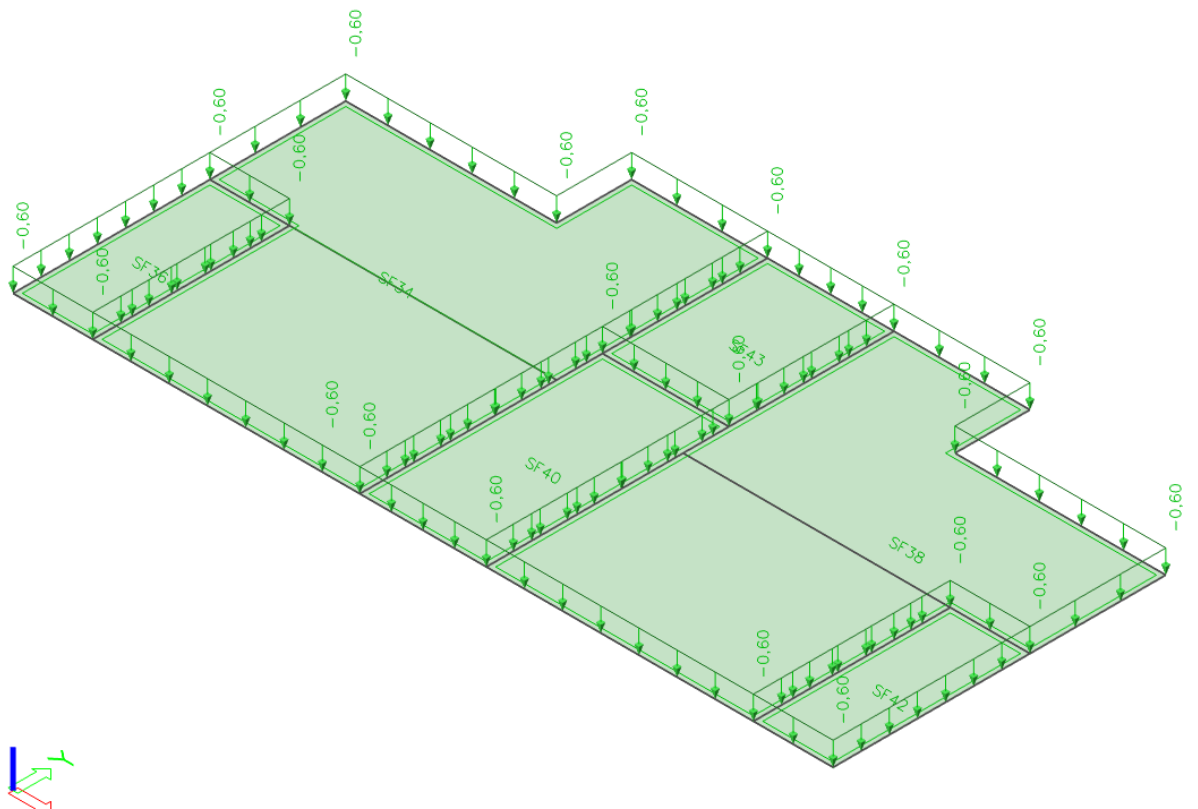


Slika 4.2 Promjenjivo djelovanje $Q(kN/m^2)$

4.2 Krovna ploča

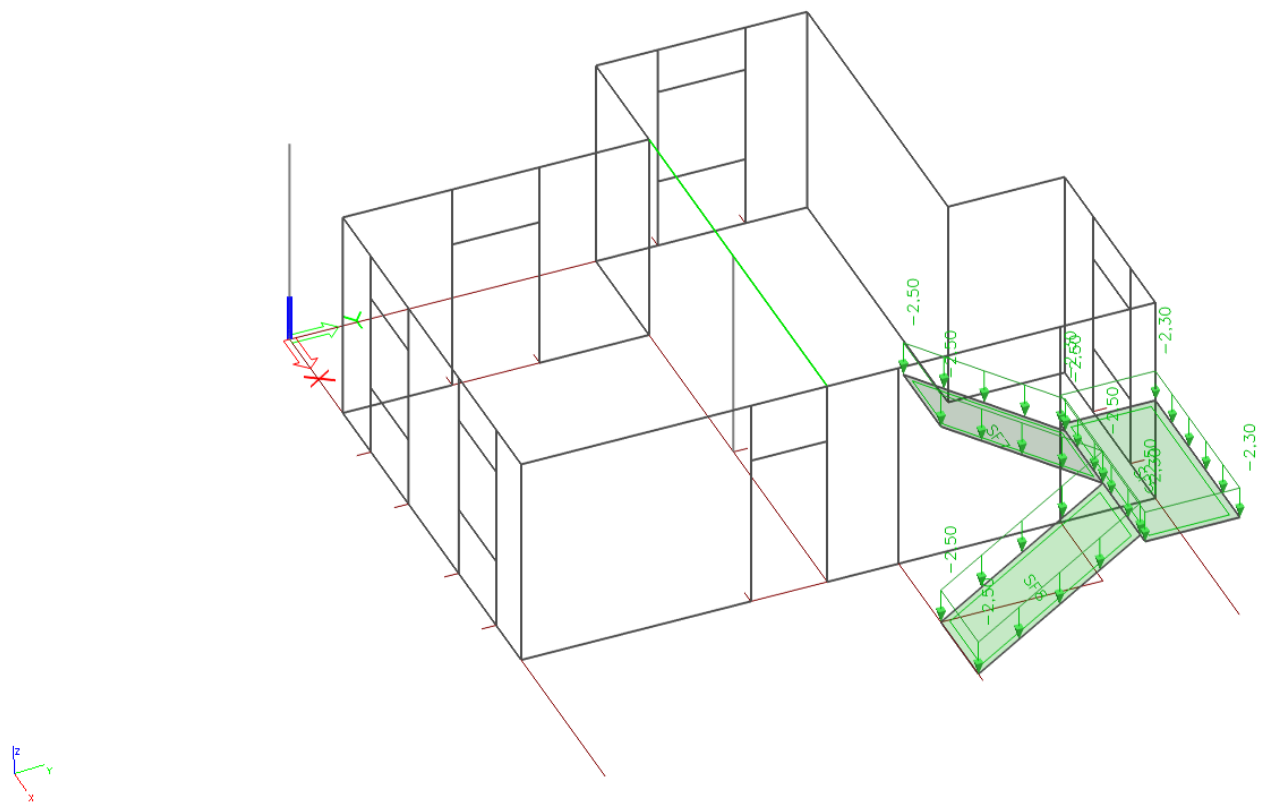


Slika 4.3 Dodatno stalno djelovanje $G1(kN/m^2)$

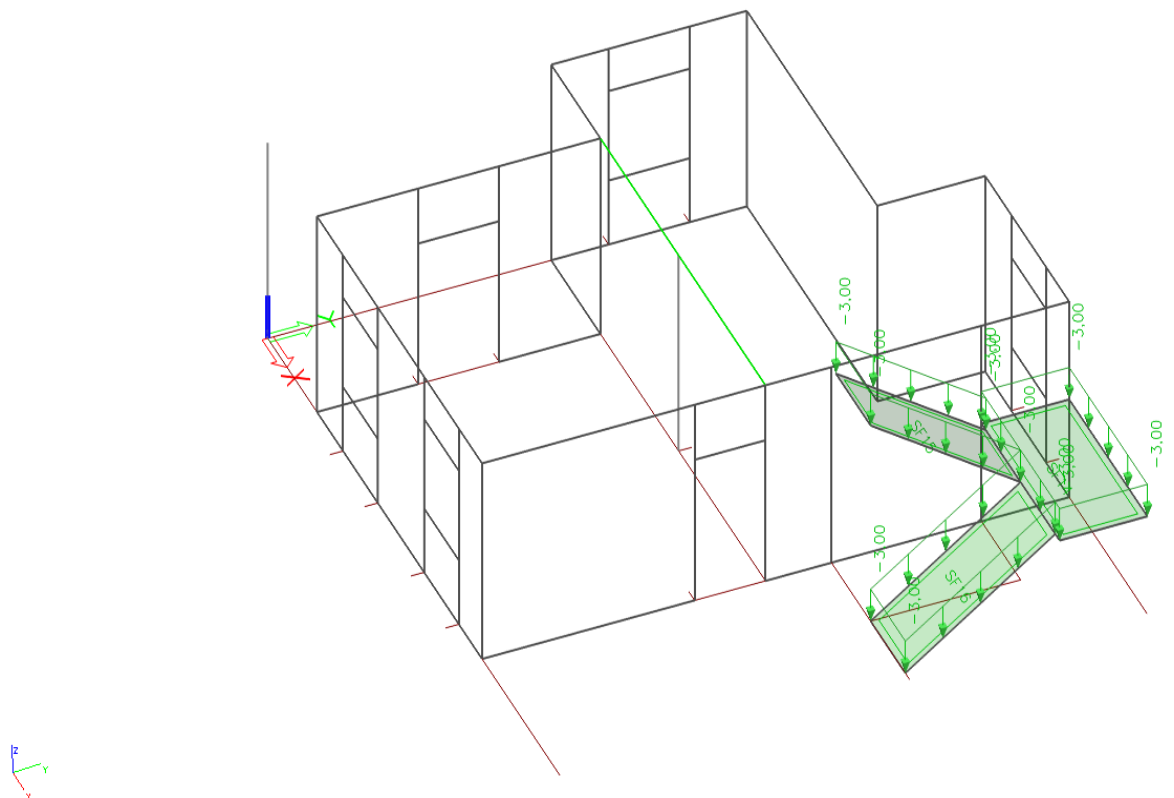


Slika 4.4 Promjenjivo djelovanje $Q(kN/m^2)$

4.3 Stubište



Slika 4.5 Dodatno stalno djelovanje $G_1(kN/m^2)$



Slika 4.6 Promjenjivo djelovanje $Q(kN/m^2)$

5. KOMBINACIJE DJELOVANJA

Za dokaz nosivosti elemenata konstrukcije predmetne građevine osnovna djelovanja kombiniraju se za pojedina granična stanje te iznose:

Granično stanje nosivosti GSN-1

$$1.35 \cdot G + 1.5 \cdot Q$$

G-vlastita težina + dodatno stalno djelovanje

Q-vodeće promjenjivo djelovanje

Koristimo za dimenzioniranje nosivih elemenata konstrukcije.

Granično stanje uporabljivosti

GSU-1 (česta kombinacija) $1.0 \cdot G + \Psi_{1i} \cdot Q$

$$1.0 \cdot G + 0.5 \cdot Q$$

$\Psi_{1i}=0.5$ za promjenjiva djelovanja u stambenim zgradama za čestu kombinaciju.
Koristi se za kontrolu progiba ploča i greda, te za kontrolu pukotina ploča i greda.

GSU-2 (nazovistalna kombinacija) $1.0 \cdot G + \Psi_{2i} \cdot Q$

$$1.0 \cdot G + 0.3 \cdot Q$$

$\Psi_{2i}=0.3$ za promjenjiva djelovanja u stambenim zgradama za nazovistalnu kombinaciju.
Koristi za ograničenje tlačnog naprezanja u armirano betonskim elementima i za kontrolu dugotrajnih progiba.

6. PRORAČUN MEĐUKATNE PLOČE

U ovom poglavlju prikazuju se unutarnje sile i progibi za dva modela međukatne ploče. Prvi model ploče ima upete rubove, dok drugi model ima postavljene zglobove, odnosno oslobođen zaokret na rubovima ploče ispod kojih se nalaze zidovi. U prvom modelu pojavljuju se veliki momenti na rubovima što nije realno ponašanje ploče, iz tog razloga se radi drugi model, u kojem nema pojave momenta na rubovima što je realni prikaz ponašanja ploče.

Limitirajući moment:

$$M_{Rd,lim} = \mu_{sd,lim} \cdot b_w \cdot d \cdot f_{cd} = 0,159 \cdot 1,0 \cdot 0,135^2 \cdot 16,66 \cdot 1000 = 48,3 \text{ kNm}$$

Minimalna i maksimalna armatura za ploče:

$$A_{s,min} = 0.0015 \cdot b \cdot d = 0.0015 \cdot 100 \cdot 13.5 = 2.02 \text{ cm}^2/\text{m}$$

$$A_{s,min} = 0.6 \cdot b \cdot \frac{d}{f_{yk}} = 0.6 \cdot 100 \cdot \frac{13.5}{500} = 1.62 \text{ cm}^2/\text{m}$$

$$A_{s,max} = 0.31 \cdot b \cdot d \cdot \frac{f_{cd}}{f_{yd}} = 0.31 \cdot 100 \cdot 13.5 \cdot \frac{16.66}{434.8} = 16.04 \text{ cm}^2/\text{m}$$

Za proračun armature ploča usvaja se $\zeta \approx 0.9$.

Potrebna armatura:

$$A_{s1} = M_{Ed} \cdot \frac{100}{\zeta \cdot d \cdot f_{yd}} = M_{Ed} \cdot \frac{100}{0.9 \cdot 13.5 \cdot 43,48} = M_{Ed} \cdot 0.189$$

Računska nosivost na poprečnu silu bez poprečne armature

$$V_{Rd,c} = \left[C_{Rdc} \cdot k \cdot (100 \cdot \rho_1 \cdot f_{ck})^{1/3} + k_1 \cdot \sigma_{cp} \right] b_w \cdot d$$

$$k = 1,0 + \sqrt{\frac{200}{d}} = 1,0 + \sqrt{\frac{200}{135}} = 2,21 \leq 2,0 \rightarrow k = 2,0$$

$$k_1 = 0,15$$

$$\sigma_{cp} = \frac{N_{Ed}}{A_c} = 0,0$$

$$C_{Rdc} = \frac{0,18}{\gamma_c} = \frac{0,18}{1,5} = 0,12$$

$$\rho_1 = \frac{\sum A_s}{A_c} = \frac{2,26}{1350} = 0,0017$$

$$V_{Rd,c} = \left[0,12 \cdot 2,0 \cdot (100 \cdot 0,0017 \cdot 25,0)^{1/3} + 0,15 \cdot 0,0 \right] 1000 \cdot 135 = 52,5 \text{ kN/m}$$

$$V_{Rd,c,min} = [v_{min} + k_1 \cdot \sigma_{cp}] b_w \cdot d$$

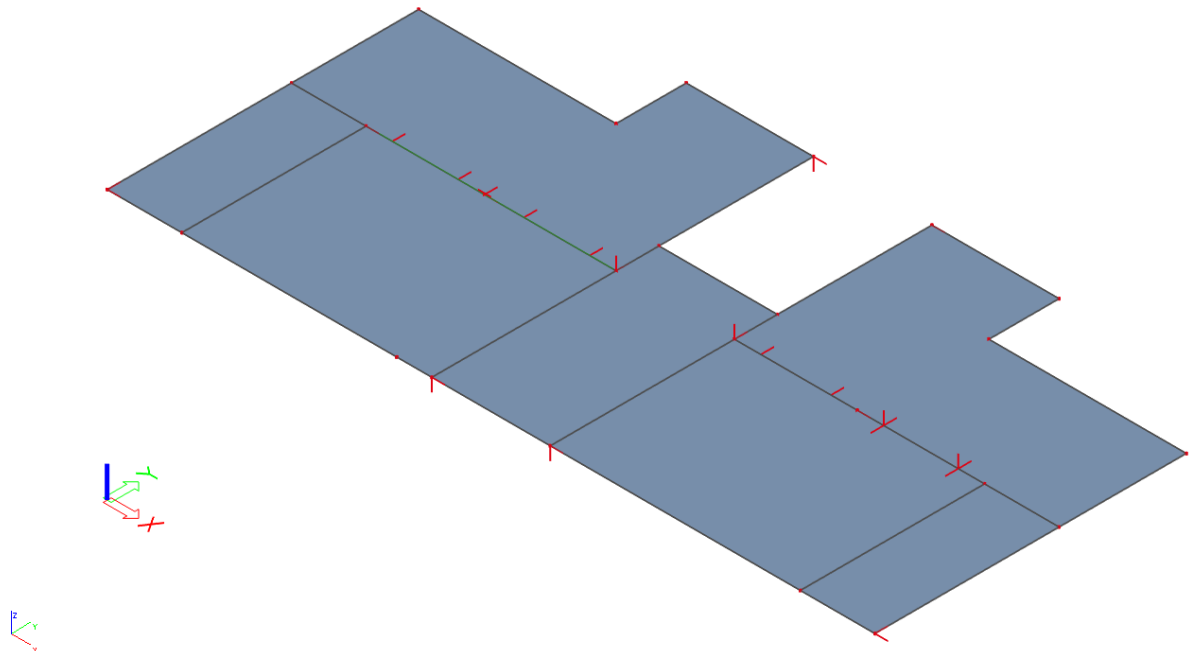
$$v_{min} = 0,035 \cdot k^{3/2} \cdot f_{ck}^{1/2} = 0,035 \cdot 2,0^{3/2} \cdot 25^{1/2} = 0,495$$

$$k_1 = 0,15$$

$$\sigma_{cp} = \frac{N_{Ed}}{A_c} = 0,0$$

$$V_{Rd,c,min} = [0,495 + 0,15 \cdot 0,0] 1000 \cdot 135 = 67 \text{ kN/m}$$

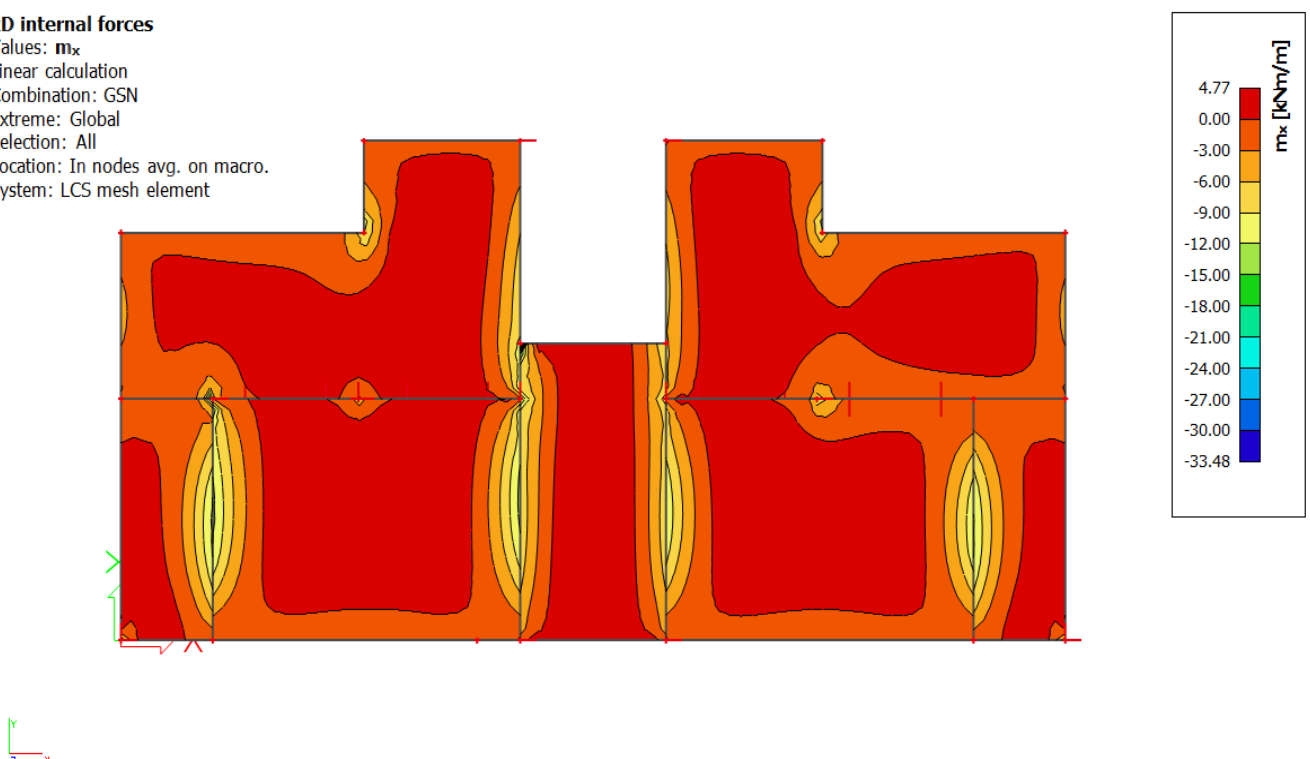
6.1 Prikaz modela 1. i rezultata proračuna



Slika 6.1 Prikaz modela

2D internal forces

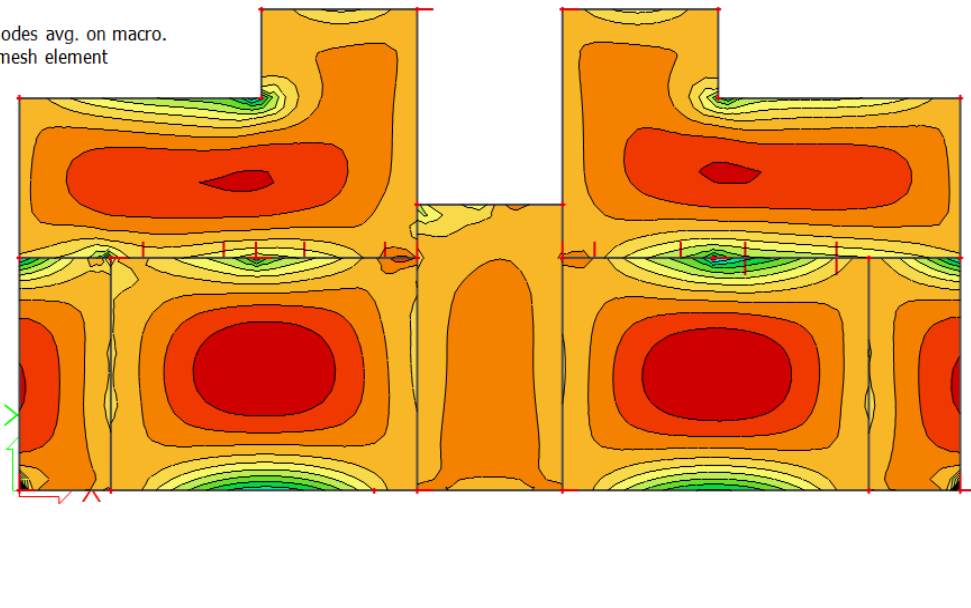
Values: m_x
Linear calculation
Combination: GSN
Extreme: Global
Selection: All
Location: In nodes avg. on macro.
System: LCS mesh element



Slika 6.2 Moment savijanja $M_{Ed,x}$ (kNm/m) za GSN-I

2D internal forces

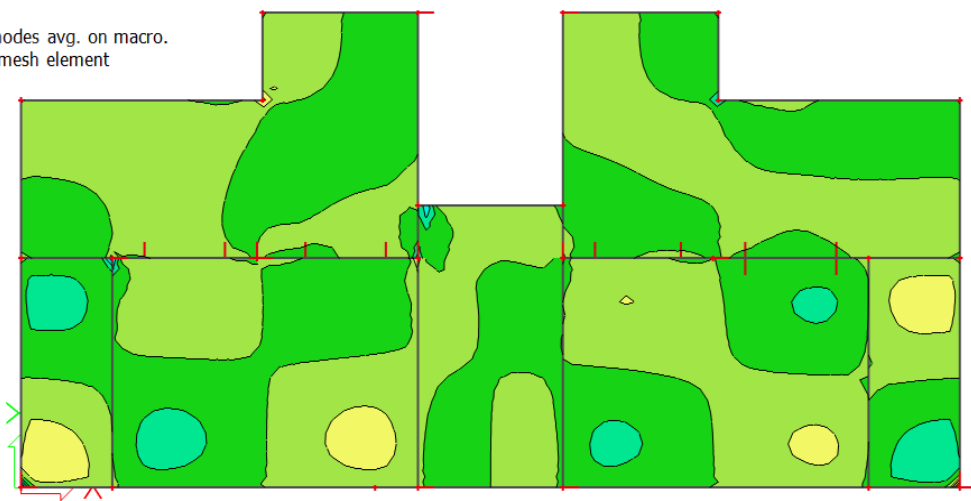
Values: m_y
Linear calculation
Combination: GSN
Extreme: Global
Selection: All
Location: In nodes avg. on macro.
System: LCS mesh element



Slika 6.3 Moment savijanja $M_{Ed,y}$ (kNm/m) za GSN-1

2D internal forces

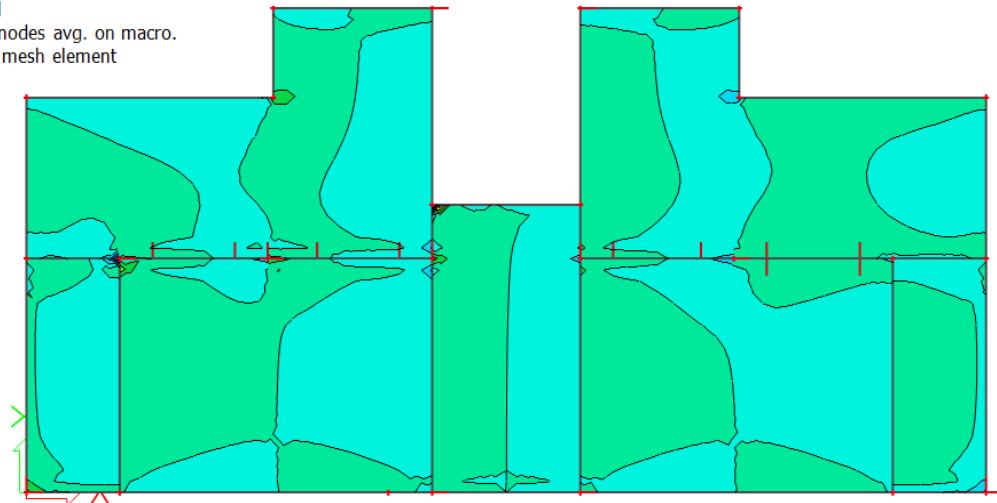
Values: m_{xy}
Linear calculation
Combination: GSN
Extreme: Global
Selection: All
Location: In nodes avg. on macro.
System: LCS mesh element



Slika 6.4 Moment savijanja $M_{Ed,xy}$ (kNm/m) za GSN-1

2D internal forces

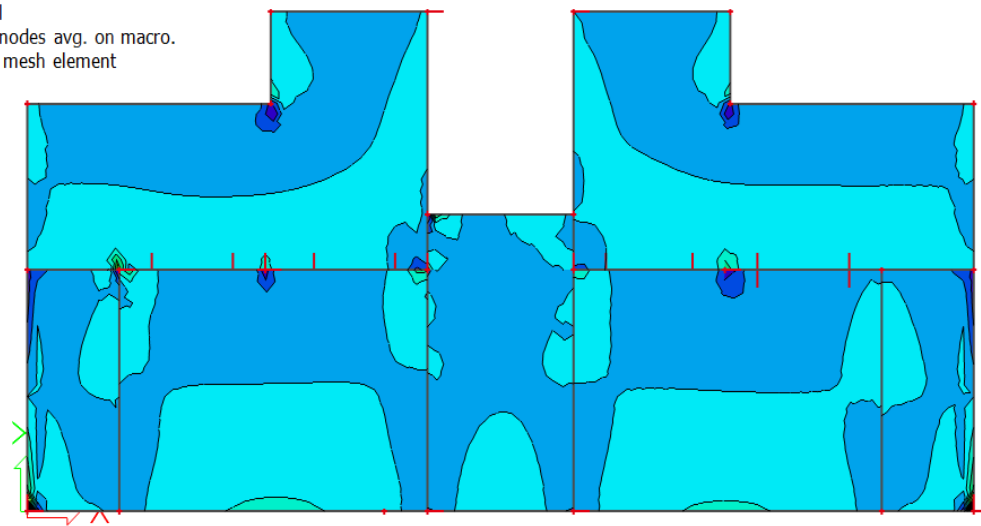
Values: v_x
Linear calculation
Combination: GSN
Extreme: Global
Selection: All
Location: In nodes avg. on macro.
System: LCS mesh element



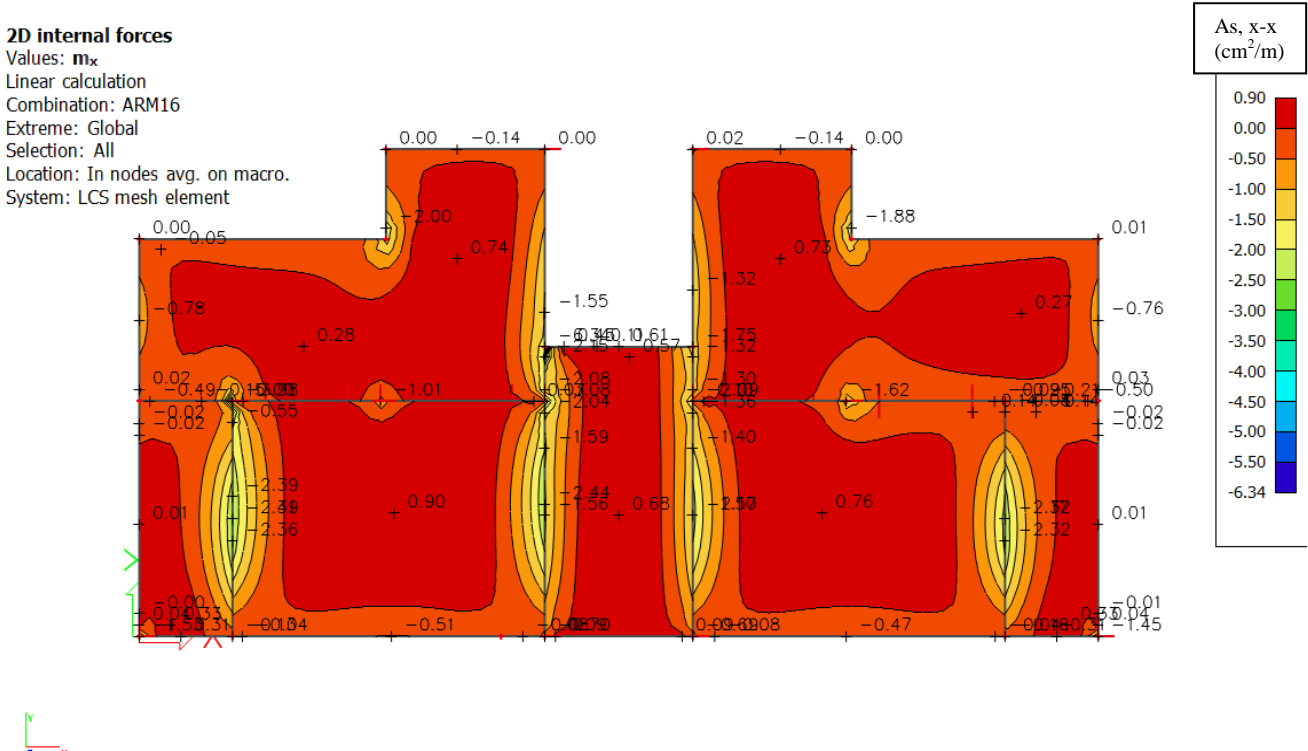
Slika 6.5 Poprečne sile $V_{Ed,x}$ (kN/m) za GSN-I

2D internal forces

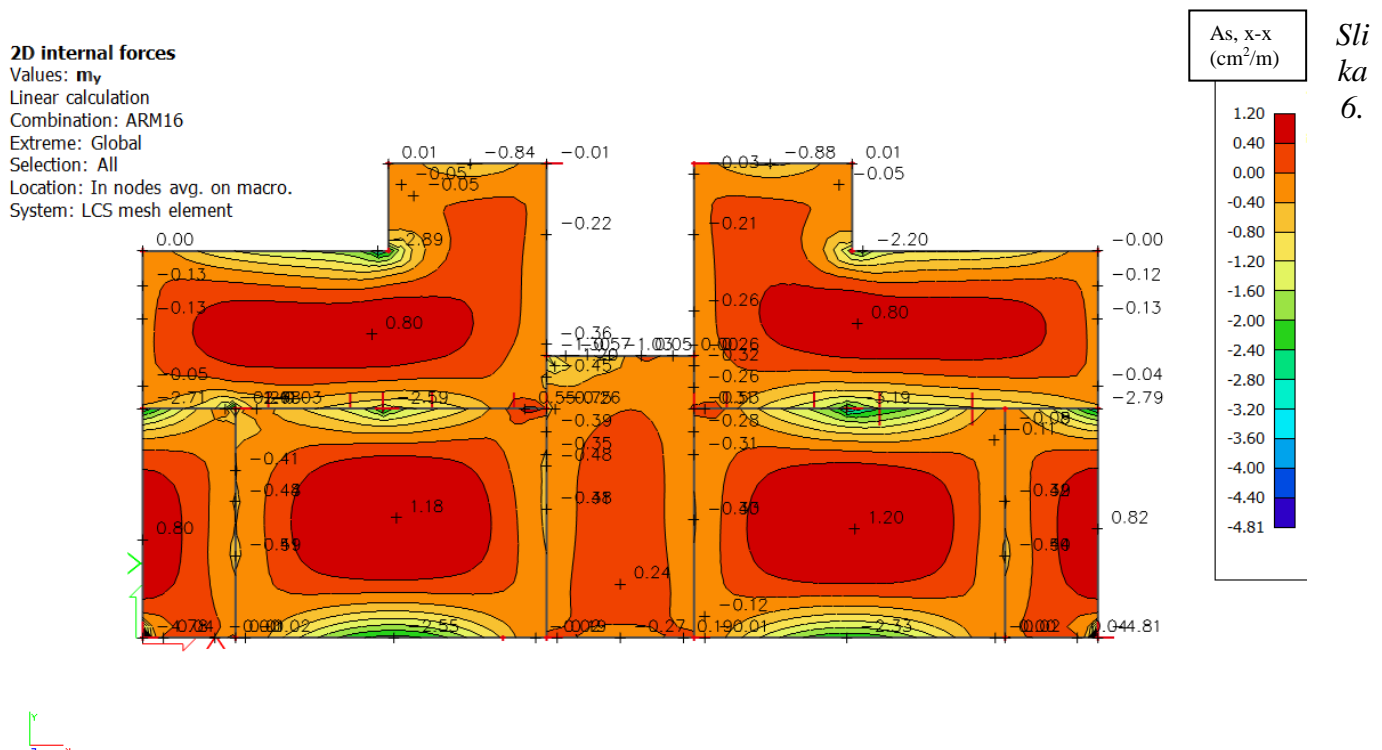
Values: v_y
Linear calculation
Combination: GSN
Extreme: Global
Selection: All
Location: In nodes avg. on macro.
System: LCS mesh element



Slika 6.6 Poprečne sile $V_{Ed,y}$ (kN/m) za GSN-I



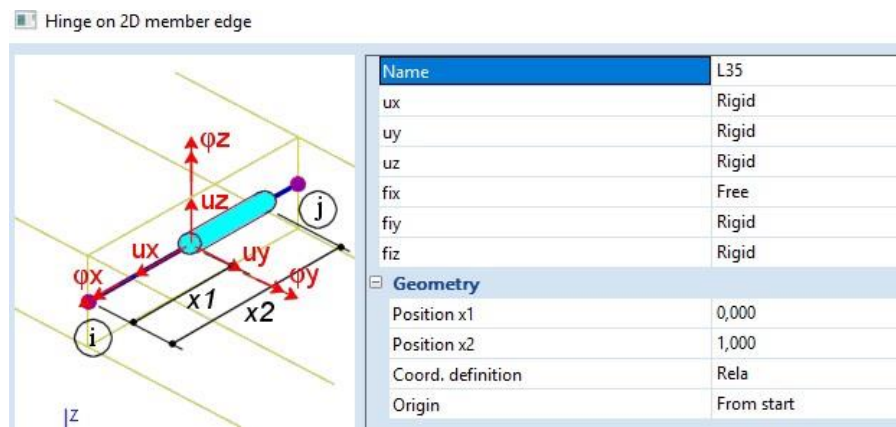
Slika 6.7 Armatura u ploči smjer As,x-x (cm^2/m) za GSN-1



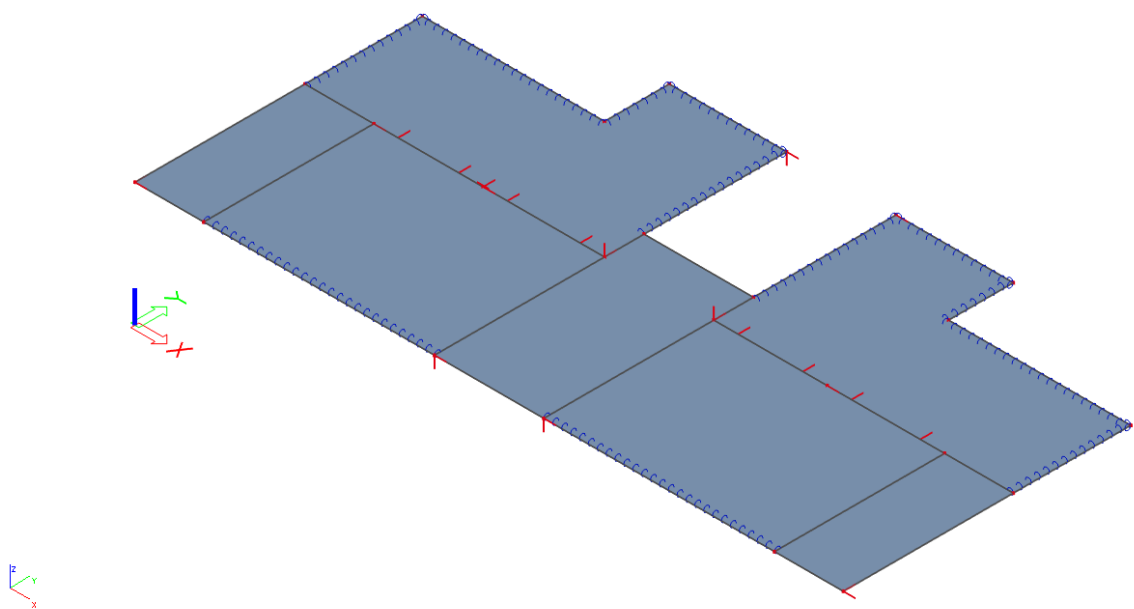
8 Armatura u ploči smjer As,y-y (cm^2/m) za GSN-1

6.2 Prikaz modela 2. i rezultata proračuna

- dopuštamo zaokret na rubovima ploče

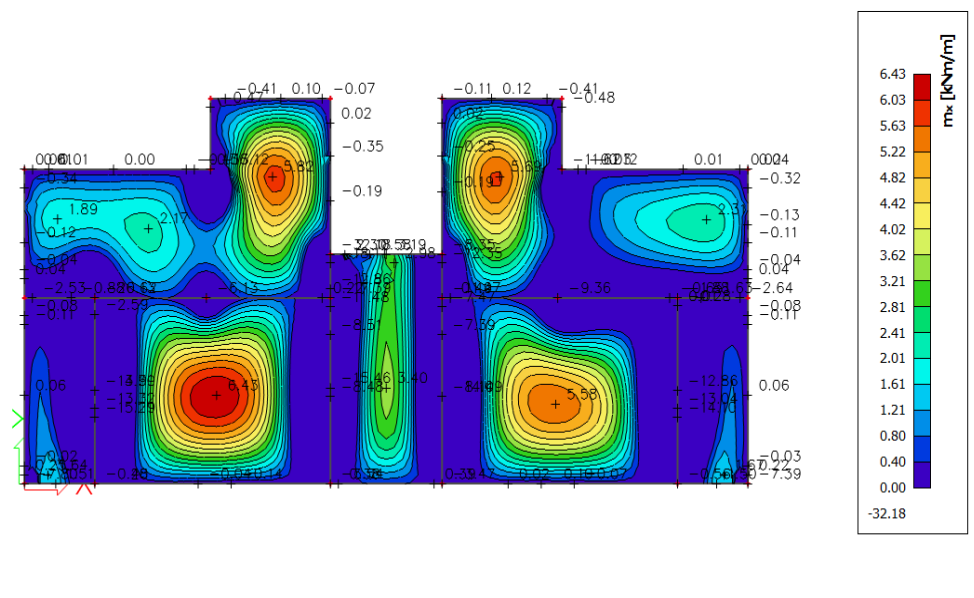


Slika 6.9 Prikaz oslobođanja zaokreta na rubovima ploče



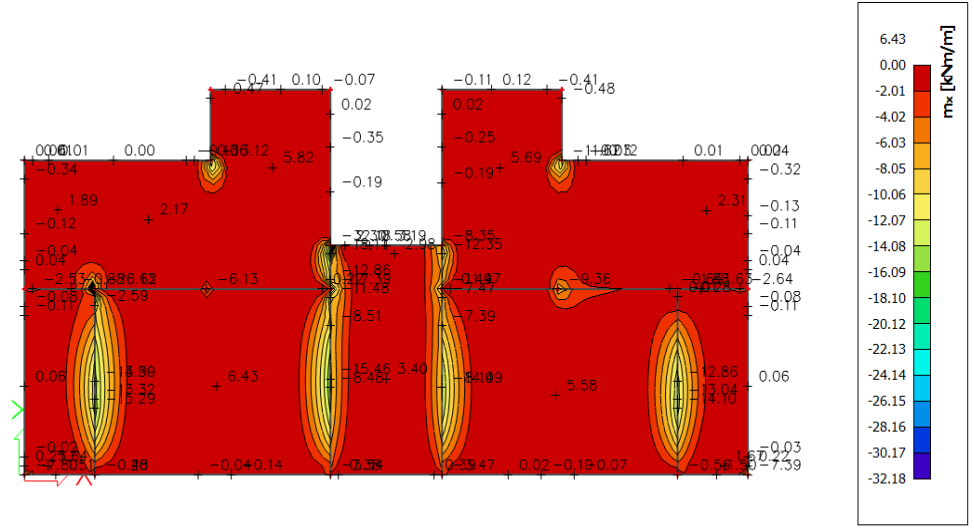
Slika 6.10 Prikaz modela 2.

2D internal forces
 Values: m_x
 Linear calculation
 Combination: GSN
 Extreme: Member
 Selection: All
 Location: In nodes avg. on macro.
 System: LCS mesh element



Slika 6.11 Moment savijanja (polje) $M_{Ed,x}$ (kNm/m) za GSN-1

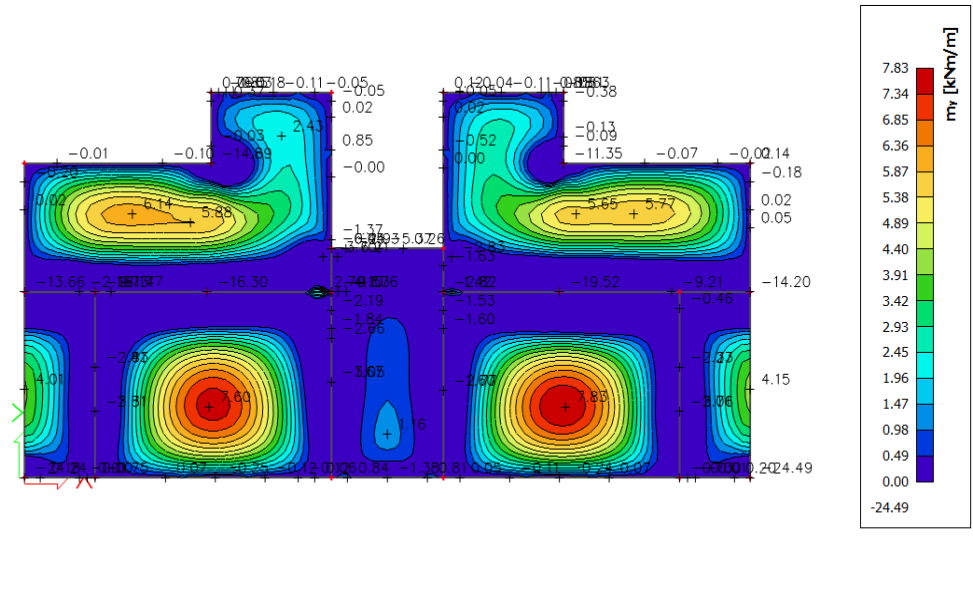
2D internal forces
 Values: m_x
 Linear calculation
 Combination: GSN
 Extreme: Member
 Selection: All
 Location: In nodes avg. on macro.
 System: LCS mesh element



Slika 6.12 Moment savijanja (ležaj) $M_{Ed,x}$ (kNm/m) za GSN-1

2D internal forces

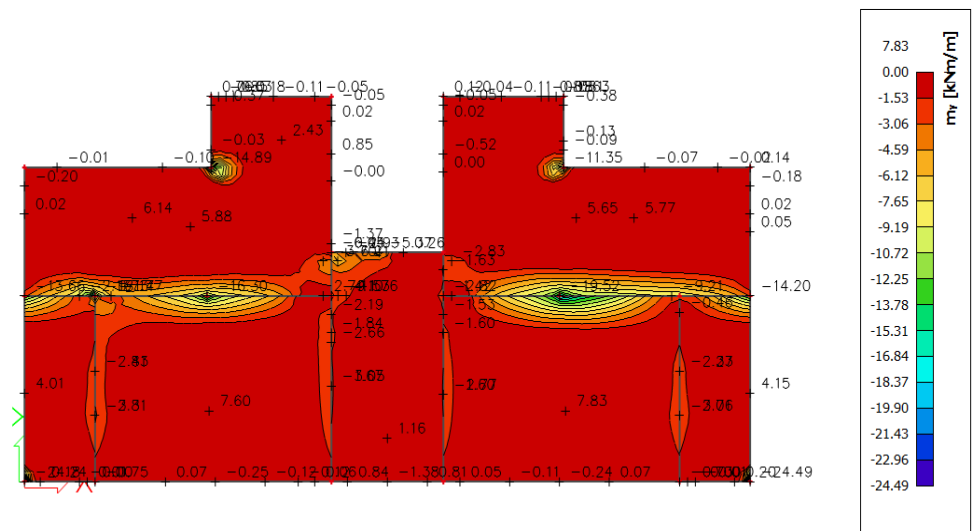
Values: m_y
 Linear calculation
 Combination: GSN
 Extreme: Member
 Selection: All
 Location: In nodes avg. on macro.
 System: LCS mesh element



Slika 6.13 Moment savijanja (polje) $M_{Ed,y}$ (kNm/m) za GSN-1

2D internal forces

Values: m_y
 Linear calculation
 Combination: GSN
 Extreme: Member
 Selection: All
 Location: In nodes avg. on macro.
 System: LCS mesh element



Slika 6.14 Moment savijanja (ležaj) $M_{Ed,y}$ (kNm/m) za GSN-1

2D internal forcesValues: m_{xy}

Linear calculation

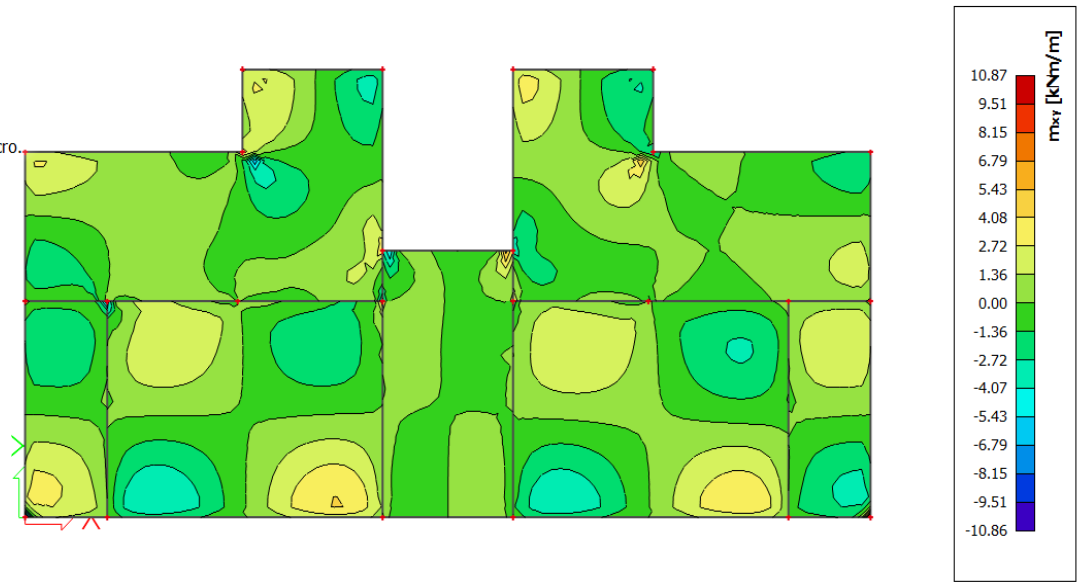
Combination: GSN

Extreme: Global

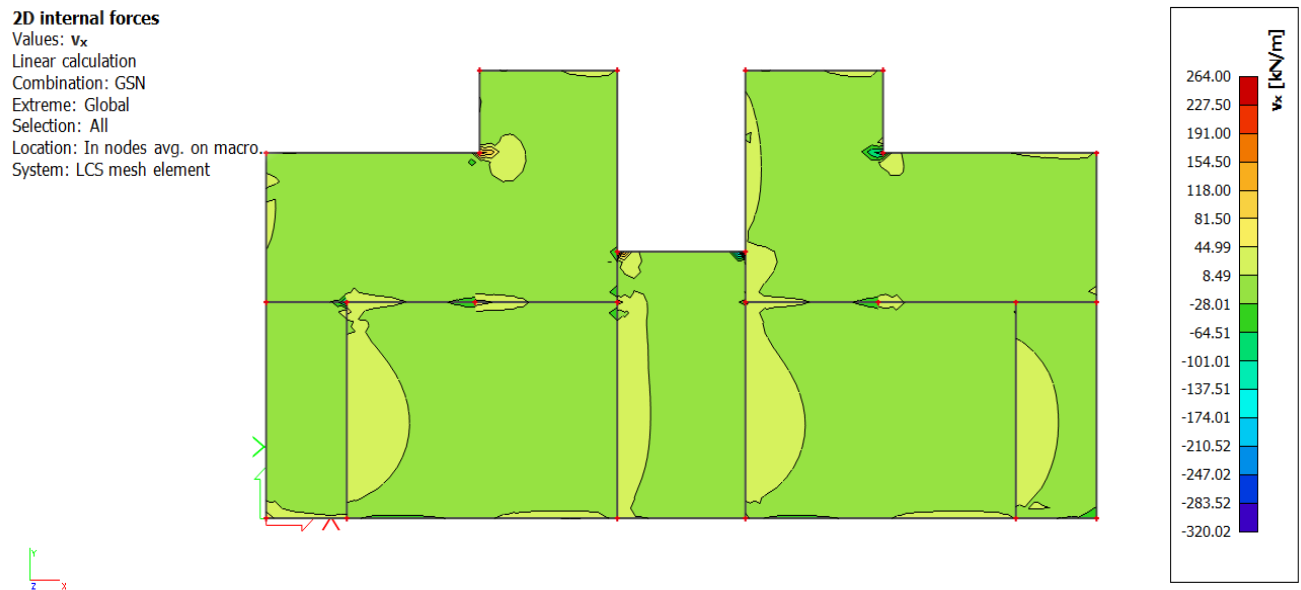
Selection: All

Location: In nodes avg. on macro.

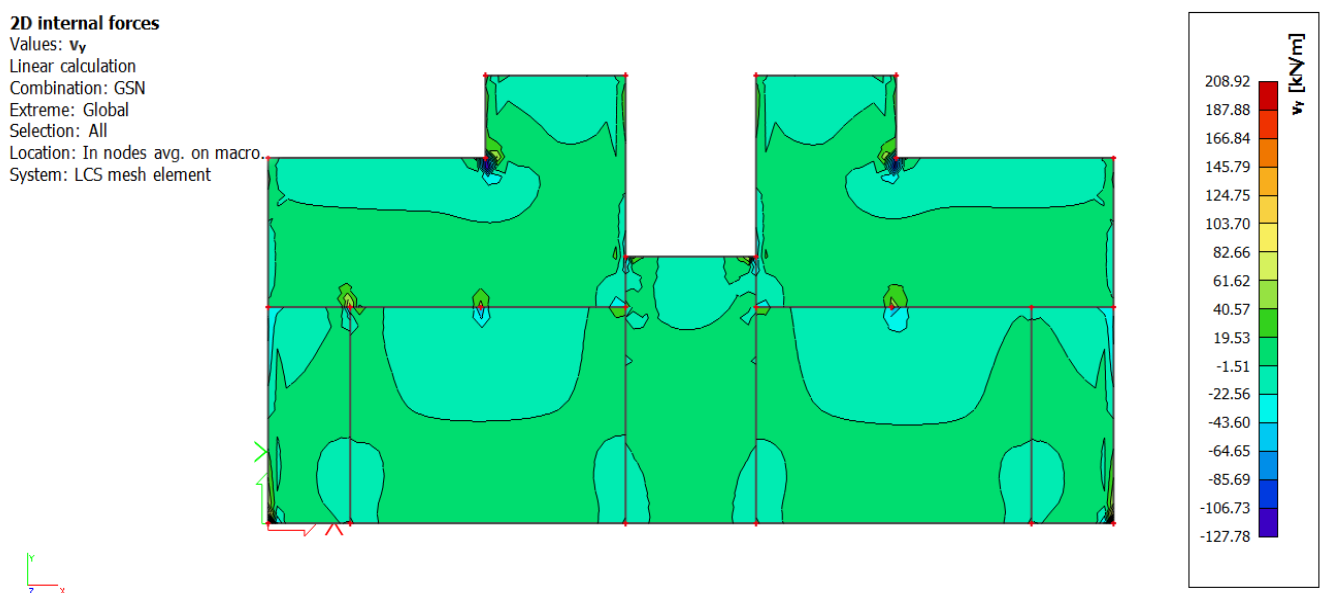
System: LCS mesh element



Slika 6.15 Moment savijanja $M_{Ed,xy}$ (kNm/m) za GSN-1

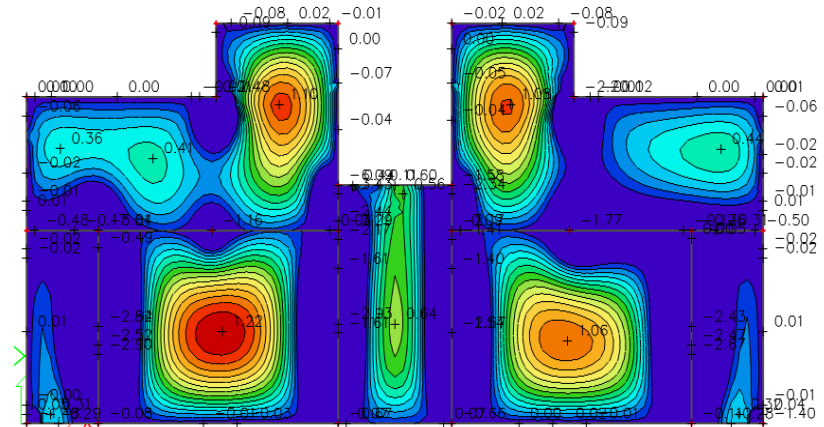


Slika 6.16 Poprečne sile $V_{Ed,x}$ (kN/m) za GSN-1



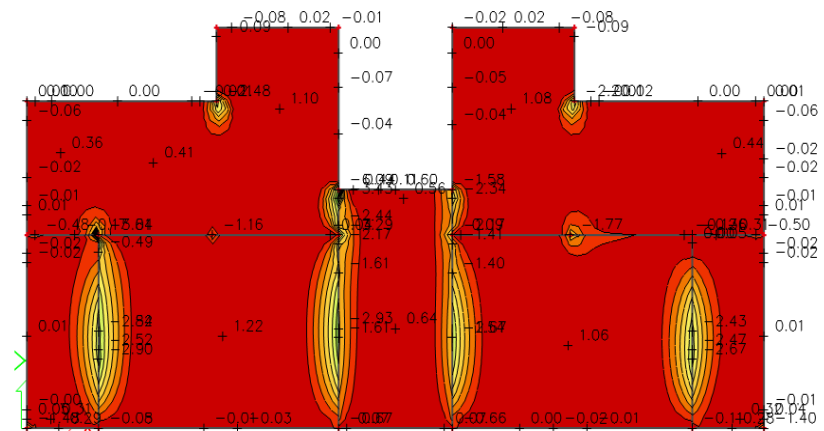
Slika 6.17 Poprečne sile $V_{Ed,y}$ (kN/m) za GSN-1

2D internal forces
 Values: m_x
 Linear calculation
 Combination: ARM16
 Extreme: Member
 Selection: All
 Location: In nodes avg. on macro.
 System: LCS mesh element



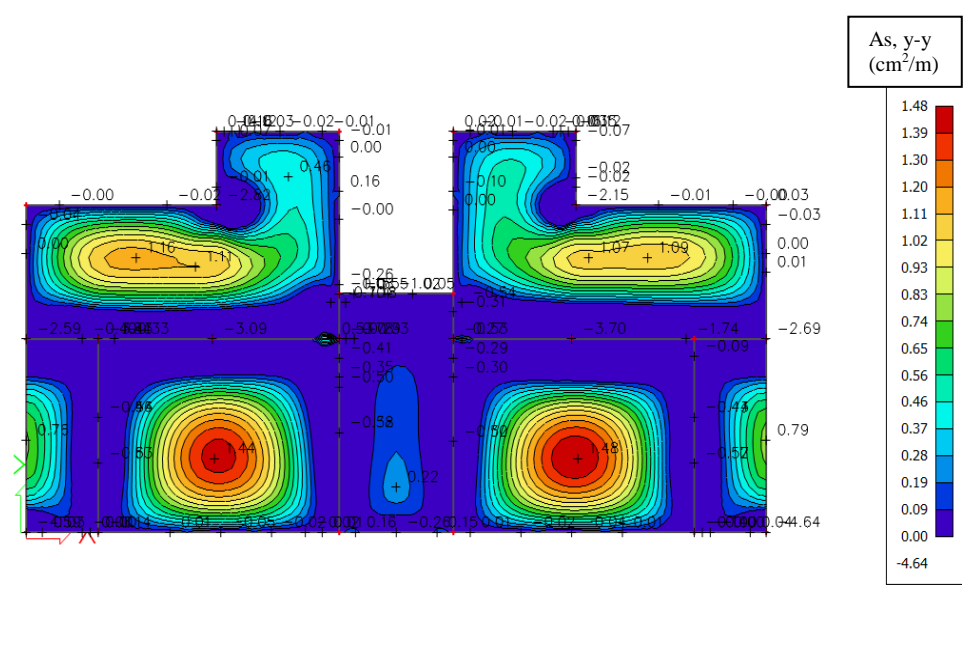
ka 6.18 Armatura u ploči smjer As,x-x (polje) (cm²/m) za GSN-1

2D internal forces
 Values: m_x
 Linear calculation
 Combination: ARM16
 Extreme: Member
 Selection: All
 Location: In nodes avg. on macro.
 System: LCS mesh element



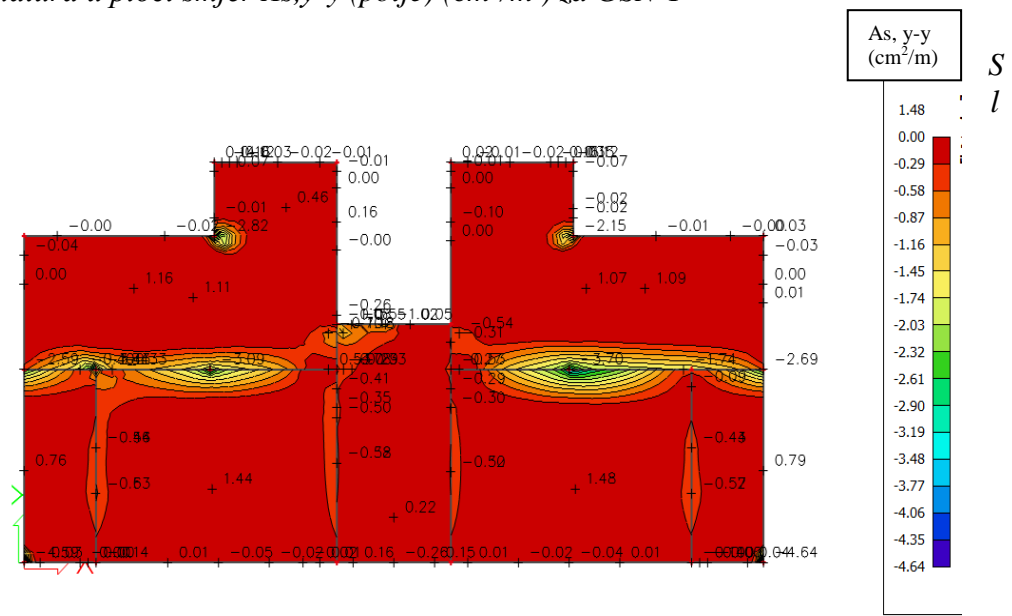
ika 6.19 Armatura u ploči smjer As,x-x (ležaj) (cm²/m) za GSN-1

2D internal forces
 Values: m_y
 Linear calculation
 Combination: ARM16
 Extreme: Member
 Selection: All
 Location: In nodes avg. on macro.
 System: LCS mesh element



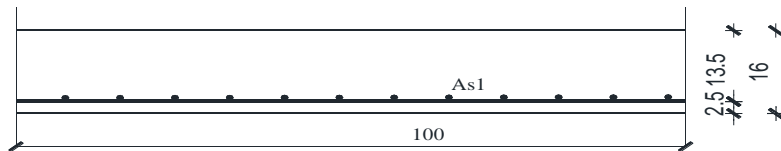
Slika 6.20 Armatura u ploči smjer As,y-y (polje) (cm^2/m) za GSN-1

2D internal forces
 Values: m_y
 Linear calculation
 Combination: ARM16
 Extreme: Member
 Selection: All
 Location: In nodes avg. on macro.
 System: LCS mesh element



Slika 6.21 Armatura u ploči smjer As,y-y (ležaj) (cm^2/m) za GSN-1

6.2.1 Dimenzioniranje ploče na moment savijanja



Slika 6.22 Poprečni presjek ploče

$h=16 \text{ cm}$

zaštitni sloj: $a=2.0 \text{ cm}$; $d=13.5 \text{ cm}$

Beton: C 25/30

$$f_{ck}=25.0 \text{ MPa}$$

$$E_{cm}=30.0 \text{ GPa}$$

Armatura: B 500B

$$f_y=500 \text{ MPa}$$

Napomena: Zbog preraspodjele dobivenu armaturu potrebno je umanjiti nad ležajem za 15 % i povećati u polju 25%.

$$\text{Armatura u polju } 1.48 \text{ cm}^2 * 1.25 = 1.85 \text{ cm}^2$$

$$\text{Armatura na ležaju } 2.17 \text{ cm}^2 * 0.85 = 1.84 \text{ cm}^2$$

ODABRANA ARMATURA

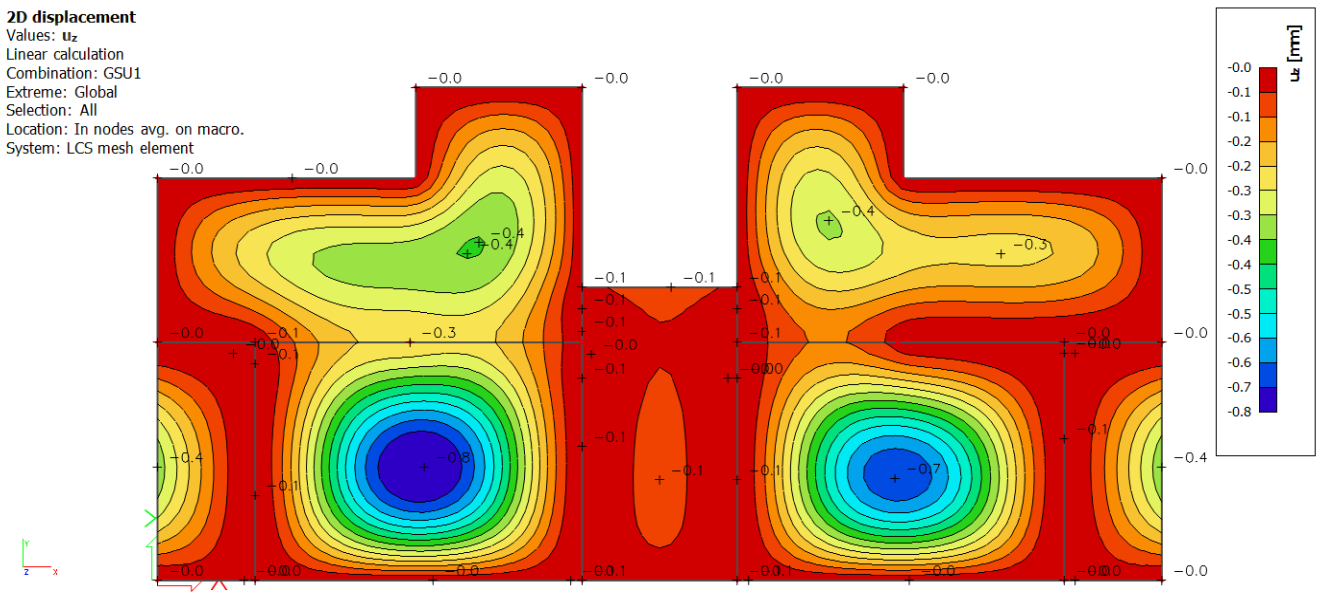
Polje Q-226 ($2,26 \text{ cm}^2/\text{m}$)

Ležaj Q-226 ($2,26 \text{ cm}^2/\text{m}$)

Na mjestima gdje je potrebna veća armatura postavljaju se šipke $\Phi 10$ u jednom ili oba smjera na razmaku od 20 cm.

Zaključak: Kod drugog modela u odnosu na prvi, dolazi do preraspodjele momenta sa ruba na moment u polje i moment nad ležajem. Vrijednost momenta u polju se povećava za otprilike 60 % u odnosu na vrijednosti momenta koji su se pojavili u prvom modelu. Istovremeno dolazi i do povećanja momenta nad ležajevima, iz tog razloga drugi model uzimamo kao mjerodavan jer prikazuje realnije ponašanje ploče.

6.2.2 Kontrola progiba međukatne ploče

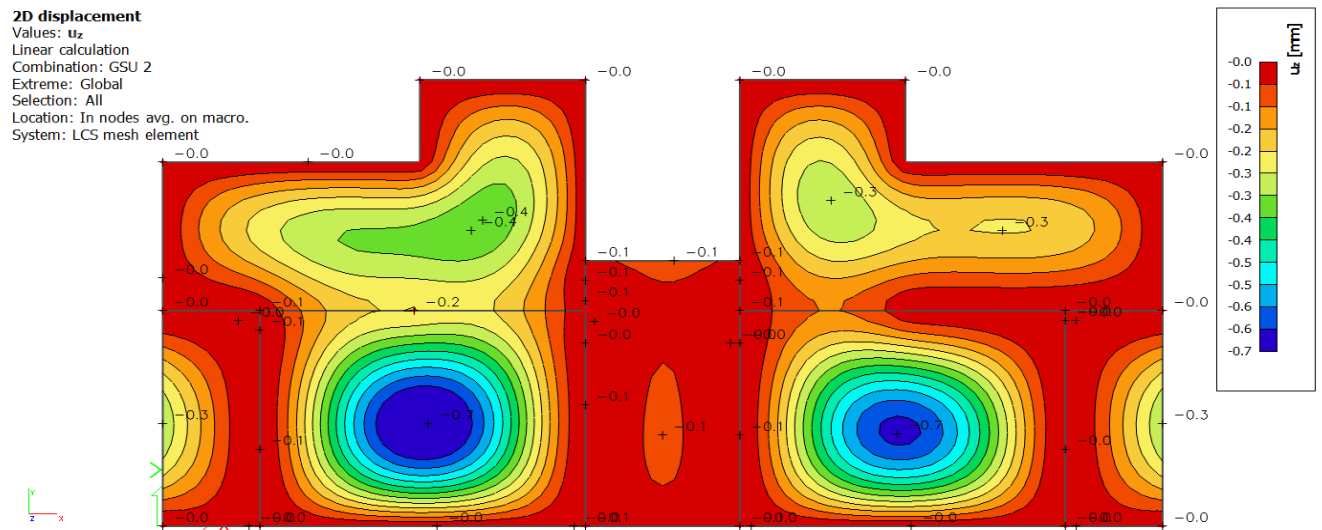


Slika 6.23 Progib ploče (mm) za kombinaciju GSU-1

Najveći progib iznosa je 0,8 mm; L=4000mm

Dozvoljen progib $L/1000 = 4,0\text{mm}$

Međukatna ploča zadovoljava na progibe.



Slika 6.24 Progib ploče (mm) za kombinaciju GSU-2

Najveći progib iznosa je 0,7 mm; L=4000

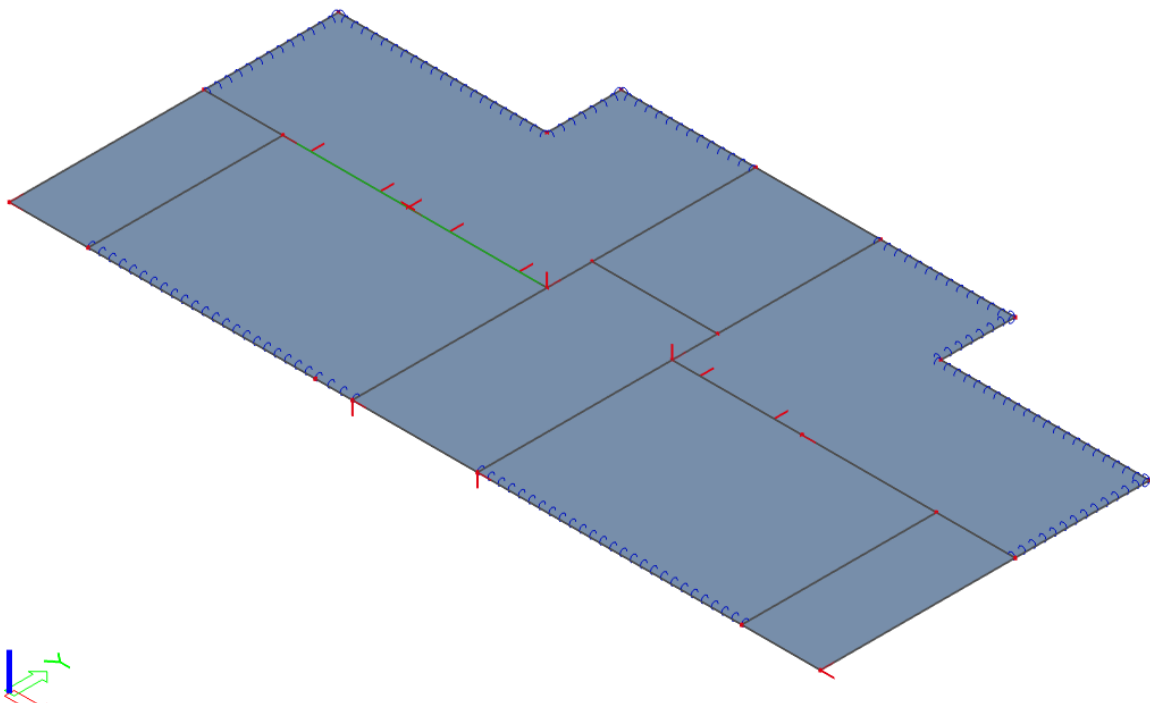
Dozvoljen progib $L/1250 = 3,2\text{ mm}$

Međukatna ploča zadovoljava na progibe.

7. PRORAČUN KROVNE PLOČE

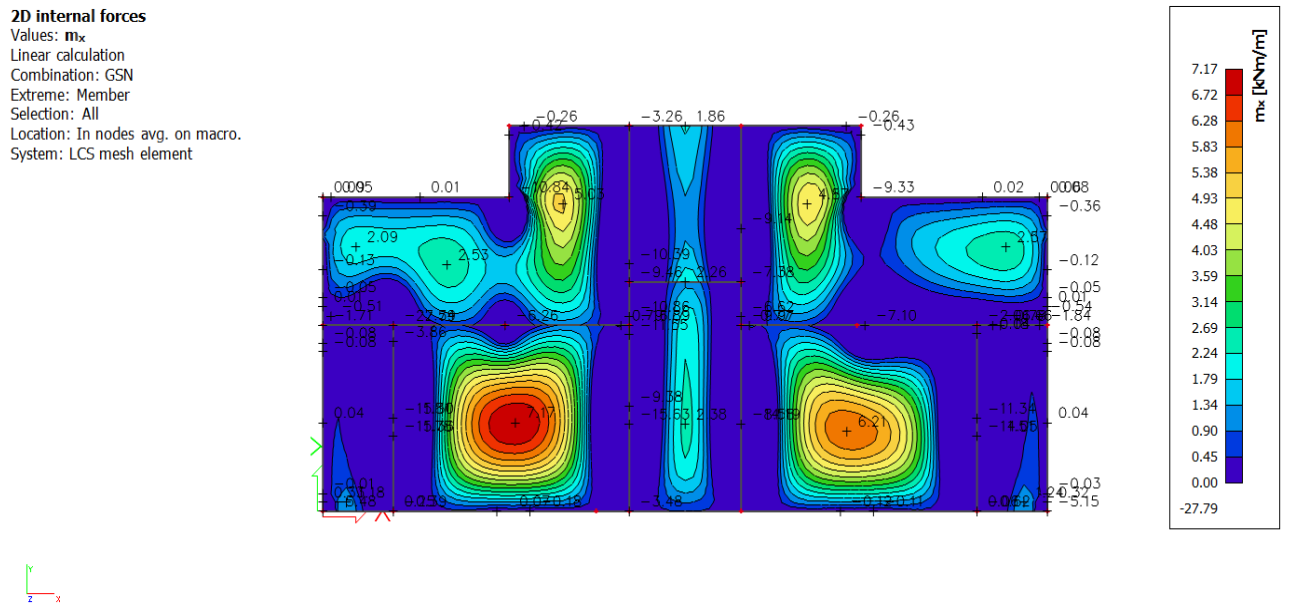
U prethodnom poglavlju iskazani su zaključci, stoga ćemo u ovom prikazati samo rezultate drugog modela kod kojeg je oslobođen zaokret na rubovima, što povlači da na tim mjestima ne dolazi do javljanja momenta.

7.1 Prikaz modela i rezultata

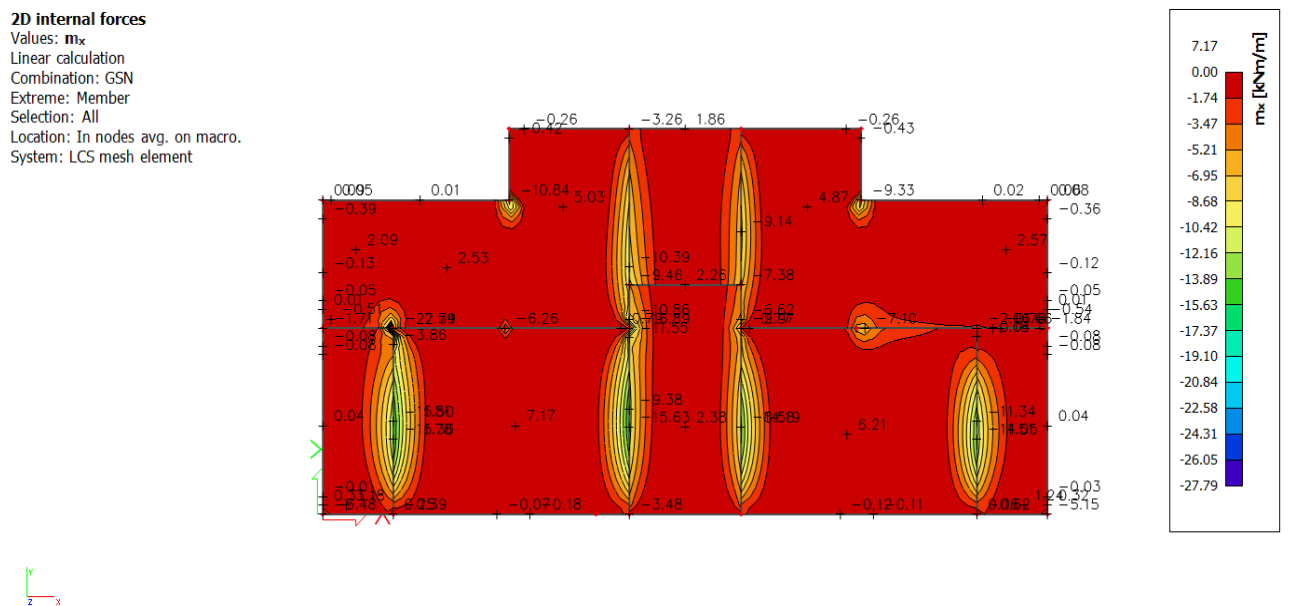


Slika 7.1 Prikaz modela

Zbog loše preglednosti dijagrama rezultati momenata savijanja prikazani su zasebno u polju i zasebno na ležajevima.



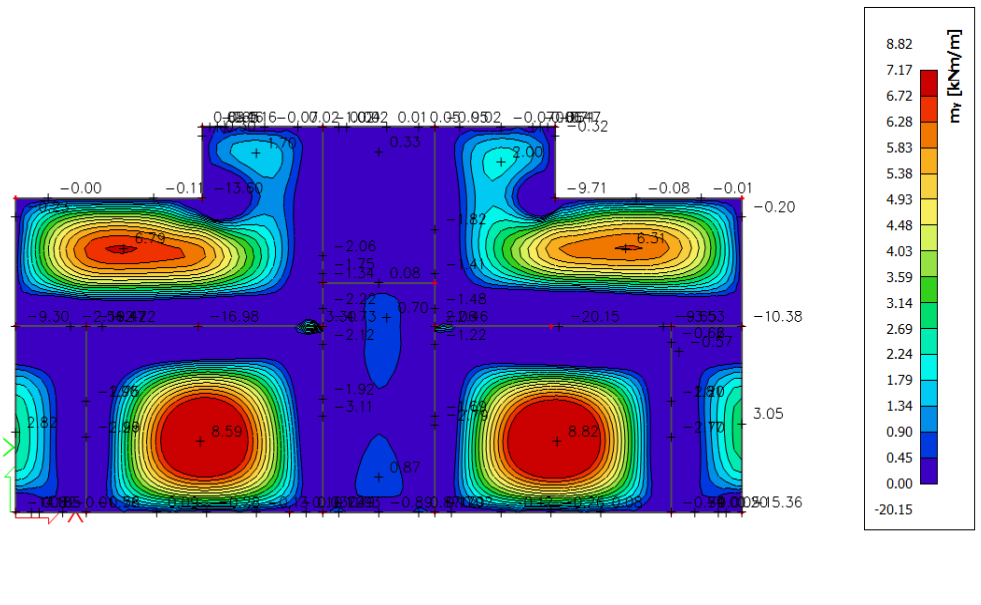
Slika 7.2 Moment savijanja (polje) $M_{Ed,x}$ (kNm/m) za GSN-1



Slika 7.3 Moment savijanja (ležaj) $M_{Ed,x}$ (kNm/m) za GSN-1

2D internal forces

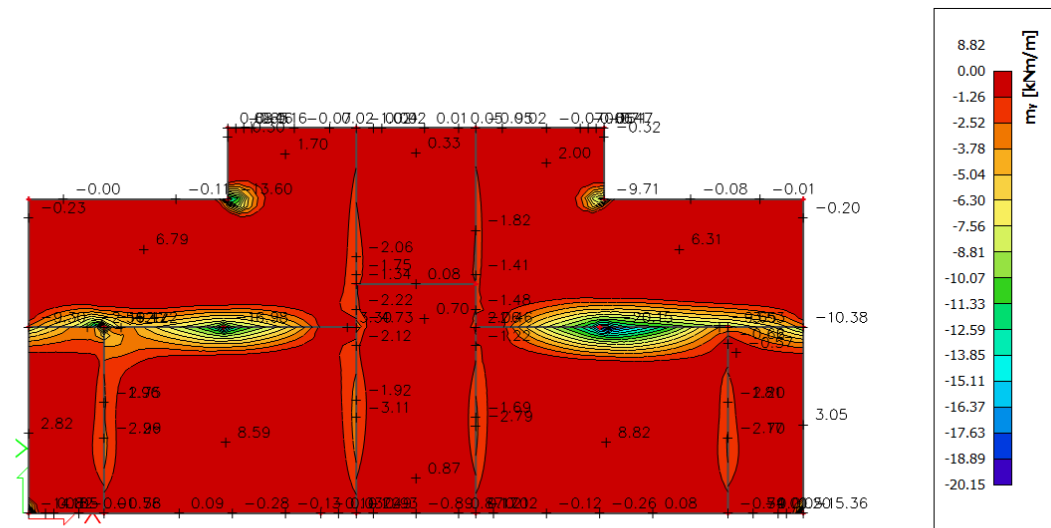
Values: m_y
 Linear calculation
 Combination: GSN
 Extreme: Member
 Selection: All
 Location: In nodes avg. on macro.
 System: LCS mesh element

Slika 7.4 Moment savijanja (polje) $M_{Ed,y}$ (kNm/m) za GSN-1

c

2D internal forces

Values: m_y
 Linear calculation
 Combination: GSN
 Extreme: Member
 Selection: All
 Location: In nodes avg. on macro.
 System: LCS mesh element

Slika 7.5 Moment savijanja (ležaj) $M_{Ed,y}$ (kNm/m) za GSN-1

2D internal forcesValues: m_{xy}

Linear calculation

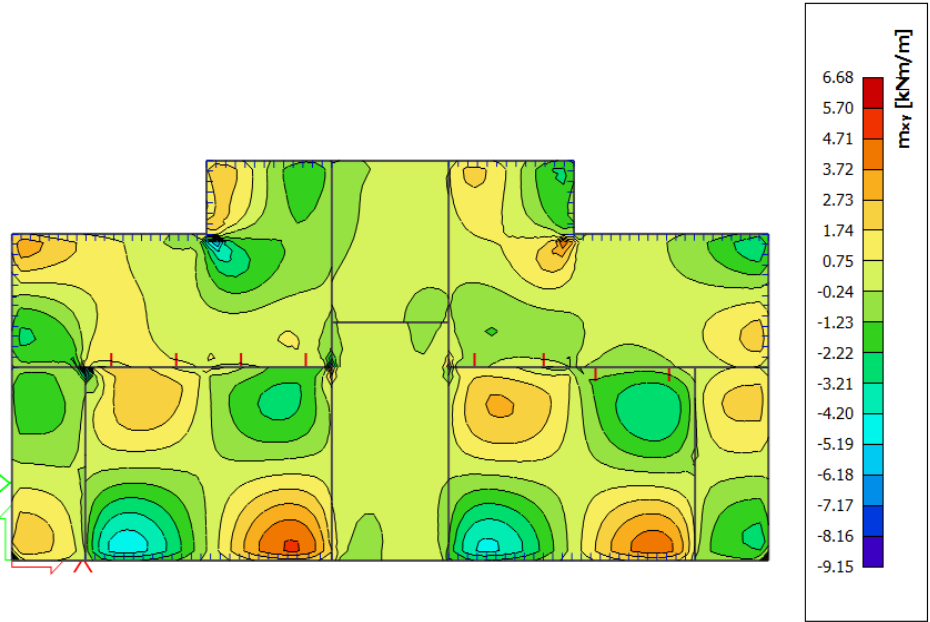
Combination: GSN

Extreme: Member

Selection: All

Location: In nodes avg. on macro.

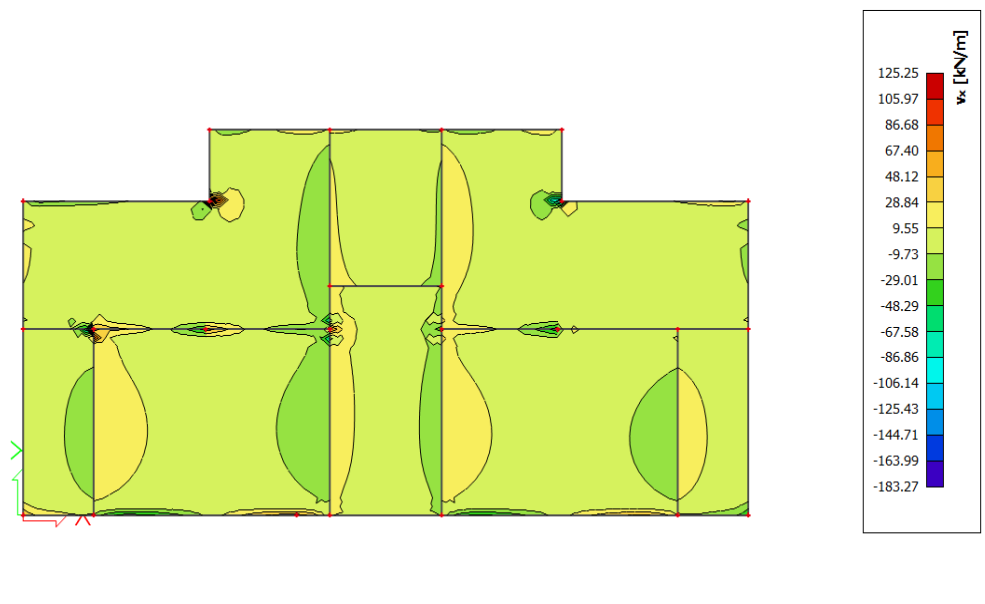
System: LCS mesh element



Slika 7.6 Moment savijanja $M_{Ed,xy}$ (kNm/m) za GSN-1

2D internal forces

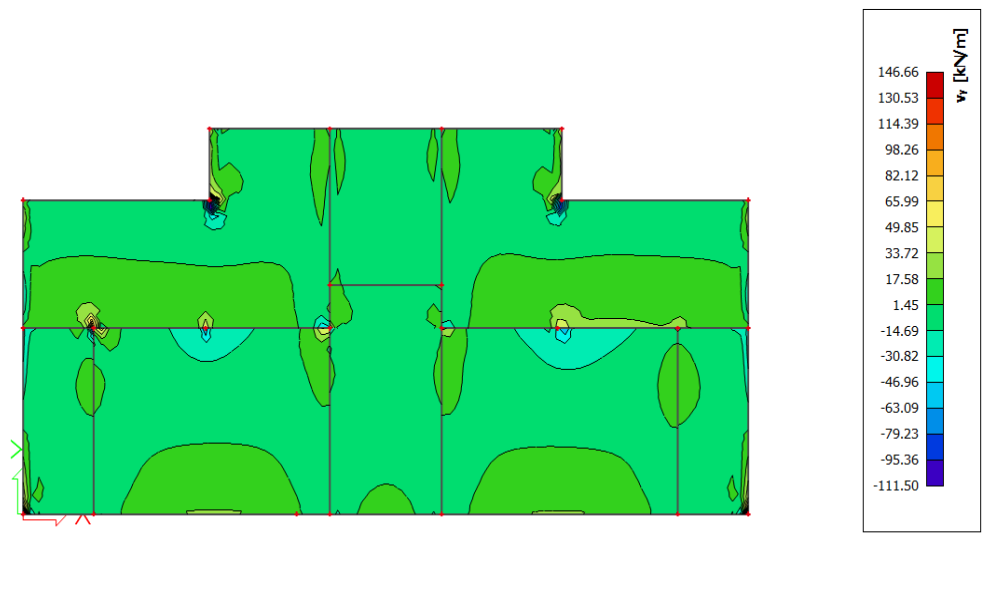
Values: v_x
Linear calculation
Combination: GSN
Extreme: Member
Selection: All
Location: In nodes avg. on macro.
System: LCS mesh element



Slika 7.7 Poprečne sile $V_{Ed,x}$ (kN/m) za GSN-I

2D internal forces

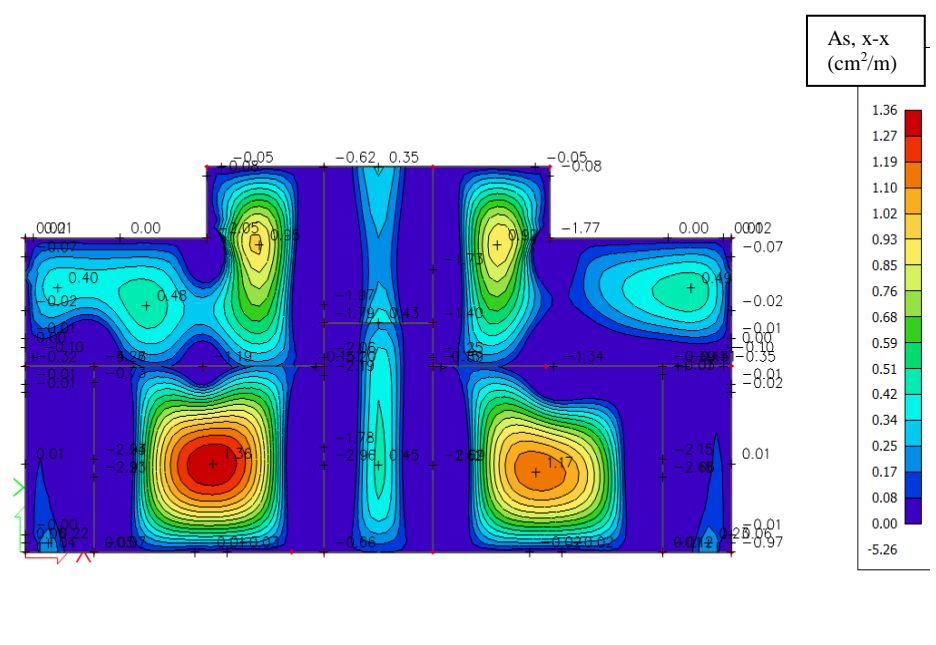
Values: v_y
Linear calculation
Combination: GSN
Extreme: Member
Selection: All
Location: In nodes avg. on macro.
System: LCS mesh element



Slika 7.8 Poprečne sile $V_{Ed,y}$ (kN/m) za GSN-I

2D internal forces

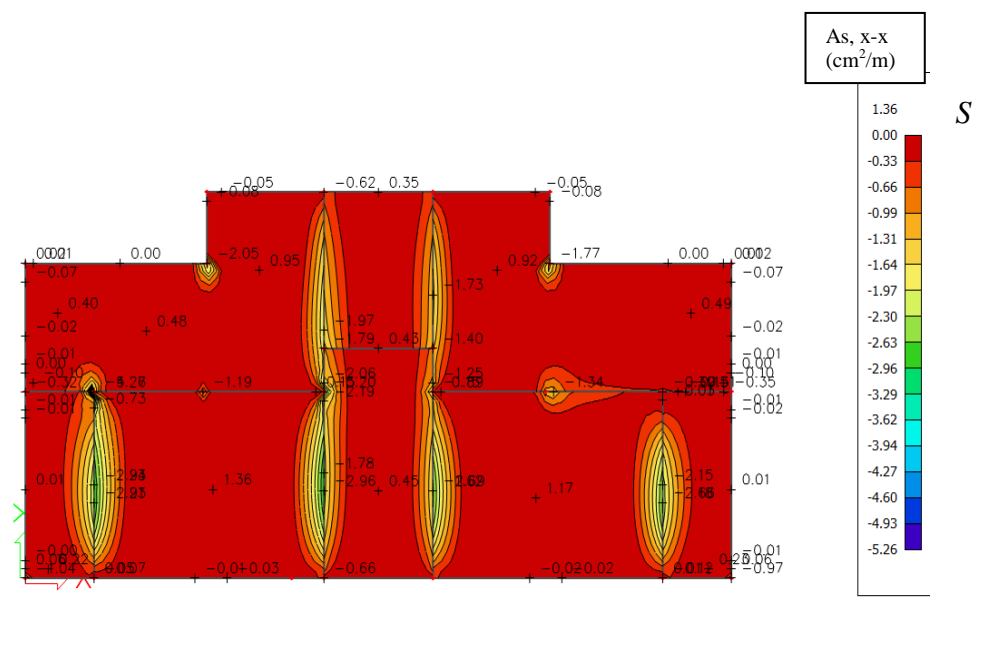
Values: m_x
 Linear calculation
 Combination: ARM16
 Extreme: Member
 Selection: All
 Location: In nodes avg. on macro.
 System: LCS mesh element



Slika 7.9 Armatura u ploči smjer As,x-x (polje) (cm^2/m) za GSN-1

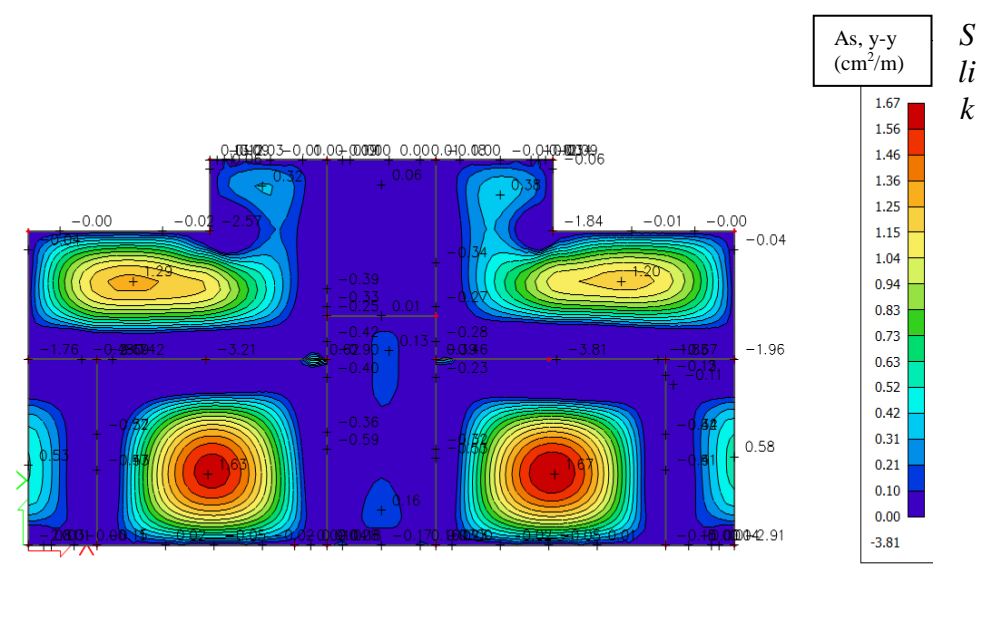
2D internal forces

Values: m_x
 Linear calculation
 Combination: ARM16
 Extreme: Member
 Selection: All
 Location: In nodes avg. on macro.
 System: LCS mesh element



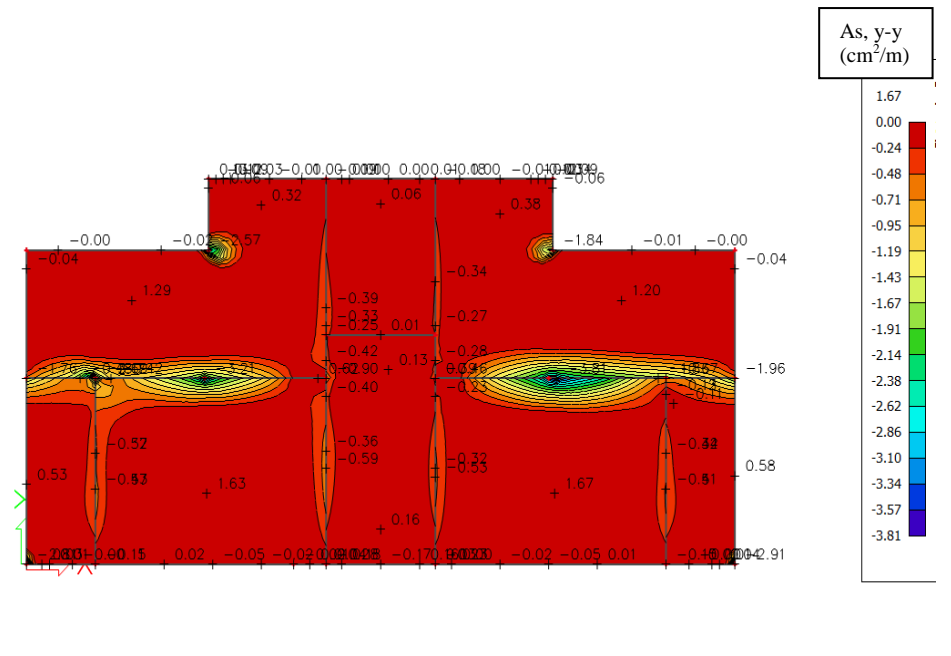
Slika 7.10 Armatura u ploči smjer As,x-x (ležaj) (cm^2/m) za GSN-1

2D internal forces
 Values: m_y
 Linear calculation
 Combination: ARM16
 Extreme: Member
 Selection: All
 Location: In nodes avg. on macro.
 System: LCS mesh element



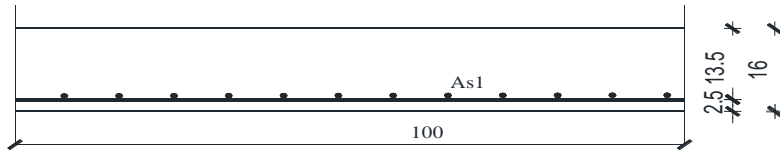
a 7.11 Armatura u ploči smjer As,y-y (polje) (cm^2/m) za GSN-I

2D internal forces
 Values: m_y
 Linear calculation
 Combination: ARM16
 Extreme: Member
 Selection: All
 Location: In nodes avg. on macro.
 System: LCS mesh element



Slika 7.12 Armatura u ploči smjer As,y-y (ležaj) (cm^2/m) za GSN-I

7.1.1 Dimenzioniranje na moment savijanja



Slika 8.13 Poprečni presjek ploče

$h=16 \text{ cm}$

zaštitni sloj: $a=2.0 \text{ cm}$; $d=13.5 \text{ cm}$

Beton: C 25/30 $f_{ck}=25.0 \text{ MPa}$ $E_{cm}=30.0 \text{ GPa}$

Armatura: B 500B

$f_y=500 \text{ MPa}$

Napomena: Dobivenu armaturu zbog preraspodjele umanjiti nad ležajem za 15 % i povećati u polju 25%.

Armatura u polju $1.67 \text{ cm}^2 * 1.25 = 2.08 \text{ cm}^2$ Armatura na ležaju $2.15 \text{ cm}^2 * 0.85 = 1.82 \text{ cm}^2$

ODABRANA ARMATURA:

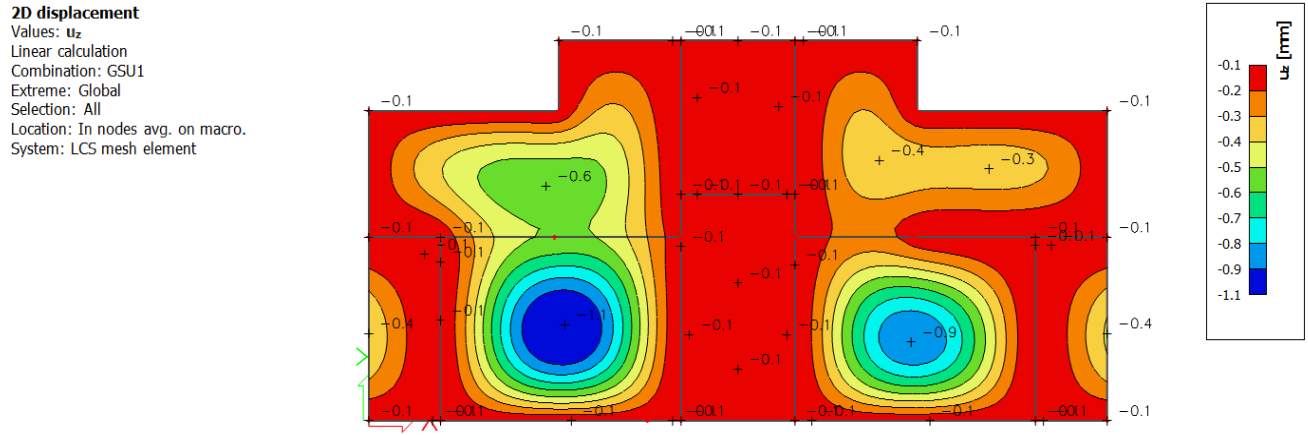
Polje Q-226 ($2.26 \text{ cm}^2/\text{m}$)

Ležaj Q-226 ($2.26 \text{ cm}^2/\text{m}$)

Na mjestima gdje je potrebna veća armatura postavljaju se šipke $\Phi 10$ u jednom ili oba smjera na razmaku od 20 cm.

7.2 Kontrola progiba i pukotina krovne ploče

7.2.1 Kontrola progiba

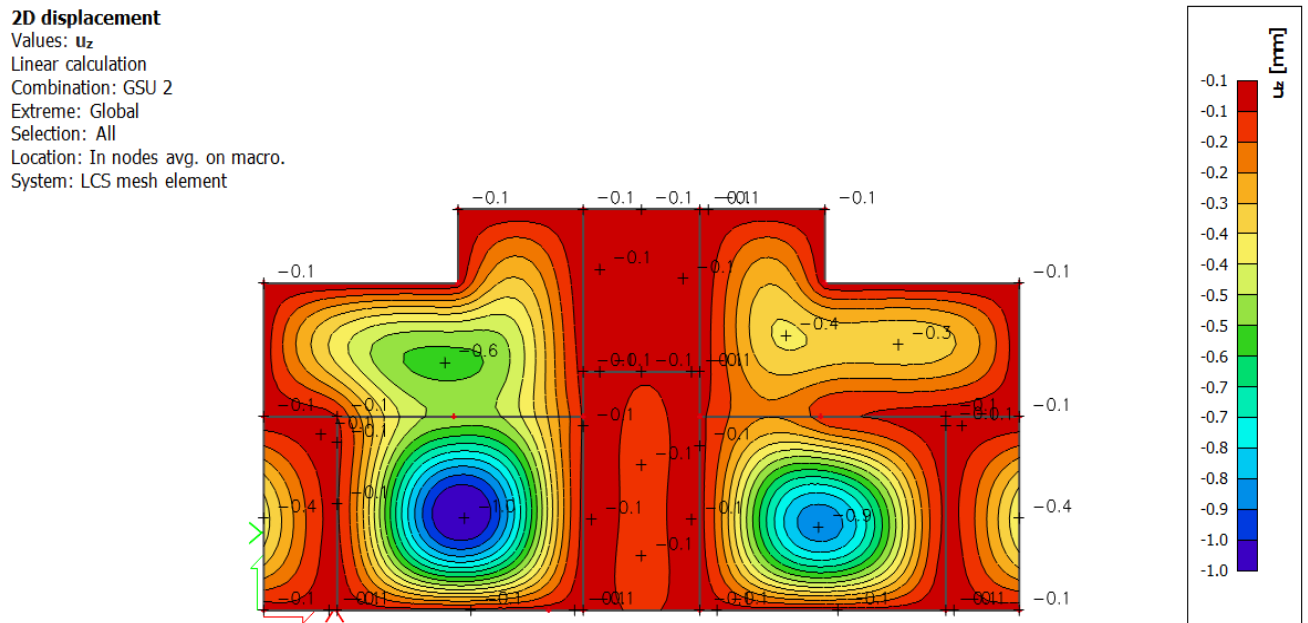


Slika 7.14 Progib ploče (mm) za kombinaciju GSU-1

Najveći progib iznosa je 1,1 mm; L=4000 mm

Dozvoljen progib L/1000 =4,0 mm

Krovna ploča zadovoljava na progibe.



Slika 7.15 Progib ploče (mm) za kombinaciju GSU-2

Najveći progib iznosa je 1,0 mm; L=4000 mm

Dozvoljen progib L/1250 =4,0 mm

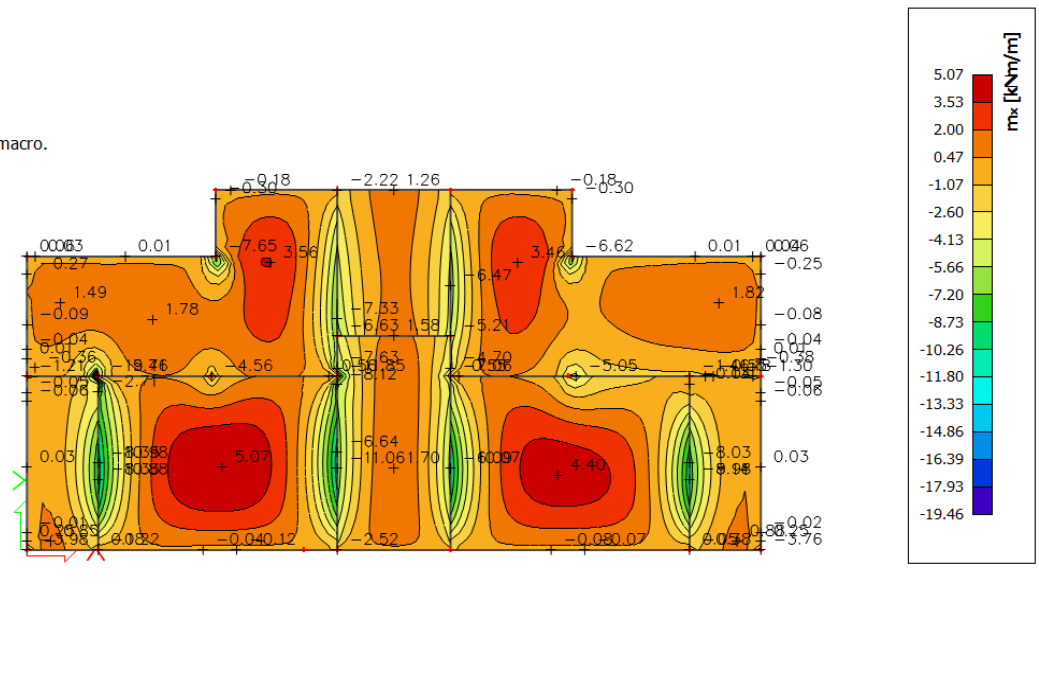
Krovna ploča zadovoljava na progibe.

7.2.2 Kontrola pukotina

Od priloženih dijagrama odabire se najveći moment savijanja koji će biti mjerodavan kod izračuna širine pukotina.

2D internal forces

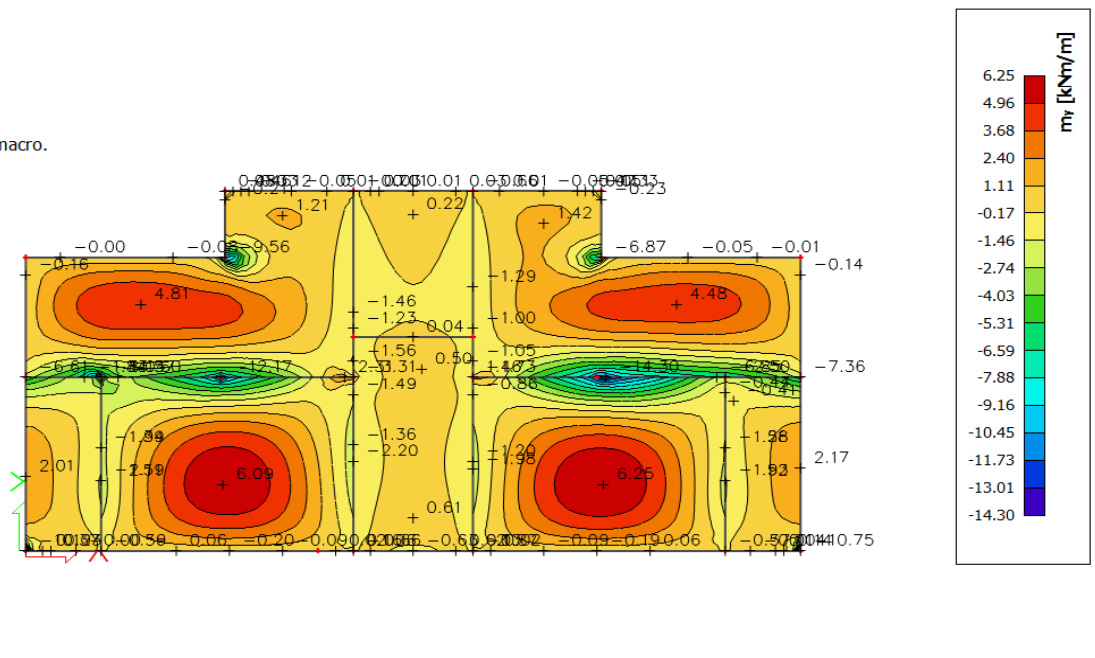
Values: m_x
 Linear calculation
 Combination: GSU1
 Extreme: Member
 Selection: All
 Location: In nodes avg. on macro.
 System: LCS mesh element



Slika 7.16 Moment savijanja $M_{Ed,x}$ (kNm/m) za GSU-I

2D internal forces

Values: m_y
 Linear calculation
 Combination: GSU1
 Extreme: Member
 Selection: All
 Location: In nodes avg. on macro.
 System: LCS mesh element



Slika 7.17 Moment savijanja $M_{Ed,y}$ (kNm/m) za GSU-I

Mjerodavni moment M=6,25 kNm/m

Prognoza širine pukotine:

$$w_k = s_{r,max} \cdot (\varepsilon_{sm} - \varepsilon_{cm})$$

Vrijednost $\varepsilon_{sm} - \varepsilon_{cm}$ određuje se prema izrazu:

$$\varepsilon_{sm} - \varepsilon_{cm} = \frac{\sigma_s - k_t \frac{f_{ct,eff}}{\rho_{p,eff}} (1 + \alpha_e \cdot \rho_{p,eff})}{E_s} \geq 0,6 \cdot \frac{\sigma_s}{E_s}$$

$$x = \frac{\alpha_{el} \cdot A_{s1}}{b} \cdot \left(-1 + \sqrt{1 + \frac{2 \cdot b \cdot d}{\alpha_{el} \cdot A_{s1}}} \right) = \frac{7,0 \cdot 2,26}{100} \cdot \left(-1 + \sqrt{1 + \frac{2 \cdot 100 \cdot 13,5}{7,0 \cdot 2,26}} \right) = 1,91 \text{ cm}$$

$$\sigma_s = \frac{M_{Ed}}{z \cdot A_s} \approx \frac{M_{Ed}}{(d - \frac{x}{3}) \cdot A_s} = \frac{625}{(13,5 - \frac{1,91}{3}) \cdot 2,26} = 21,49 \frac{kN}{cm^2} = 214,9 MPa$$

Za C 25/30 $\Rightarrow f_{ct,eff} = 2,6 MPa$

$$A_{s1} = Q-226 = 2,26 \text{ cm}^2$$

$$E_{cm} = 30,0 GPa = 30000 MPa - \text{modul elastičnosti betona}$$

$$E_s = 210,0 GPa = 210000 MPa - \text{modul elastičnosti armature}$$

$$k_t = 0,4 - \text{dugotrajno opterećenje}$$

$$\alpha_e = \frac{E_s}{E_{cm}} = \frac{210}{30} = 7,0 - \text{odnos modula elastičnosti}$$

Djelotvorni koeficijent armiranja glavnom vlačnom armaturom:

$$\rho_{p,eff} = \frac{A_s}{A_{c,eff}} = \frac{2,26}{100(2,5 \cdot 2,5)} = 0,0036$$

$$\varepsilon_{sm} - \varepsilon_{cm} = \frac{214,9 - 0,4 \frac{2,6}{0,0036} (1 + 7,0 \cdot 0,0036)}{210000} \geq 0,6 \cdot \frac{214,9}{210000}$$

$$-0,000386 \geq 0,000614$$

$$\varepsilon_{sm} - \varepsilon_{cm} = 0,000614$$

Srednji razmak pukotina:

$$s_{r,max} = k_3 \cdot c + k_1 \cdot k_2 \cdot k_4 \cdot \frac{\Phi}{\rho_{p,eff}}$$

$$\Phi = 7,0 \text{ mm}$$

$C = 20 \text{ mm}$ – Zaštitni sloj uzdužne armature

$k_1 = 0,8$ – Rebrasta armatura

$k_2 = 0,5$ - Savijanje

$k_3 = 3,4$

$k_4 = 0,425$

$$s_{r,max} = 3,4 \cdot 20 + 0,8 \cdot 0,5 \cdot 0,425 \cdot \frac{7,0}{0,0036} = 398,55$$

Karakteristična širina pukotine:

$$w_k = s_{r,max} \cdot (\varepsilon_{sm} - \varepsilon_{cm}) = 398,55 \cdot 0,000614 = 0,244 \text{ mm} < w_g = 0,3 \text{ mm}$$

- Pukotine zadovoljavaju!

8. PRORAČUN GREDA

Limitirajući moment:

$$M_{Rd,lim} = \mu_{sd,lim} \cdot b_w \cdot d^2 \cdot f_{cd} = 0,159 \cdot 0,2 \cdot 0,47^2 \cdot 16,66 \cdot 1000 = 117,03 \text{ kNm}$$

Minimalna i maksimalna armatura za grede:

$$A_{s,min}^{polje} = 0,0015 \cdot b_w \cdot d = 0,0015 \cdot 20 \cdot 47 = 1,14 \text{ cm}^2$$

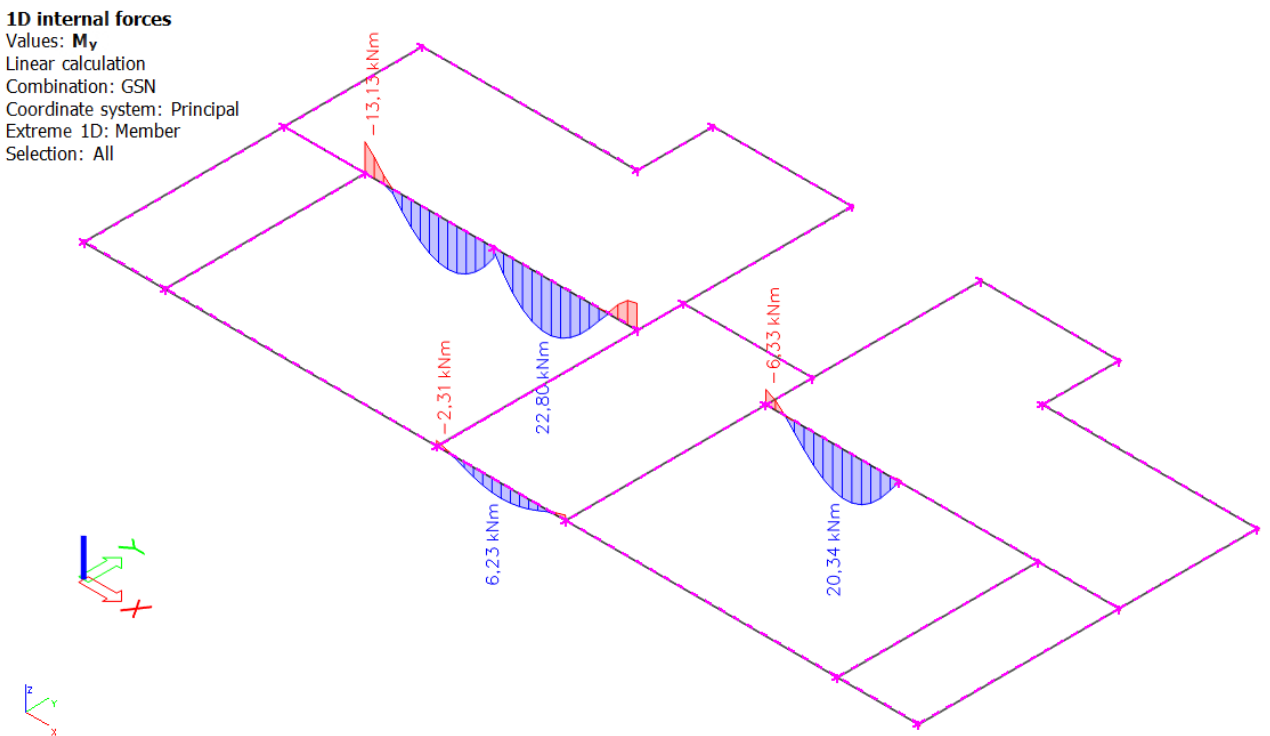
$$A_{s,min}^{ležaj} = 0,0015 \cdot b_{eff} \cdot d = 0,0015 \cdot 88 \cdot 47 = 6,02 \text{ cm}^2$$

$$A_{s,max}^{polje} = 0,31 \cdot b_w \cdot d \cdot \frac{f_{cd}}{f_{yd}} = 0,31 \cdot 20 \cdot 47 \cdot \frac{16,66}{434,8} = 11,16 \text{ cm}^2$$

$$A_{s,max}^{ležaj} = 0,85 \cdot b_{eff} \cdot h_f \cdot \frac{f_{cd}}{f_{yd}} = 0,85 \cdot 88 \cdot 50 \cdot \frac{16,66}{434,8} = 143,3 \text{ cm}^2$$

8.1 Medukatna greda

8.1.1 Prikaz rezultata proračun



Slika 8.1 Moment savijanja $M_{Ed,y}$ (kNm) za GSN-1

Napomena: Preraspodjela momenta savijanja u gredama, moment u polju povećati za 30 % , a moment nad ležajem smanjiti za 15 %.

$$M_{\max, \text{polje}1} = 22,80 \cdot 1,30 = 29,64 \text{ kNm}$$

$$M_{\max, \text{polje}2} = 20,34 \cdot 1,30 = 26,44 \text{ kNm}$$

$$M_{\max, \text{ležaj}} = 13,13 \cdot 0,85 = 11,16 \text{ kN}$$

1D internal forcesValues: V_z

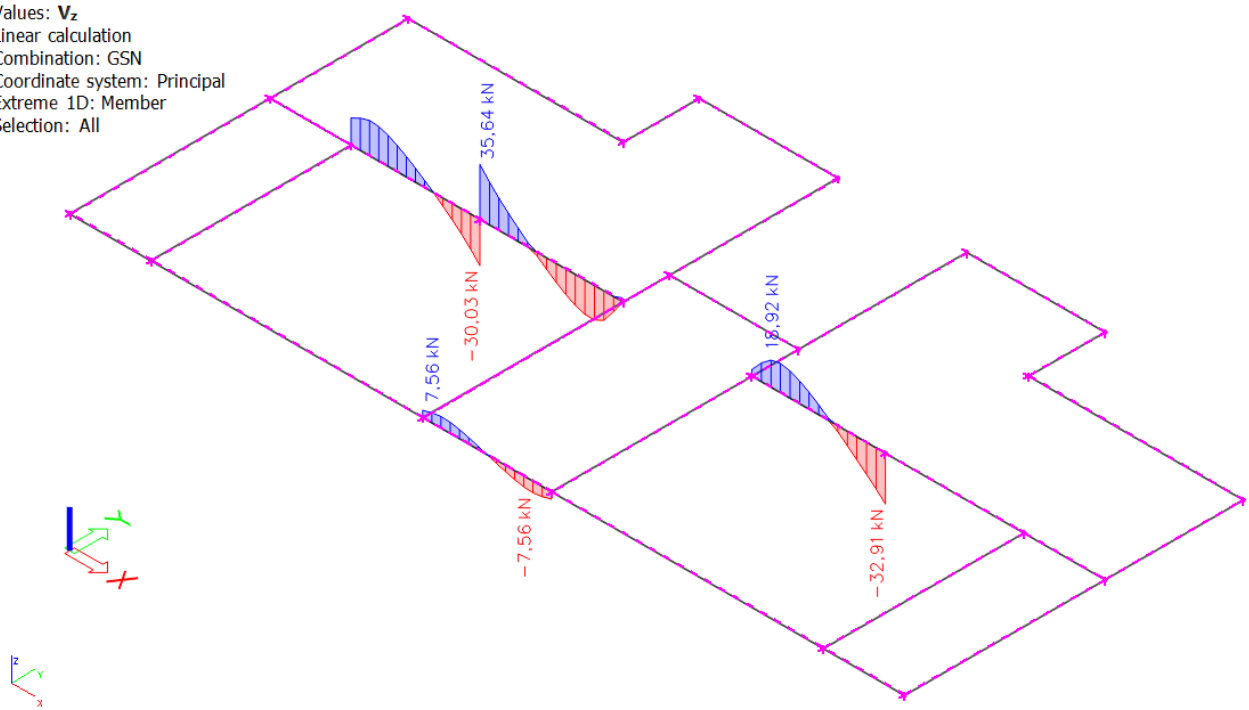
Linear calculation

Combination: GSN

Coordinate system: Principal

Extreme 1D: Member

Selection: All

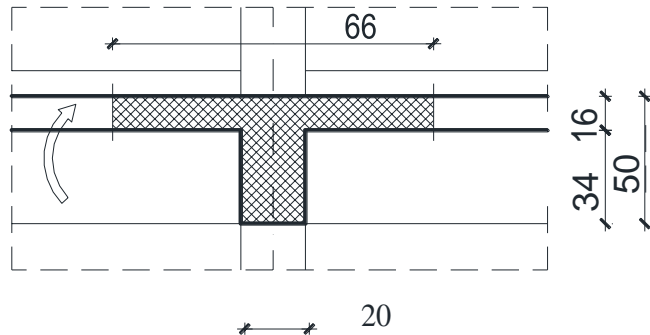
*Slika 8.2 Poprečne sile $V_{Ed,z}$ (kN) za GSN-1*

8.1.2 Dimenzioniranje poče na moment savijanja

Polje 1:

$$\text{Utjecajna širina: } b_{\text{eff}} = b_0 + \frac{l_0}{5}$$

$$b_{\text{eff}} = 20 + \frac{0,85 \cdot 280}{5} = 67,6 \text{ cm}$$



Slika 8.3 Poprečni presjek grede (polje1)

$$M_{Ed} = 29,64 \text{ kNm}$$

$$\mu_{sd} = \frac{M_{Ed}}{b_{\text{eff}} \cdot d^2 \cdot f_{cd}} = \frac{2964}{67,6 \cdot 47^2 \cdot 1,67} = 0,011$$

Očitano: $\varepsilon_{s1} = 10,0 \%_0$ $\varepsilon_{c2} = 0,6 \%_0$ $\xi = 0,057$ $\zeta = 0,981$

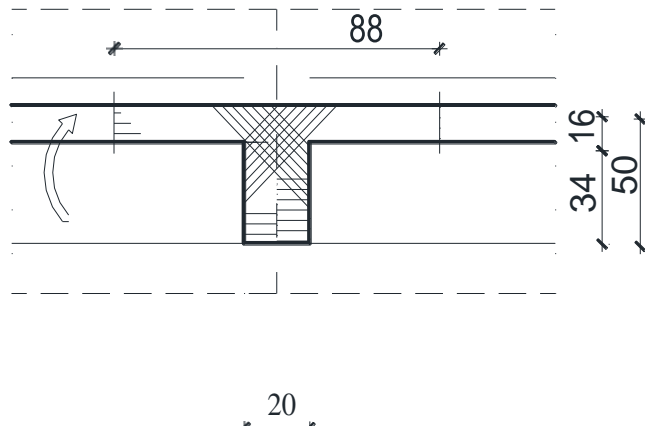
$$A_{s1} = \frac{M_{Ed}}{\zeta \cdot d \cdot f_{yd}} = \frac{2964}{0,981 \cdot 47 \cdot 43,5} = 1,47 \text{ cm}^2$$

Odabrano 2Ø12 ($A_s = 2,26 \text{ cm}^2$)

Polje 2:

$$\text{Utjecajna širina: } b_{\text{eff}} = b_0 + \frac{l_0}{5}$$

$$b_{\text{eff}} = 20 + \frac{0,85 \cdot 280}{5} = 67,6 \text{ cm}$$



Slika 8.4 Poprečni presjek grede (polje2)

$$M_{Ed} = 26,44 \text{ kNm}$$

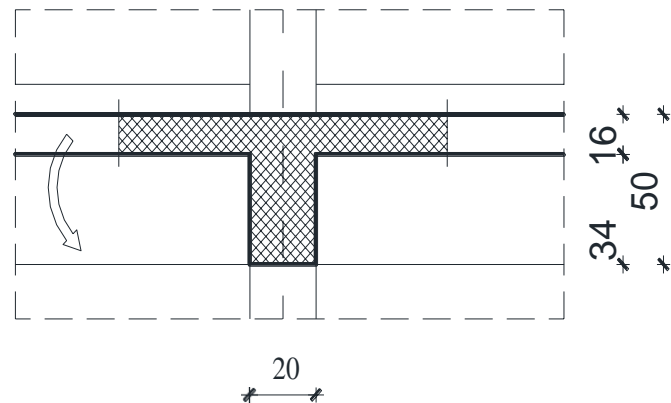
$$\mu_{sd} = \frac{M_{Ed}}{b_{\text{eff}} \cdot d^2 \cdot f_{cd}} = \frac{2644}{67,6 \cdot 47^2 \cdot 1,67} = 0,011$$

Očitano: $\varepsilon_{s1} = 10,0 \%$ $\varepsilon_{c2} = 0,6 \%$ $\xi = 0,057$ $\zeta = 0,981$

$$A_{s1} = \frac{M_{Ed}}{\zeta \cdot d \cdot f_{yd}} = \frac{2644}{0,981 \cdot 47 \cdot 43,5} = 1,32 \text{ cm}^2$$

Odabrano $2\varnothing 12$ ($A_s = 2,26 \text{ cm}^2$)

Ležaj :



Slika 8.5 Poprečni presjek grede (ležaj)

$$M_{Ed} = 11,16 \text{ kNm}$$

$$\mu_{sd} = \frac{M_{Ed}}{b_{fw} \cdot d^2 \cdot f_{cd}} = \frac{1116}{20 \cdot 47^2 \cdot 1,67} = 0,017$$

Očitano: $\varepsilon_{s1} = 10,0\%_0$ $\varepsilon_{c2} = 0,7\%_0$ $\xi = 0,065$ $\zeta = 0,977$

$$A_{s1} = \frac{M_{Ed}}{\zeta \cdot d \cdot f_{yd}} = \frac{1116}{0,977 \cdot 47 \cdot 43,5} = 0,56 \text{ cm}^2$$

Odabrano $2\varnothing 12$ ($A_s = 2,26 \text{ cm}^2$)

8.1.3 Dimenzioniranje na poprečnu silu

$$V_{Ed} = 35,64 \text{ kN}$$

$$V_{Rd,c} = [C_{Rd,c} \cdot k(100 \cdot \rho_1 \cdot f_{ck})^{1/3} + k_1 \cdot \sigma_{cp}] \cdot b_w \cdot d$$

$$k = 1,0 + \sqrt{\frac{200}{d}}^1 = 1,0 + \sqrt{\frac{200}{470}} = 1,65 \leq 2,0 \rightarrow k = 1,65$$

$$k_1 = 0,15$$

$$\sigma_{cp} = \frac{N_{Ed}}{A_c} = 0,0$$

$$C_{Rd,c} = \frac{0,18}{\gamma_c} = \frac{0,18}{1,5} = 0,12$$

$$\sum A_s = 2\varnothing 12 + 2\varnothing 12 = 2,26 + 2,26 = 4,52 \text{ cm}^2$$

$$\rho_1 = \frac{\sum A_s}{A_c} = \frac{4,52}{20 \cdot 50} = 0,0045$$

$$V_{Rd,c} = [0,12 \cdot 1,65(100 \cdot 0,0045 \cdot 25,0)^{1/3} + 0,15 \cdot 0,0] \cdot 200 \cdot 470$$

$$V_{Rd,c} = 41060,69 \text{ N} = 41,06 \text{ kN}$$

$$V_{Rd,c} \geq [v_{min} + k_1 \cdot \sigma_{cp}] \cdot b_w \cdot d$$

$$k_1 = 0,15$$

$$v_{min} = 0,035 \cdot k^{3/2} \cdot f_{ck}^{1/2} = 0,035 \cdot 1,65^{3/2} \cdot 25,0^{1/2} = 0,374$$

$$\sigma_{cp} = \frac{N_{sd}}{A_c} = 0,0$$

$$V_{Rd,c} \geq 0,374 \cdot 200 \cdot 470$$

$$V_{Rd,c} \geq 35156 \text{ N} = 35,16 \text{ kN}$$

Uvjet je zadovoljen!

$$V_{Ed,max} = V_{Ed} = 35,64 \text{ kN}$$

$$V_{Rd,max} = 0,5 \cdot v \cdot b_w \cdot d \cdot f_{cd}$$

$$v = 0,6 \left[1,0 - \frac{f_{ck}}{250} \right] = 0,6 \left[1,0 - \frac{25}{250} \right] = 0,54$$

$$V_{Rd,max} = 0,5 \cdot 0,54 \cdot 200 \cdot 470 \cdot 16,66 = 4230846 \text{ N} = 423,08 \text{ kN} > V_{Ed,max}$$

$$\frac{V_{Ed,max}}{V_{Rd,max}} = \frac{35,64}{423,08} \approx 0,08 \rightarrow V_{Ed} = 0,08 V_{Rd,max}$$

$$s_{max} = min\{0,75 \cdot d; 30,0 \text{ cm}\} = min\{0,75 \cdot 47 = 34,5; 30,0 \text{ cm}\}$$

$$s_{max} = 30 \text{ cm}$$

$$\rho_{min} = 0,00090$$

Potrebna računska poprečna armatura:

$$A_{sw,min} = \frac{\rho_{min} \cdot s_w \cdot b_w}{m} = \frac{0,0009 \cdot 30 \cdot 20}{2} = 0,27 \text{ cm}^2$$

Odabrane minimalne spone: Ø8/20 ($A_{sw} = 0,50 \text{ cm}^2$)

$$f_{ywd} = \frac{f_{yk}}{\gamma_s}; \quad B500B \rightarrow f_{ywd} = \frac{500}{1,5} = 434,8 \text{ MPa} = 43,48 \text{ kN/cm}^2$$

$$V_{Rd} = V_{Rd,s} = \frac{A_{sw}}{s} \cdot z \cdot f_{ywd} \cdot m \cdot ctg\theta$$

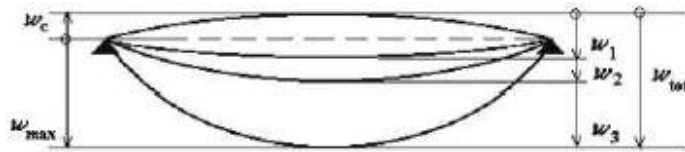
$$V_{Rd,s} = \frac{0,50}{30} \cdot (0,9 \cdot 47) \cdot 43,48 \cdot 2 = 61,31 \text{ kN}$$

$$V_{Rd,s} > V_{Ed}$$

Postaviti spone Ø8/20 ($A_{sw} = 0,50 \text{ cm}^2$).

Na mjestima spoja greda sa stupom i na mjestima spoja greda sa zidovima potrebno je progustiti spone, pa uzimamo razmak između spona 15 cm.

8.1.4 Kontrola progiba



Slika 8.6 Prikaz progiba grede

w_c -nadvišenje neopterećenog konstruktivnog elementa

w_1 - početni progib od stalnog opterećenja

w_2 - dugotrajni progib od stalnog opterećenja

w_3 - progib od promjenjivog opterećenja

w_{\max} – ukupni progib

Konstrukcija	w_{\max}	w_2+w_3
krovišta	L/20 0	L/250
Prohodna krovišta	L/25 0	L/300
stropovi	L/25 0	L/300
stropovi/krovovi sa žbukom ili drugim krhkim završnim slojevima ili nesavitljivim pregradama	L/30 0	L/350
stropovi koje podupiru stupovi (osim ako je progib uzet u obzir u sklopu proračuna za granično stanje nosivosti)	L/40 0	L/500
kada w_{\max} može narušiti izgled zgrade	L/25 0	–

Tablica 8.1 Ograničenje vertikalnih progiba za karakterističnu kombinaciju

1D deformationsValues: u_z

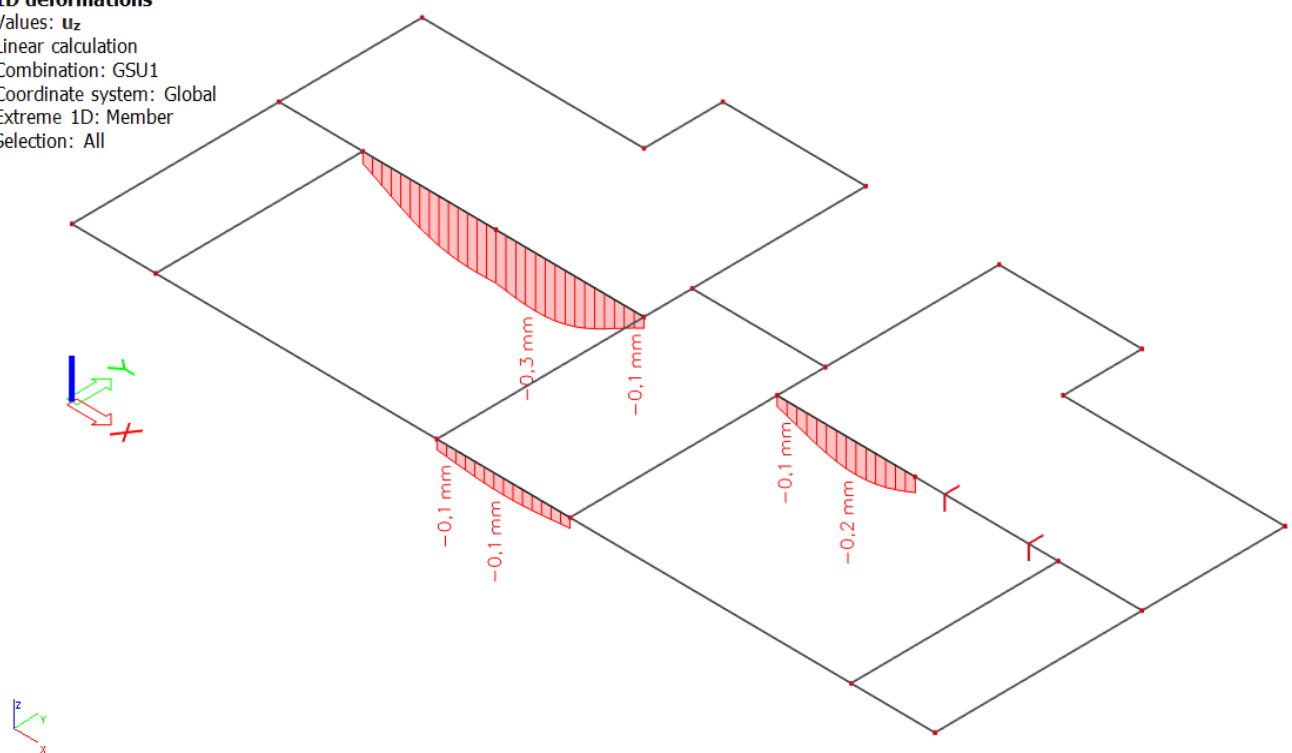
Linear calculation

Combination: GSU1

Coordinate system: Global

Extreme 1D: Member

Selection: All



Slika 8.7 Progib grede (mm) za kombinaciju GSU-1

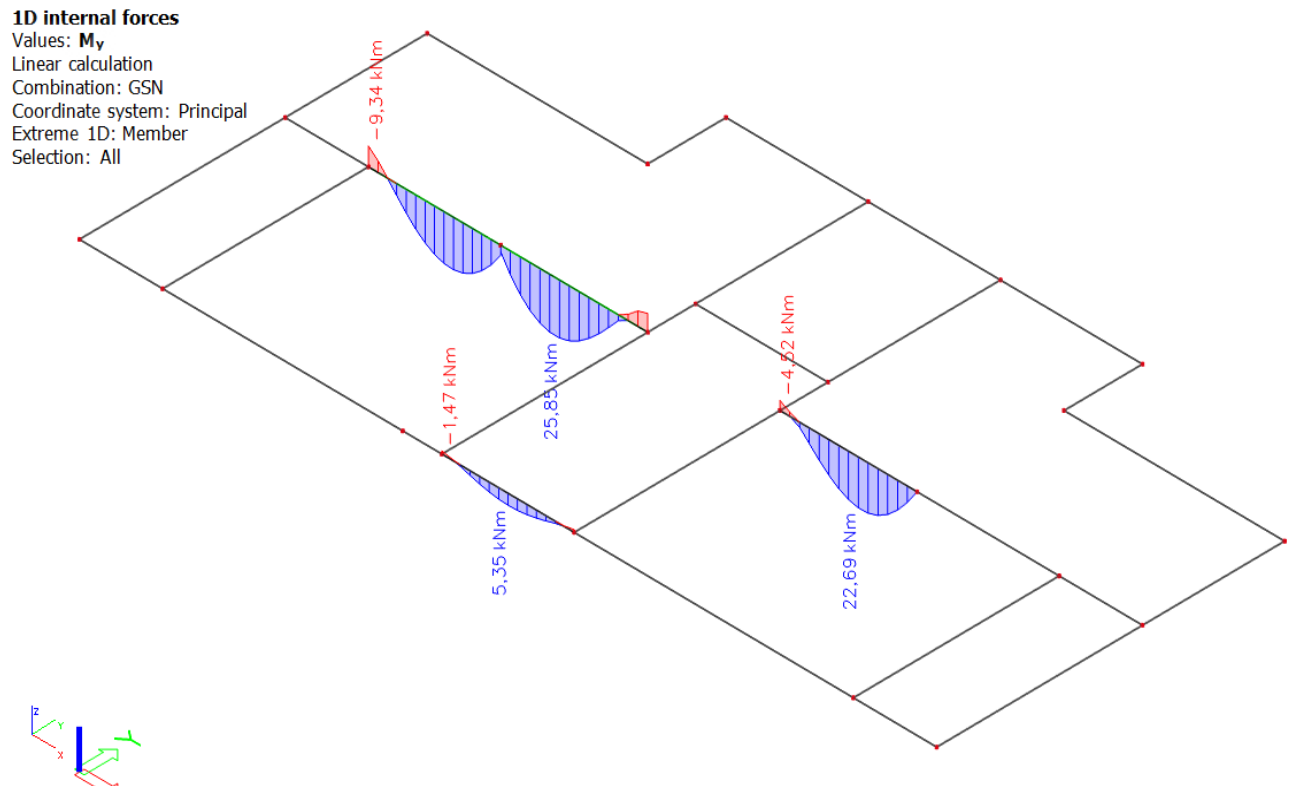
Najveći progib iznosa je 0,3 mm

Dozvoljen progib $L/1250 = 4000/1250 = 3,2 \text{ mm}$

Međukatna greda zadovoljava na progibe.

8.2 Krovna greda

8.2.1 Prikaz rezultata proračuna



Slika 8.8 Moment savijanja $M_{Ed,y}$ (kNm) za GSN-1

Napomena: Preraspodjela momenta savijanja u gredama, moment u polju povećati za 30 % , a moment nad ležajem smanjiti za 15 %.

$$M_{max,polje1} = 25,85 * 1.30 = 33,61 \text{ kNm}$$

$$M_{max,polje2} = 22,69 * 1.30 = 29,49 \text{ kNm}$$

$$M_{max,ležaj} = 9,34 * 0,85 = 7,94 \text{ kN}$$

1D internal forces

Values: V_z

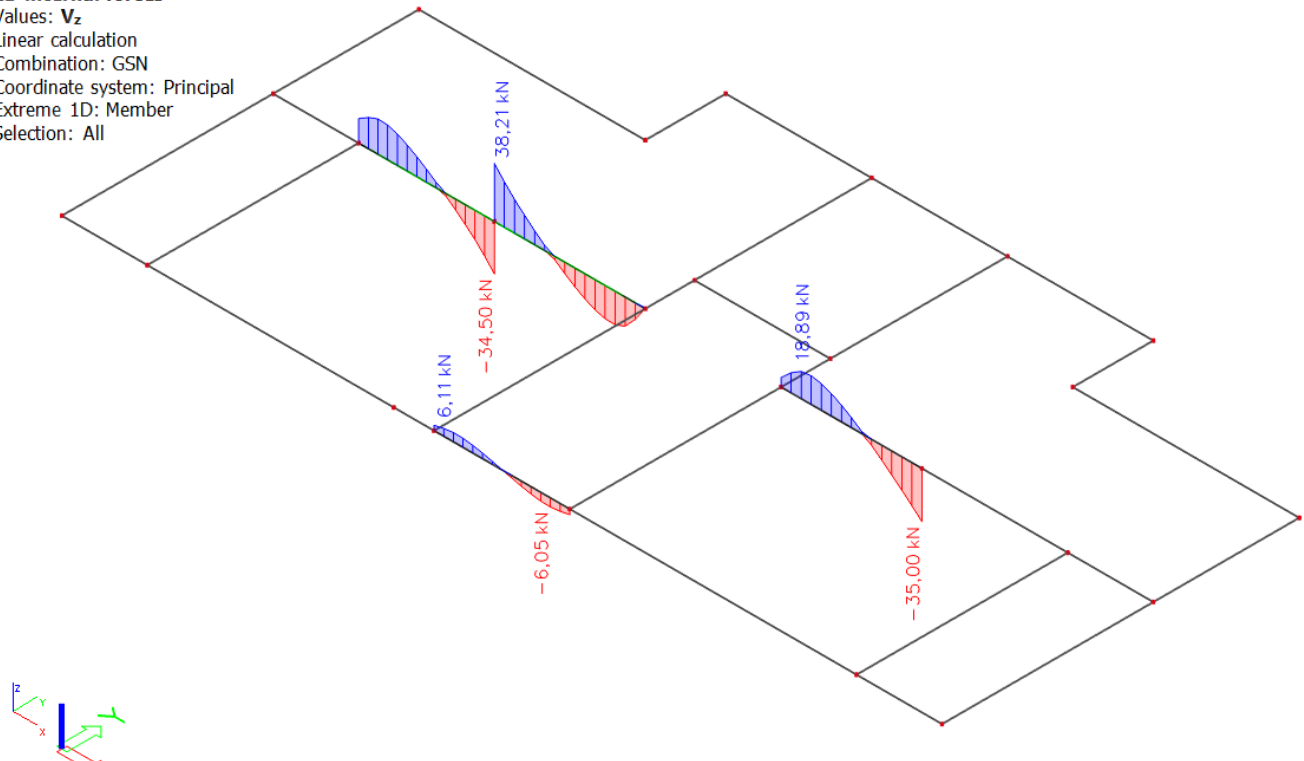
Linear calculation

Combination: GSN

Coordinate system: Principal

Extreme 1D: Member

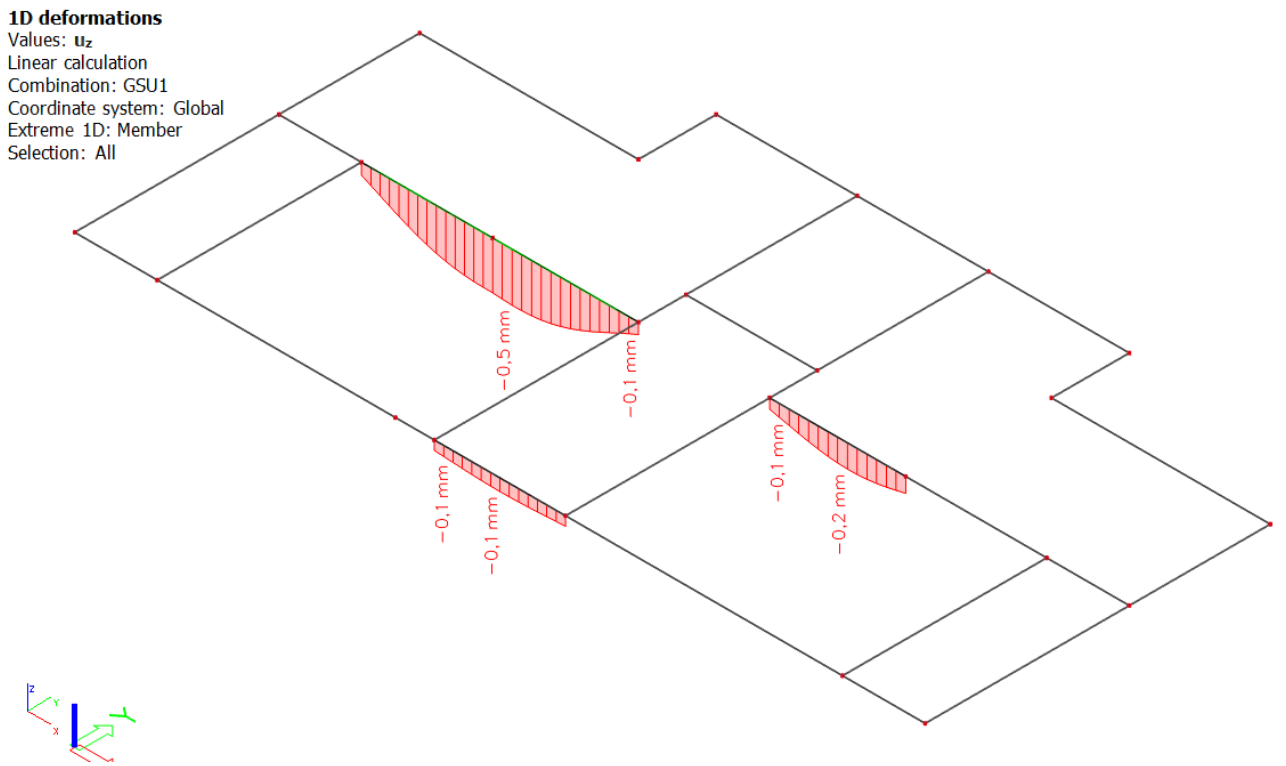
Selection: All



Slika 8.9 Poprečne sile $V_{Ed,z}$ (kN) za GSN-1

Nema velikih promjena u momentnom dijagramu ni u dijagramu poprečnih sila pa se krovna greda armira isto kao i međukatne grede.

8.2.2 Kontrola progiba



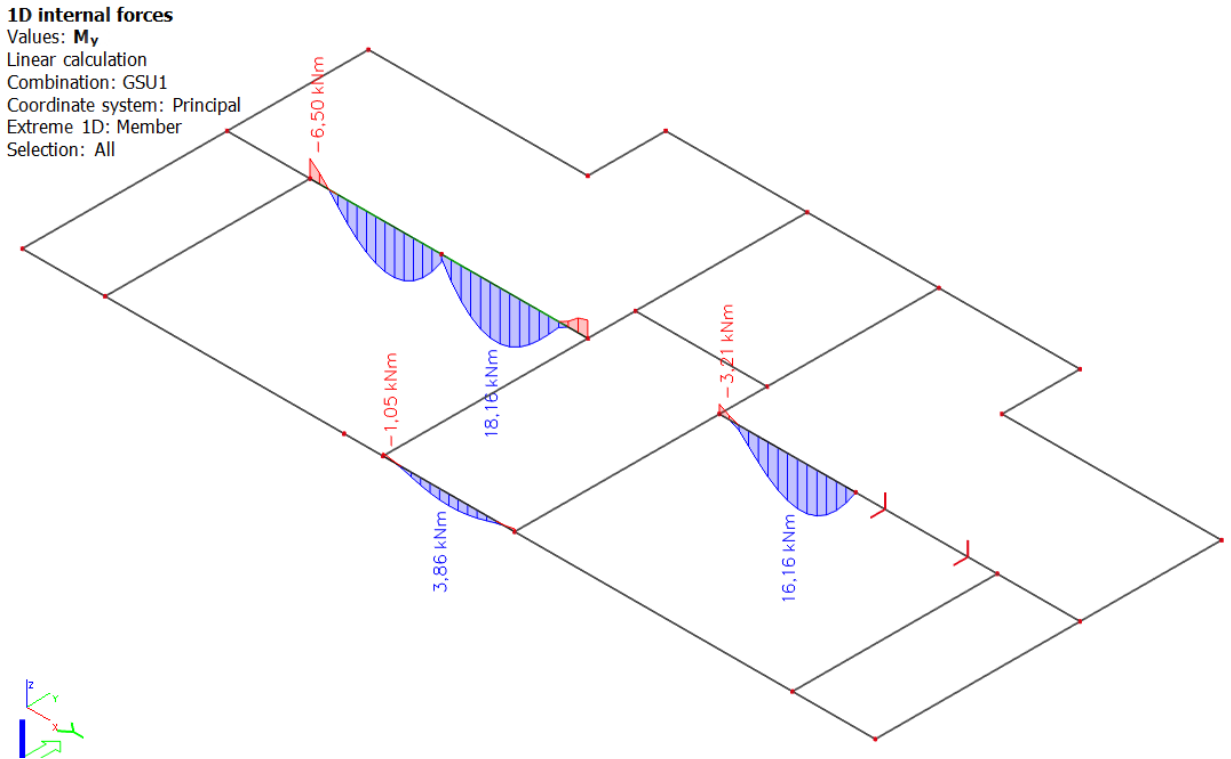
Slika 8.10 Progib grede (mm) za kombinaciju GSU-1

Najveći progib iznosa je 0,5 mm Dozvoljen progib:

$$\frac{L}{1250} = \frac{4000}{1250} = 3,2 \text{ mm}$$

Krovna greda zadovoljava na progibe.

8.2.3 Kontrola pukotina



Slika 8.11 Moment savijanja $M_{Ed,y}$ (kNm) za GSU-1

Mjerodavni moment $M=18,16$ kNm

Prognoza širine pukotine:

$$w_k = s_{r,max} \cdot (\varepsilon_{sm} - \varepsilon_{cm})$$

Vrijednost $\varepsilon_{sm} - \varepsilon_{cm}$ određuje se prema izrazu:

$$\varepsilon_{sm} - \varepsilon_{cm} = \frac{\sigma_s - k_t \frac{f_{ct,eff}}{\rho_{p,eff}} (1 + \alpha_e \cdot \rho_{p,eff})}{E_s} \geq 0,6 \cdot \frac{\sigma_s}{E_s}$$

$$\sigma_s = \frac{M_{Ed}}{z \cdot A_s} \approx \frac{M_{Ed}}{\left(d - \frac{x}{3}\right) \cdot A_s} = \frac{1816}{\left(47 - \frac{8,65}{3}\right) \cdot 2,26} = 18,21 \frac{kN}{cm^2} = 182,1 MPa$$

$$x = \frac{\alpha_{el} \cdot A_{s1}}{b} \cdot \left(-1 + \sqrt{1 + \frac{2 \cdot b \cdot d}{\alpha_{el} \cdot A_{s1}}} \right) = \frac{7,0 \cdot 2,26}{20} \cdot \left(-1 + \sqrt{1 + \frac{2 \cdot 20 \cdot 47}{7,0 \cdot 2,26}} \right) = 8,65 cm$$

Za C 25/30 $\Rightarrow f_{ct,eff} = 2,6 \text{ MPa}$

$$A_{s1} = 2\Phi 12 = 2,26 \text{ cm}^2$$

$E_{cm} = 30,0 \text{ GPa} = 30000 \text{ MPa}$ – modul elastičnosti betona

$E_s = 210,0 \text{ GPa} = 210000 \text{ MPa}$ – modul elastičnosti armature

$k_t = 0,4$ – dugotrajno opterećenje

$$\alpha_e = \frac{E_s}{E_{cm}} = \frac{210}{30} = 7,0 \text{ – odnos modula elastičnosti}$$

Djelotvorni koeficijent armiranja glavnom vlačnom armaturom:

$$\rho_{p,eff} = \frac{A_s}{A_{c,eff}} = \frac{2,26}{20(2,5 \cdot 4)} = 0,011$$

$$\varepsilon_{sm} - \varepsilon_{cm} = \frac{182,1 - 0,4 \frac{2,6}{0,011} (1 + 7,0 \cdot 0,011)}{210000} \geq 0,6 \cdot \frac{182,1}{210000}$$

$$0,000382 \geq 0,000520$$

$$\varepsilon_{sm} - \varepsilon_{cm} = 0,000520$$

Srednji razmak pukotina:

$$s_{r,max} = k_3 \cdot c + k_1 \cdot k_2 \cdot k_4 \cdot \frac{\Phi}{\rho_{p,eff}}$$

$\Phi = 12,0 \text{ mm}$

$C=25 \text{ mm}$ – Zaštitni sloj uzdužne armature

$k_1 = 0,8$ – Rebrasta armatura

$k_2 = 0,5$ – Savijanje

$k_3 = 3,4$

$k_4 = 0,425$

$$s_{r,max} = 3,4 \cdot 25 + 0,8 \cdot 0,5 \cdot 0,425 \cdot \frac{12,0}{0,011} = 270,45$$

Karakteristična širina pukotine:

$$w_k = s_{r,max} \cdot (\varepsilon_{sm} - \varepsilon_{cm}) = 270,45 \cdot 0,000520 = 0,141 \text{ mm} < w_g = 0,3 \text{ mm}$$

- Pukotine zadovoljavaju!

9. PRORAČUN STUPOVA

Za stupove koji ne preuzimaju sile potresa:

- Minimalne dimenzije presjeka stupova $b_{min}=20$ cm.
- Horizontalni razmak vertikalne armature stupova ≤ 40 cm.
- Min. i max. % armature za stupove: $A_{s,min}=0.003 \cdot b \cdot h$; $A_{s,max}=0.040 \cdot b \cdot h$
- $A_{s,min}=4\phi 12$

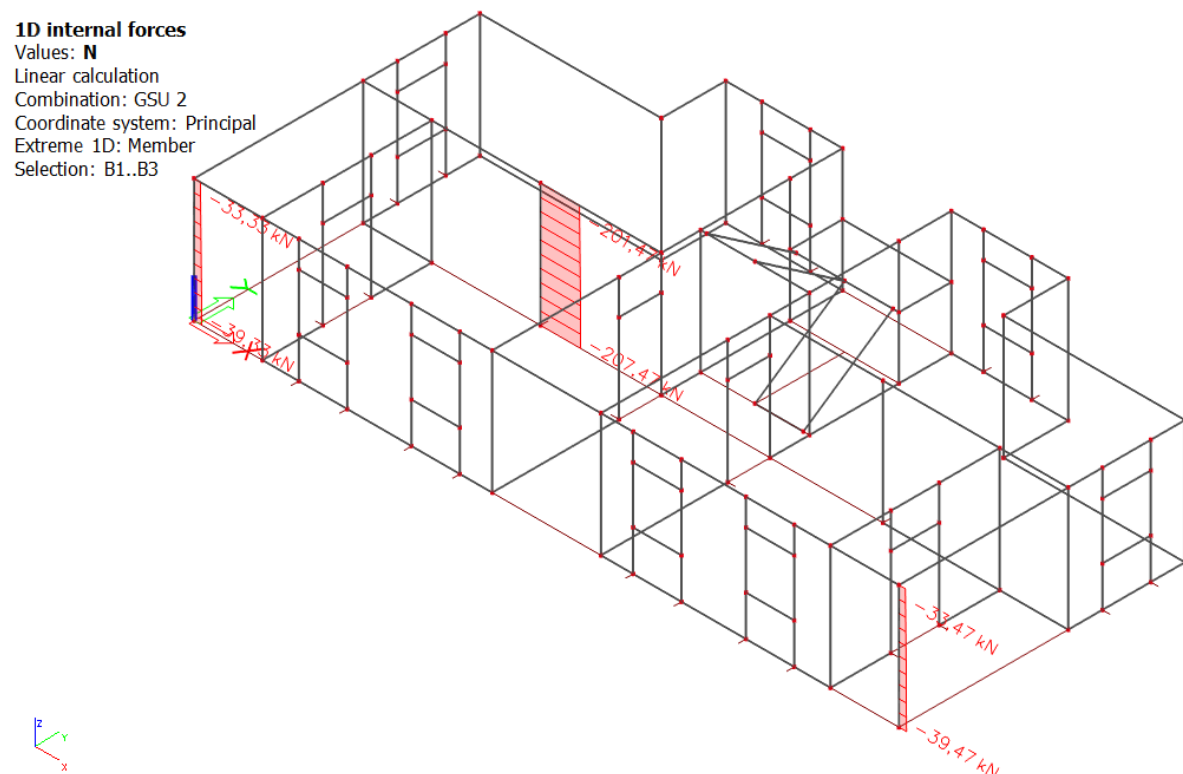
Ograničenja naprezanja u betonu Ograničenje srednjeg tlačnog naprezanja:

$$\sigma_c \leq 0.45 f_{ck} \text{ za nazovistalnu kombinaciju}$$

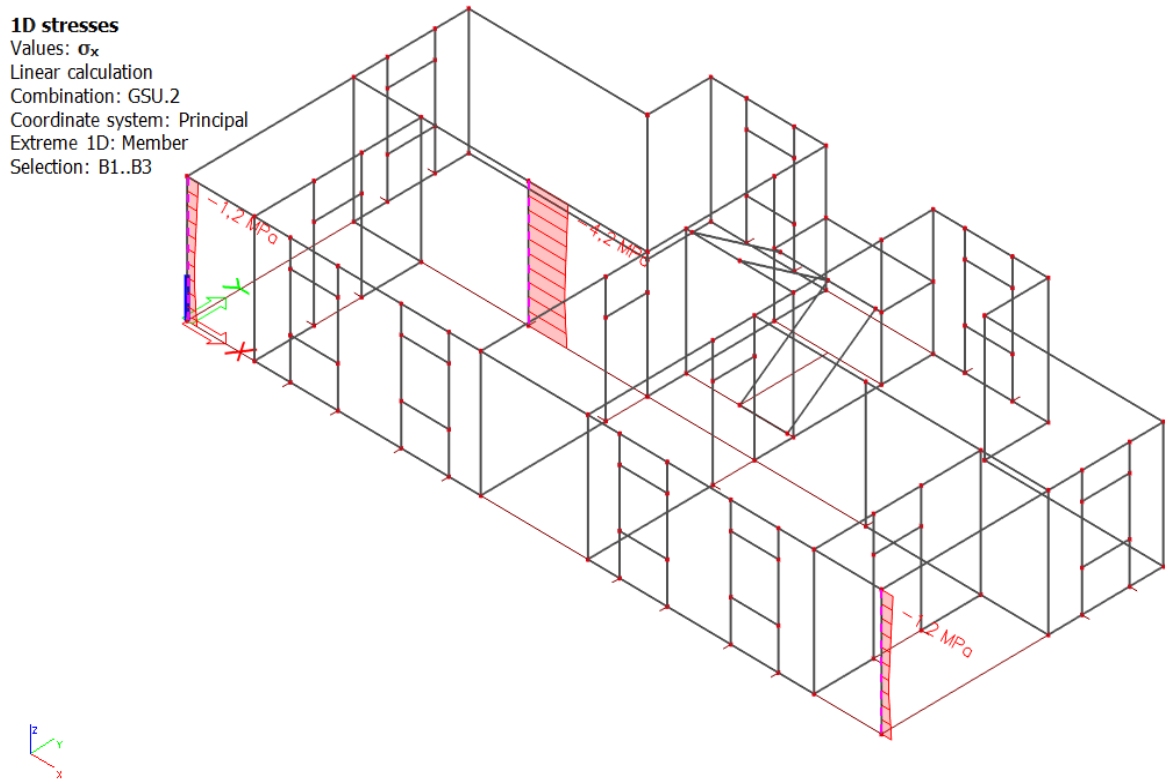
$$GSU2=1.0G + \Psi_2Q=1.0G + 0.3Q$$

za C25/30,

$$\sigma_c \leq 0.45 \cdot 25 = 11.25 \text{ MPa}$$



Slika 9.1 Uzdužne sile u stupovima N_{Ed} (kN) za GSU-2



Slika 9.2 Srednje tlačno naprezanje u stupovima $\sigma_{c,Ed}$ (MPa) za GSU-2

Beton: C25/30; $f_{ck}=25 \text{ MPa}$

Kontrolira se srednje tlačno naprezanje u stupu za nazovistalnu kombinaciju:

$$\text{GSU-2} = 1.0G + \Psi_{2i} * Q_i = 1.0G + 0.3Q1$$

$$\sigma_{c,ed} \leq 0.45 f_{ck}$$

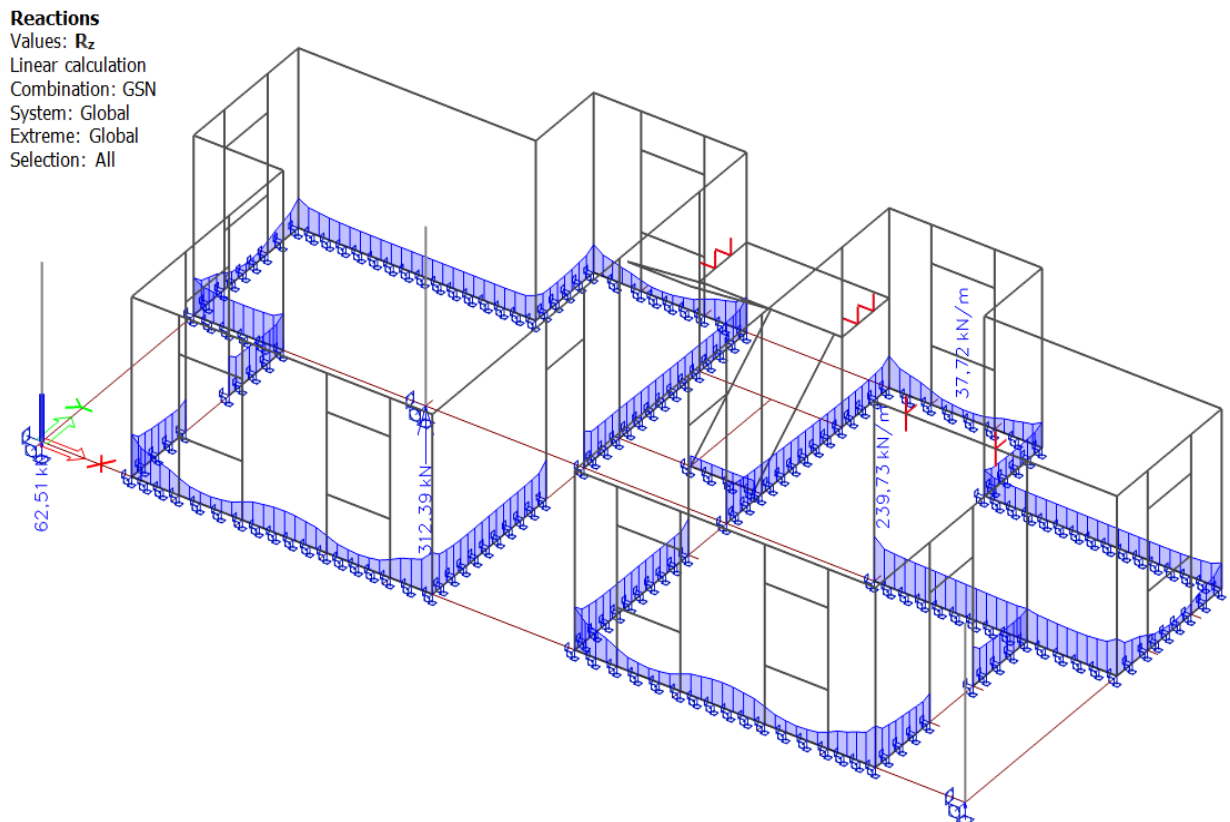
za C 25/30;

$$0.45 f_{ck} = 0.45 * 25 = 11.25 \text{ MPa}$$

U niti jednom stupu nije prekoračeno srednje tlačno naprezanje.

10. PRORAČUN TEMELJA

Slijede rezultati iz globalnog modela, veza zidova sa podlogom je u numeričkom modelu modelirana kao upeta. Prikazane su linijske reakcije na mjestima oslanjanja zidova na temeljne trake. Najmanje dimenzije poprečnog presjeka betonskih temeljnih greda: $h_{w,\min} = 0.5 \text{ m}$. Najmanji omjer armiranja betonskih temeljnih greda: $\rho_{b,\min} = 0.004$.



Slika 10.1 Linijske reakcije na mjestima oslanjanja zidova na temeljne trake [kN/m] za kombinaciju GSN-I

Odarvana je maksimalna uprosječena linijska reakcija u iznosu od 220 kN/m. Vrijednost dopuštenog kontaktnog naprezanja je 400 kN/m².

Širina temeljne trake određena je na sljedeći način:

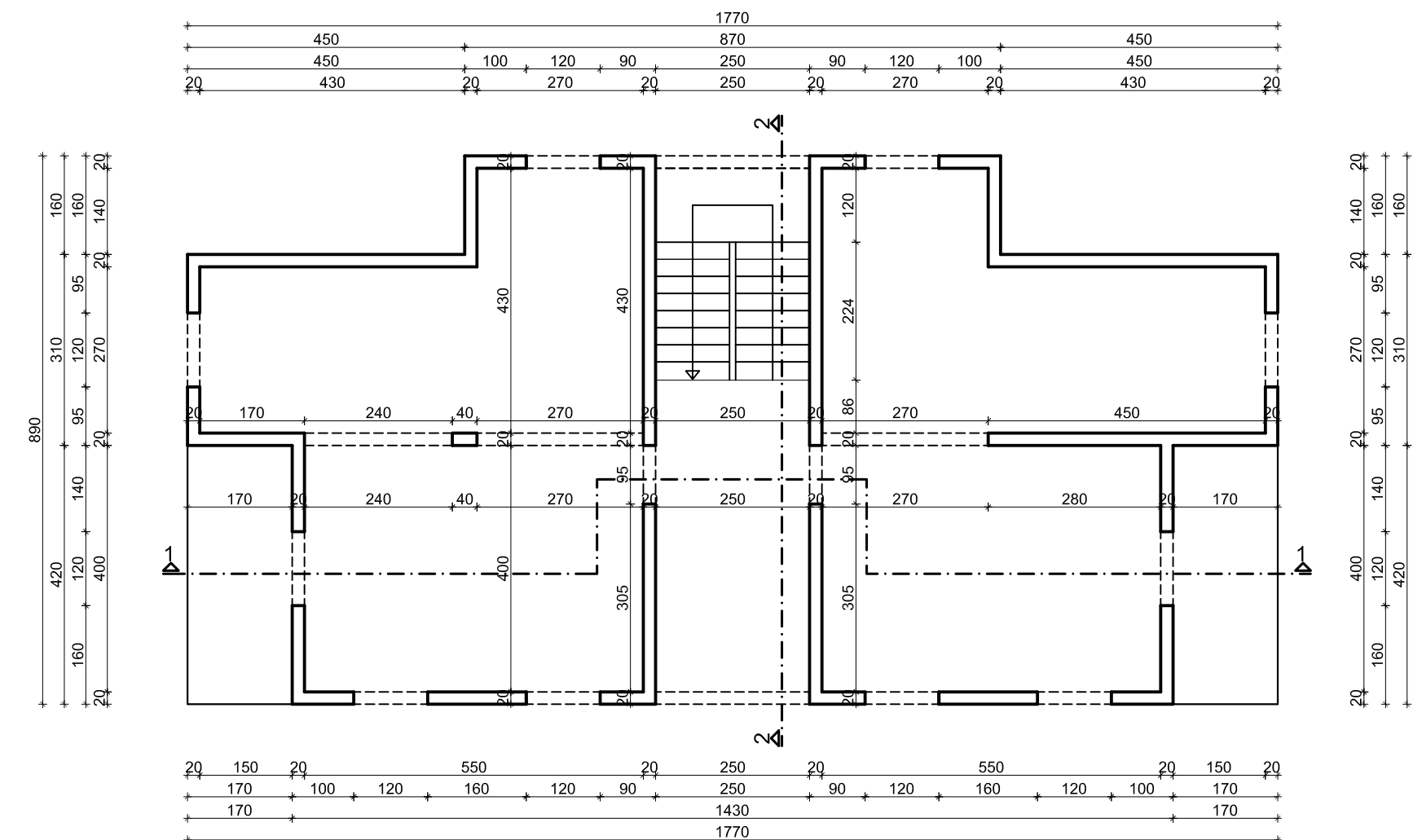
$$b \geq \frac{220}{400} = 0.55$$

Usvoje na širina temeljne trake je 0.6 m; b/h=60/50 cm.

11. GRAFIČKI PRILOZI

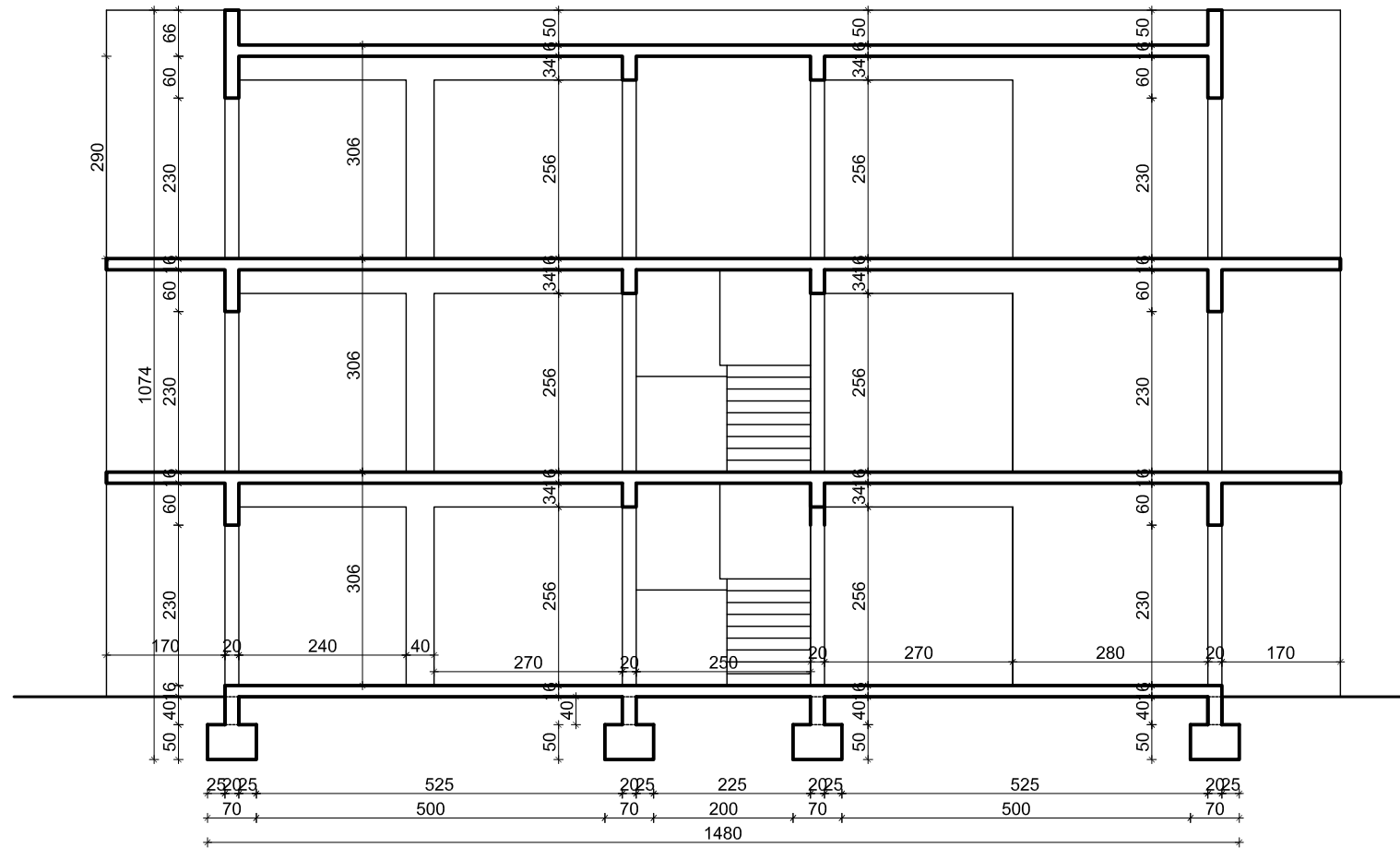
- Tlocrt karakteristične etaže	M 1:100
- Presjek 1-1	M 1:100
- Presjek 2-2	M 1:100
- Armatura međukatne ploče-donja zona	M 1:100
- Armatura međukatne ploče-gornja zona	M 1:100
- Armatura krovne ploče-donja zona	M 1:100
- Armatura krovne ploče-gornja zona	M 1:100
- Armatura grede i stupa	M 1:100

TLOCRT KARAKTERISTIČNE ETAŽE M 1:100



	SVEUČILIŠTE U SPLITU FAKULTET GRAĐEVINARSTVA, ARHITEKTURE I GEOFIZIKE
Završni rad	
TEMA	STATIČKI PRORAČUN STAMBENE ZGRADE
STUDENT	Matija Puljiz
SADRŽAJ	Tlocrt karakteristične etaže
DATUM	2018
MJERILO	1:100
LIST	1

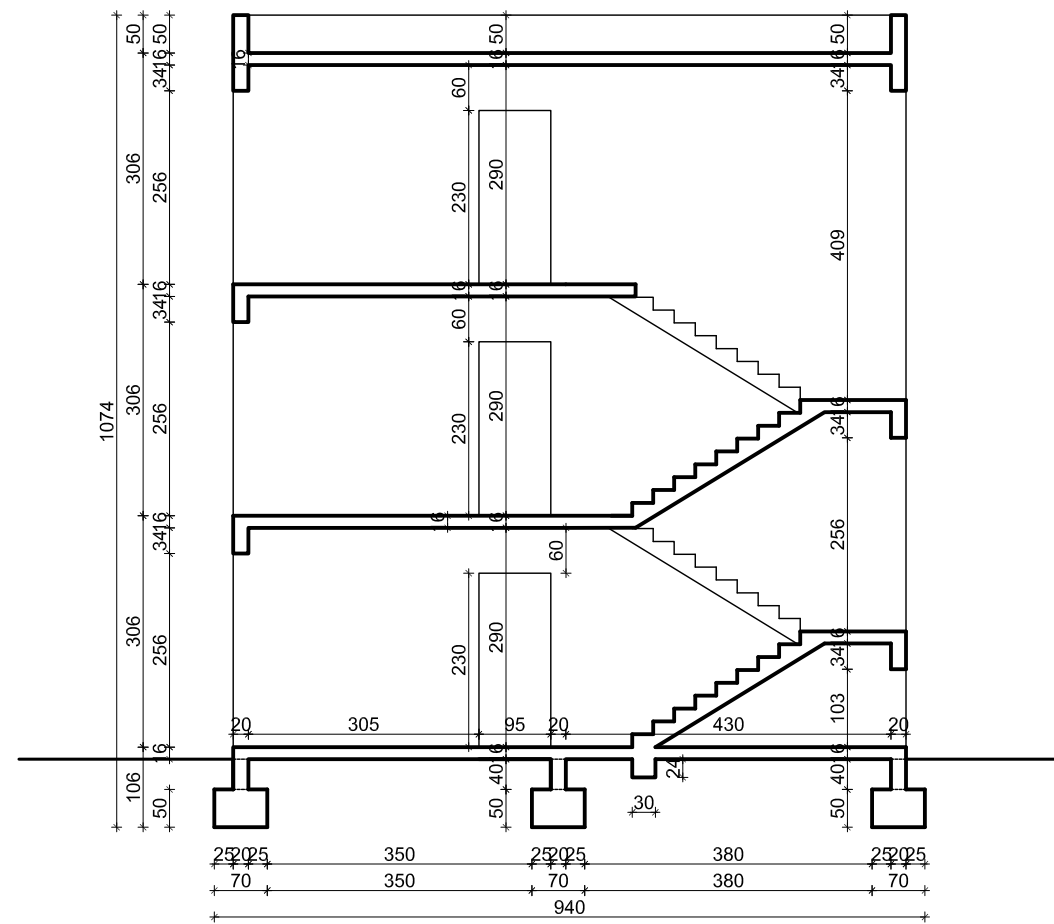
PRESJEK 1-1 M 1:100



**SVEUČILIŠTE U SPLITU
FAKULTET GRAĐEVINARSTVA,
ARHITEKTURE I GEODEZIJE**

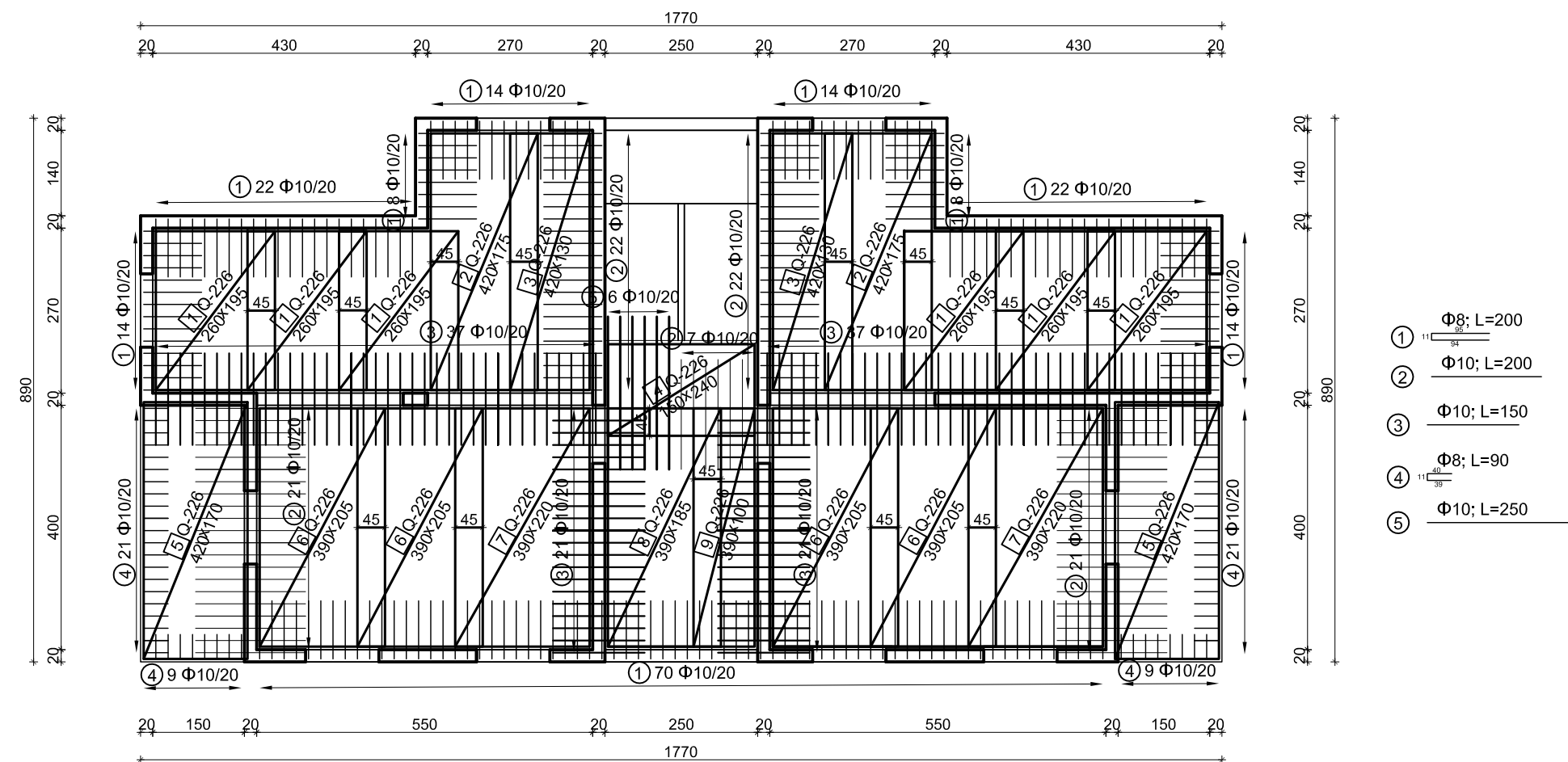
Završni rad	
TEMA	STATIČKI PRORAČUN STAMBENE ZGRADE
STUDENT	Matija Puljiz
SADRŽAJ	Presjek 1-1
DATUM	2018
MJERILO	1:100
LIST	2

PRESJEK 2-2 M 1:100



	SVEUČILIŠTE U SPLITU FAKULTET GRAĐEVINARSTVA, ARHITEKTURE I GEODEZIJE
Završni rad	
TEMA	STATIČKI PRORAČUN STAMBENE ZGRADE
STUDENT	Matija Puljiz
SADRŽAJ	Presjek 2-2
DATUM	2018
MJERILO	1:100
LIST	3

ARMATURA MEĐUKATNE PLOČE -
DONJA ZONA M 1:100

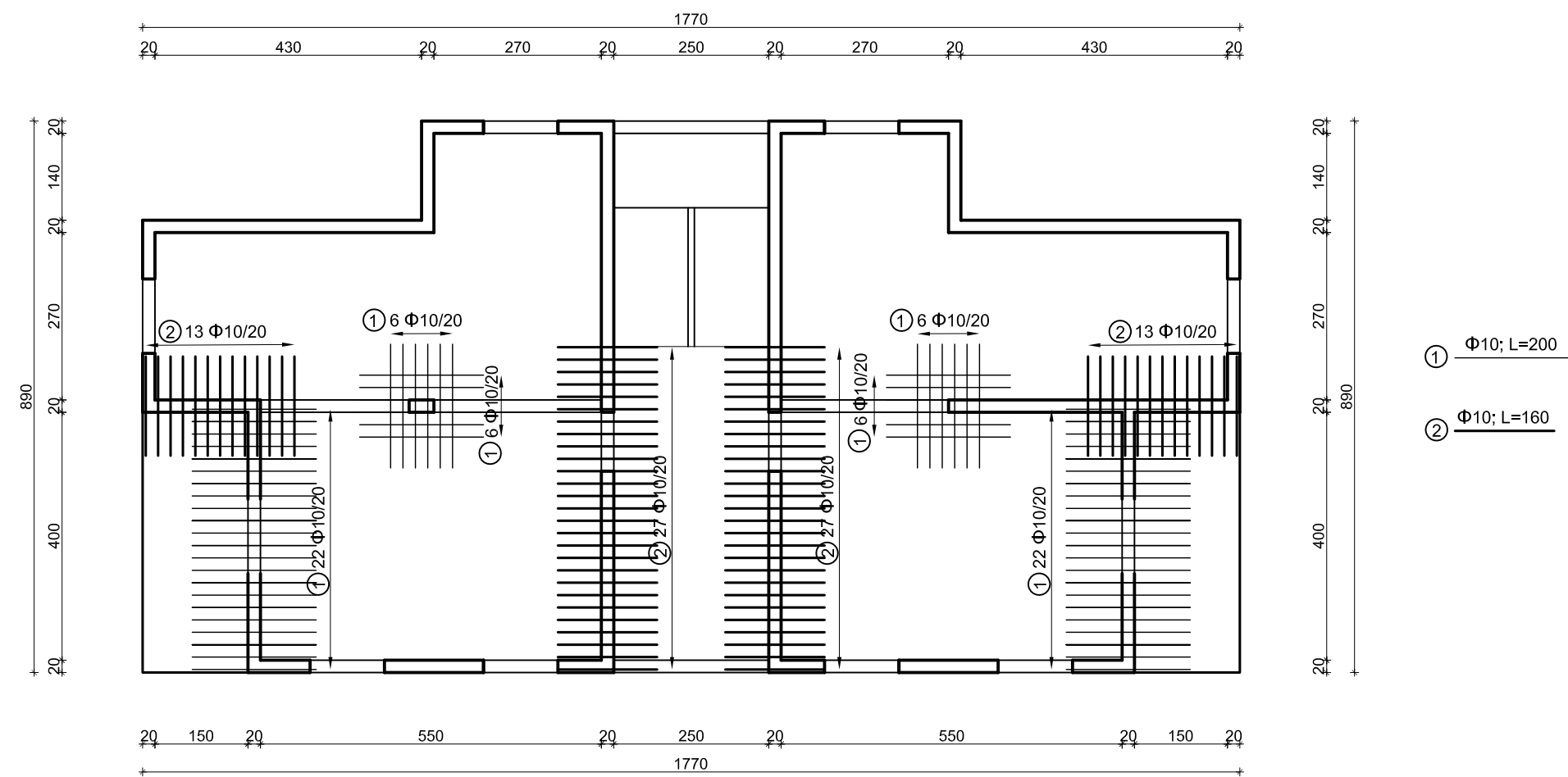


SVEUČILIŠTE U SPLITU
FAKULTET GRAĐEVINARSTVA,
ARHITEKTURE I GEODEZIJE

Završni rad

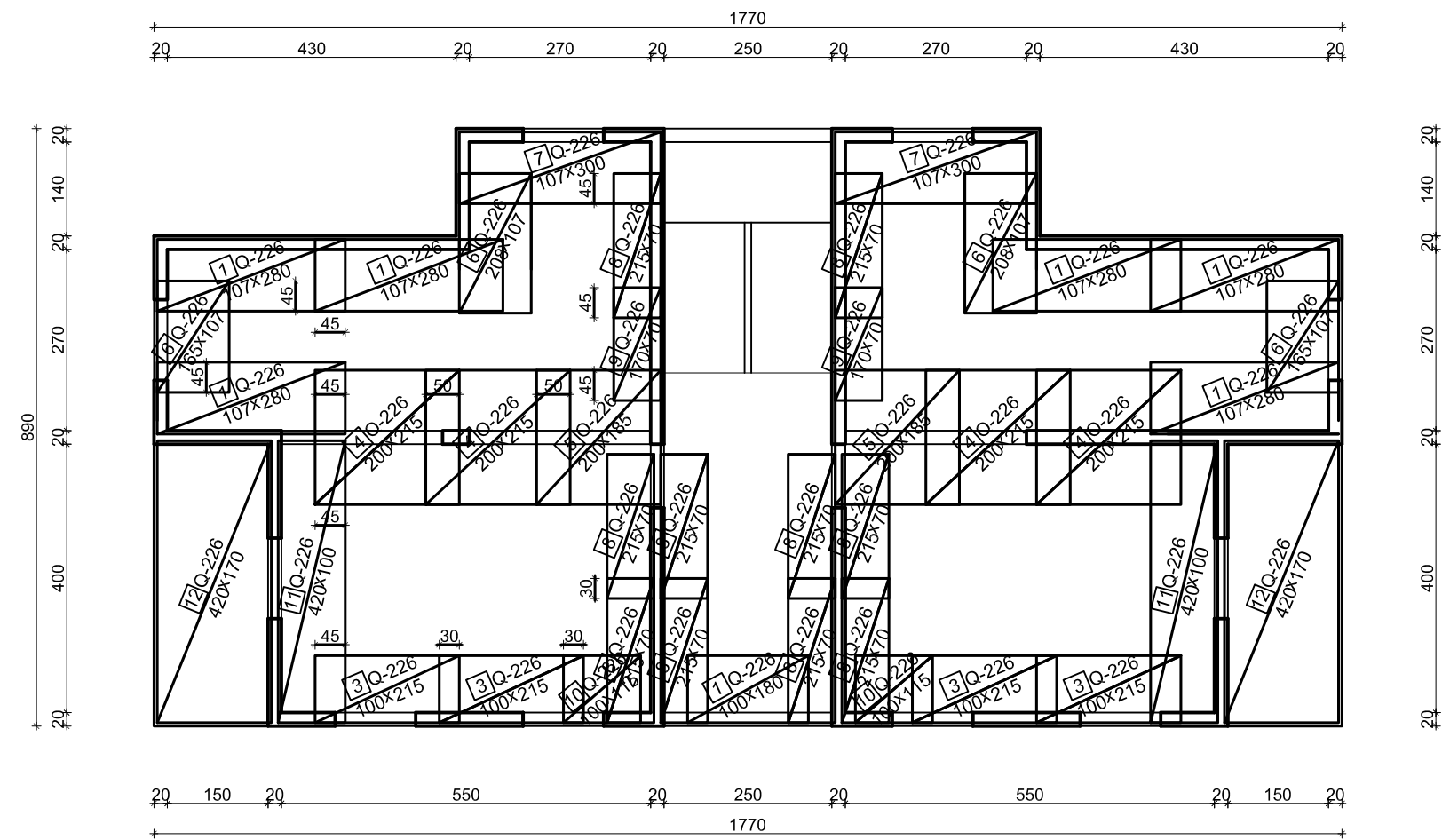
TEMA	STATIČKI PRORAČUN STAMBENE ZGRADE	
STUDENT	Matija Puljiz	
SADRŽAJ	Armatura međukatne ploče - donja zona (šipke)	MJERILO 1:100
DATUM	2018	LIST 4

ARMATURA MEĐUKATNE PLOČE -
GORNJA ZONA (ŠIPKE) M 1:100



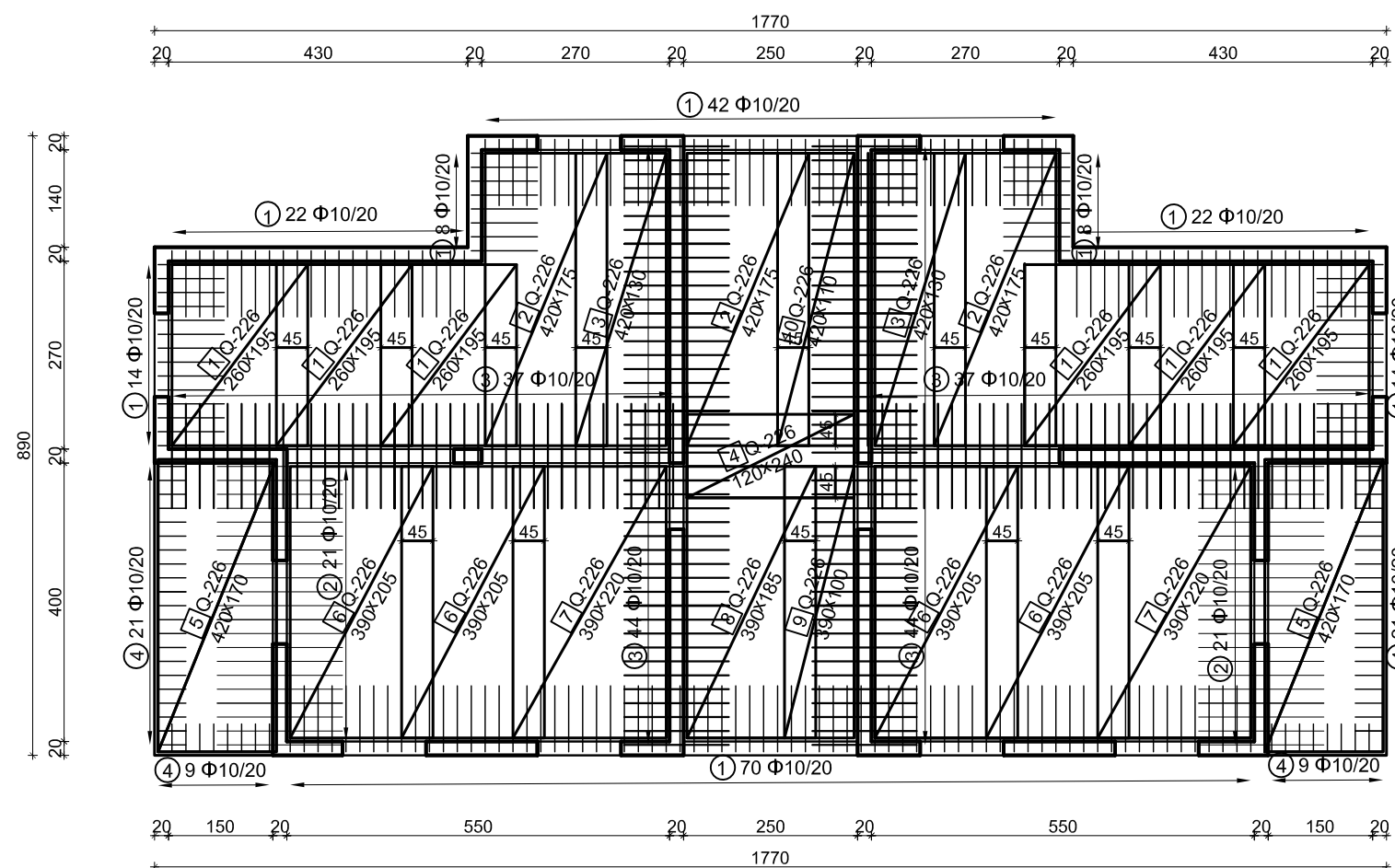
	SVEUČILIŠTE U SPLITU FAKULTET GRAĐEVINARSTVA, ARHITEKTURE I GEODEZIJE
Završni rad	
TEMA	STATIČKI PRORAČUN STAMBENE ZGRADE
STUDENT	Matija Puljiz
SADRŽAJ	Armatura međukatne ploče - gornja zona (šipke)
DATUM	2018
MJERILO	1:100
LIST	5

**ARMATURA MEĐUKATNE PLOČE -
GORNJA ZONA (MREŽE) M 1:100**



SVEUČILIŠTE U SPLITU FAKULTET GRAĐEVINARSTVA, ARHITEKTURE I GEODEZIJE	
Završni rad	
TEMA	STATIČKI PRORAČUN STAMBENE ZGRADE
STUDENT	Matija Puljiz
SADRŽAJ	Armatura međukatne ploče - gornja zona (mreže)
DATUM	2018
MJERILO	1:100
LIST	6

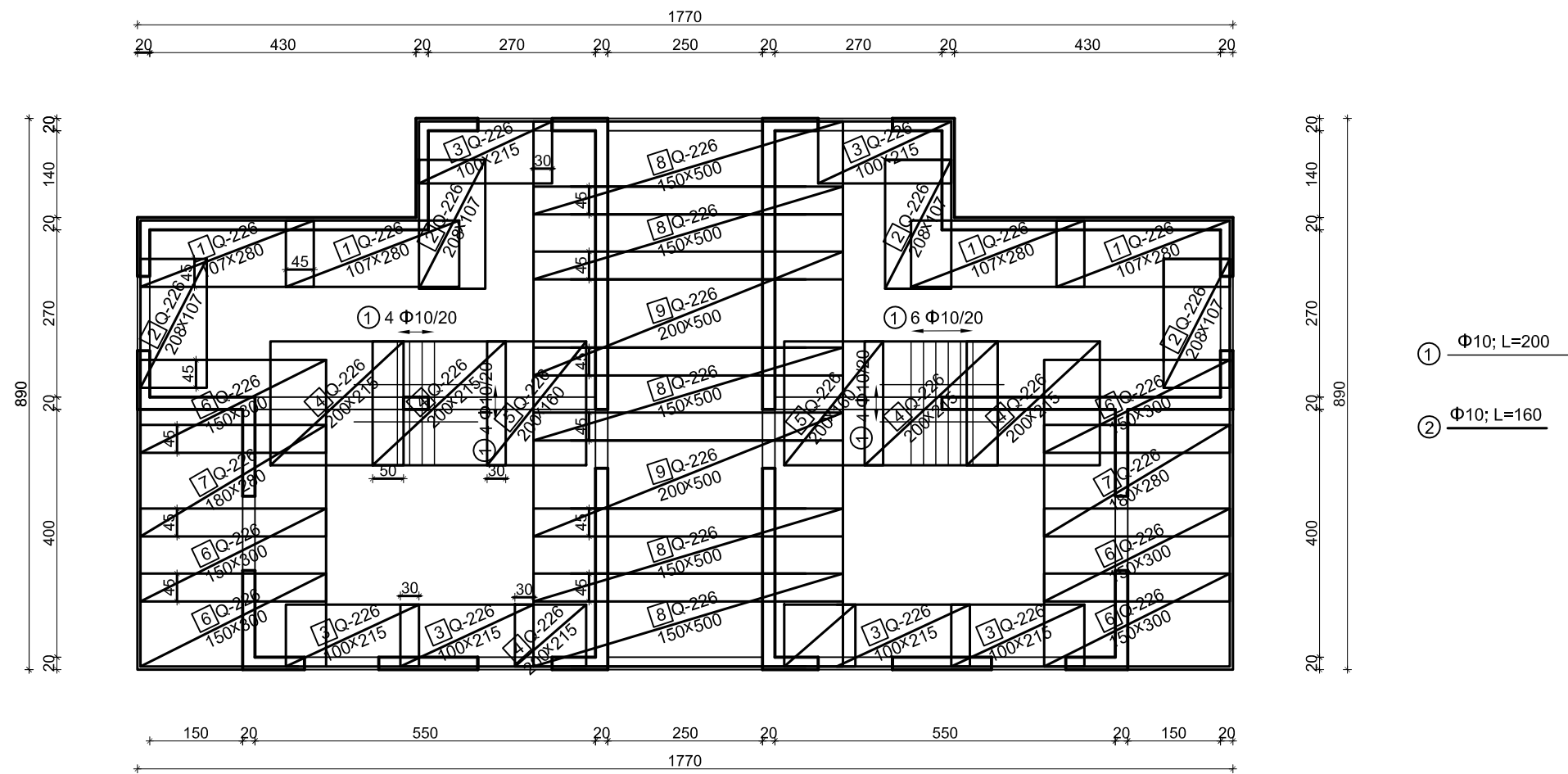
ARMATURA KROVNE PLOČE -
DONJA ZONA M 1:100



SVEUČILIŠTE U SPLITU
FAKULTET GRAĐEVINARSTVA,
ARHITEKTURE I GEODEZIJE

TEMA	STATIČKI PRORAČUN STAMBENE ZGRADE	
STUDENT	Matija Puljiz	
SADRŽAJ	Armatura krovne ploče - donja zona	MJERILO 1:100 LIST
DATUM	2018	7

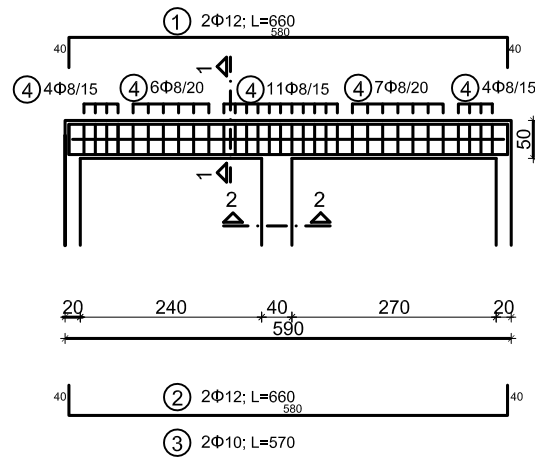
ARMATURA KROVNE PLOČE -
GORNJA ZONA M 1:100



SVEUČILIŠTE U SPLITU
FAKULTET GRAĐEVINARSTVA,
ARHITEKTURE I GEODEZIJE

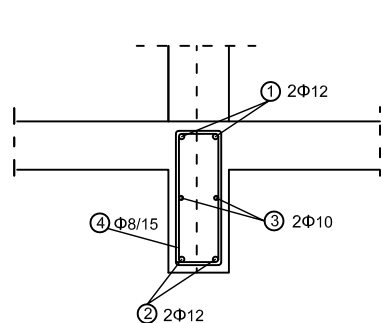
Završni rad	
TEMA	STATIČKI PRORAČUN STAMBENE ZGRADE
STUDENT	Matija Puljiz
SADRŽAJ	Armatura krovne ploče - gornja zona
MJERILO	1:100
DATUM	2018
LIST	8

ARMATURA GREDE I STUPA M 1:100

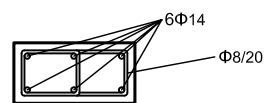


MJ: 1:25

PRESJEK 1-1



PRESJEK 2-2



		SVEUČILIŠTE U SPLITU FAKULTET GRAĐEVINARSTVA, ARHITEKTURE I GEODEZIJE			
Završni rad					
TEMA	STATIČKI PRORAČUN STAMBENE ZGRADE				
STUDENT	Matija Puljiz				
SADRŽAJ	Armatura grede i stupa	MJERILO	1:100		
DATUM	2018	LIST	9		

12. LITERATURA

Ante Mihanović, Boris Trogrlić, **Građevna statika I**, Sveučilište u Splitu, Fakultet građevinarstva, arhitekture i geodezije, Split 2011.

Ante Mihanović, Boris Trogrlić, Vlaho Akmadžić, **Građevna statika II**, Sveučilište u Splitu, Fakultet građevinarstva, arhitekture i geodezije, Split 2014.

Ivan Tomičić, **Betonske konstrukcije**, Društvo hrvatskih građevinskih konstruktora, Zagreb 1996.